

# HALLESCHES JAHRBUCH FÜR GEOWISSENSCHAFTEN

Apatit:



Hexagonales Prisma  
Basispinakoid



Hexagonales Prisma  
Hex. Dipyramide I. St.  
Hex. Dipyramide II. St.



Hexagonales Prisma  
Basispinakoid  
Hex. Dipyramide I. St.

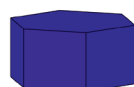


Hexagonales Prisma  
Hex. Dipyramide I. St.  
Hex. Dipyramide II. St.



Hexagonales Prisma  
Hex. Dipyramide I. St.  
Hex. Dipyramide II. St.

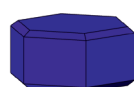
Apatite:



Hexagonal prism  
Basispinakoid



Hexagonal prism  
Hex. dipyramid I. pos.  
Hex. dipyramid II. pos.



Hexagonal prism  
Basispinakoid  
Hex. dipyramid I. pos.



Hexagonal prism  
Hex. dipyramid I. pos.  
Hex. dipyramid II. pos.



Hexagonal prism  
Hex. dipyramid I. pos.  
Hex. dipyramid II. pos.

**HERBERT PÖLLMANN & CHIMEDNOROV OTGONBAYAR**

**SYMMETRIE UND DIE 32 PUNKTGRUPPEN IN DEUTSCHER UND  
ENGLISCHER SPRACHE**

**SYMMETRY AND 32 POINTGROUPS IN GERMAN AND  
ENGLISH LANGUAGE**



**HALLE (SAALE) 2017**



# **HALLESCHES JAHRBUCH FÜR GEOWISSENSCHAFTEN**

## **Herausgeber**

**Institut für Geowissenschaften und Geographie  
der Martin - Luther Universität Halle-Wittenberg**

G. BORG M. FRÜHAUF C. FÜRST  
C. GLÄSSER H. HEINISCH  
H. PÖLLMANN P. WYCISK

## **Schriftleitung**

D. MERTMANN T. DEGEN S. STÖBER

---

## **BEIHEFT 39**

Halle (Saale) 2017  
Institut für Geowissenschaften und Geographie  
der Martin - Luther Universität Halle-Wittenberg



**Anschrift von Herausgebern und Schriftleitung:**

Martin-Luther-Universität Halle-Wittenberg  
Institut für Geowissenschaften und Geographie  
Von Seckendorff - Platz 3/4  
D-06120 Halle (Saale)

e-mail: [hjg@geo.uni-halle.de](mailto:hjg@geo.uni-halle.de)

**Schriftleitung:**

D. Mertmann T. Degen S. Stöber

---

**P-ISSN: 2193-1313, E-ISSN: 2196-3622**

© 2017 im Selbstverlag des Instituts für Geowissenschaften und Geographie  
der Martin-Luther-Universität Halle-Wittenberg  
Alle Rechte vorbehalten



## Vorwort

Im vorliegenden zusammenfassenden Buch wird versucht, die Grundlagen der Kristallographie und insbesondere der Symmetrielehre in deutscher und englischer Sprache darzustellen. Die Zusammenfassung der Symmetrielehre basierend auf den 32 Punktgruppen wird erweitert durch Anwendungsbeispiele der makroskopischen Form von wichtigen Mineralen sowie Hinweisen zu den Raumgruppen.

Die Zusammenarbeit zwischen deutschen und brasilianischen Wissenschaftlern über lange Jahre basiert hierbei nicht nur auf der Kooperation in wissenschaftlichen Projekten sondern wurde darüber hinaus auch durch einen regen Wissenschaftler- und Studentenaustausch weiter intensiviert. Die Unterstützung des Deutschen Akademischen Austauschdienstes (DAAD) auf deutscher Seite, bzw. Capes/Cnpq auf brasilianischer Seite soll an dieser Stelle besonders hervorgehoben werden.

Die Idee, Sprachbarrieren durch gemeinsame Grundlagenpublikationen abzubauen, ergab sich aus den Schwierigkeiten von Austauschstudenten, Vorlesungen und Übungen in einer fremden Sprache und zudem einer fremden Fachsprache zu verstehen. Oft werden fehlende Kenntnisse der deutschen oder portugiesischen Sprache dann über Englisch ausgeglichen.

Das Buch ist vor allem dahingehend ausgerichtet, zu helfen, erste Sprachbarrieren zu überwinden und entsprechendes Grundlagenwissen anschaulich darzustellen. Durch die Komplexität des Gesamtgebietes kann hier natürlich nur ein kleiner Ausschnitt aufgezeigt werden, der trotzdem Basisdaten in beiden Sprachen darstellt und als Einführung verwendet werden kann.

Hier soll bewusst der Versuch unternommen werden, die für den Austausch zwischen Brasilien und Deutschland notwendigen Sprachen in den Vordergrund zu stellen. Es ist geplant, diese Zusammenstellung in den kommenden Jahren auszuweiten, zu vervollständigen sowie auch eine entsprechende Zusammenstellung in englischer Sprache zur Verfügung zu stellen.

Besonderer Dank gebührt Frau Prof. Dr. Dorothee Mertmann für die geduldige und hilfreiche Umsetzung des Manuskriptes in die vorliegende Endform.

***Herbert Pöllmann***

Halle, Oktober 2017

## Preface

The present book tries to give some introductory basic knowledge of crystallography, especially for the training of symmetry in German and English language. The concentration of training is mostly due to the 32 point groups and adjacent knowledge on application examples of macroscopic forms of important minerals including some hints on space groups.

The collaboration between German and other international groups of scientist makes it necessary to have some tools available to discuss relevant crystallographic details in different languages. This is also based on exchange of students and scientists in different fields. The first booklet in this field was published in German and Portuguese language.

The idea to overcome basic barriers due to language knowledge should be overcome by using different translations in different languages.

Therefore especially an English translation of this basic book is highly necessary.

The book focuses mainly on helping to overcome barriers in different languages and show the basic knowledge in crystallography clearly.

The complexity of this documentation makes it necessary to show only a small part, but containing despite all details in 2 languages. It can be used as an introductory work.

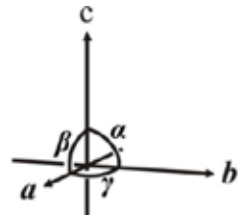
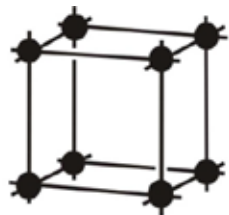
The trial, to consciously include different languages for this topic should help to minimize language barriers and to focus on the scientific work. This bilingual book will be offered also in other languages now or in the future. Also some extensions to other important topics are planned for the future.

Special thanks are due to Prof. Dr. Dorothee Mertmann for her patience and helpful transformation of the manuscript into the present form of the book.

***Herbert Pöllmann***

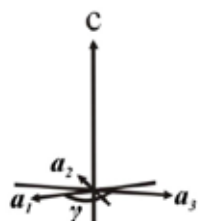
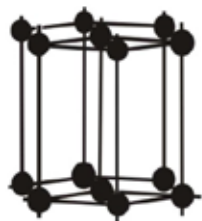
Halle, Oktober 2017

## Die 7 Kristallsysteme



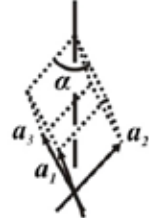
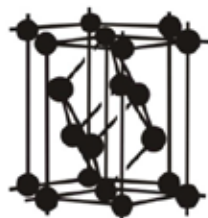
**Kubisch:**

$$a_o = b_o = c_o \\ \alpha = \beta = \gamma = 90^\circ$$



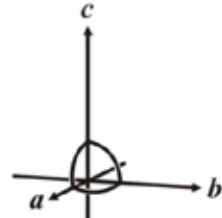
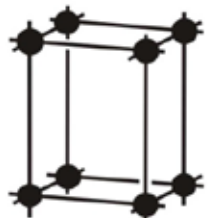
**Hexagonal:**

$$a_1 = a_2 = a_3 \neq c_o \\ \alpha = \beta = 90^\circ; \gamma = 120^\circ$$



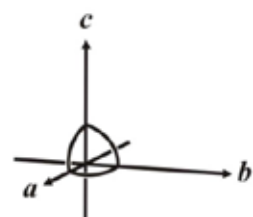
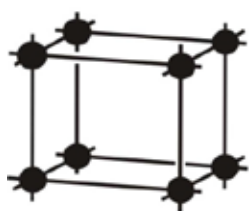
**Rhomboedrisch:**

$$a_1 = a_2 = a_3 \\ \alpha_1 = \alpha_2 = \alpha_3 \neq 90^\circ$$



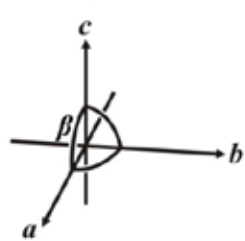
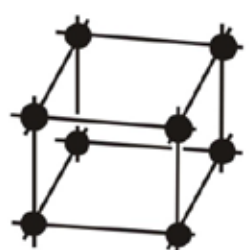
**Tetragonal:**

$$a_o = b_o \neq c_o \\ \alpha = \beta = \gamma = 90^\circ$$



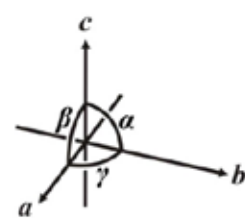
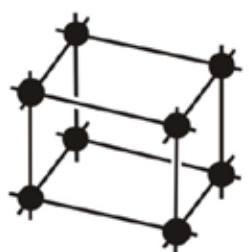
**Orthorhombisch:**

$$a_o \neq b_o \neq c_o \\ \alpha = \beta = \gamma = 90^\circ$$



**Monoklin:**

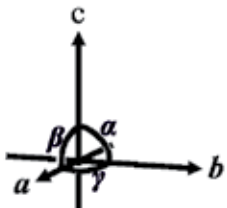
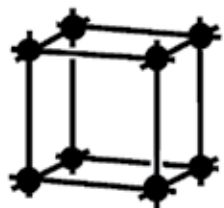
$$a_o \neq b_o \neq c_o \\ \alpha = \gamma = 90^\circ; \beta \neq 90^\circ$$



**Triklin:**

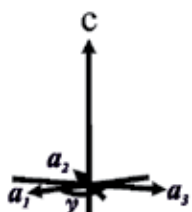
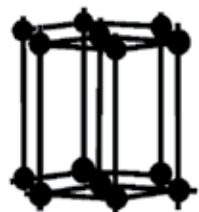
$$a_o \neq b_o \neq c_o \\ \alpha \neq \beta \neq \gamma \neq 90^\circ$$

## The 7 crystal systems



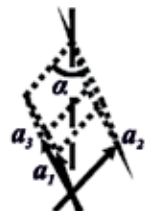
*Cubic:*

$$a_s = b_s = c_s \\ \alpha = \beta = \gamma = 90^\circ$$



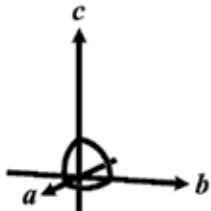
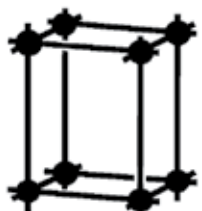
*Hexagonal:*

$$a_1 = a_2 = a_3 \neq c_s \\ \alpha = \beta = 90^\circ; \gamma = 120^\circ$$



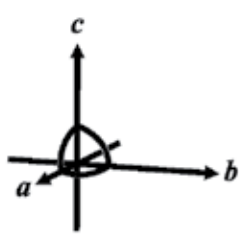
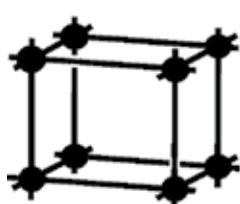
*Rhombohedral:*

$$a_1 = a_2 = a_3 \\ a_1 = \alpha_2 = \alpha_3 \neq 90^\circ$$



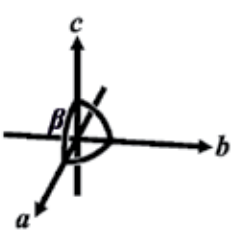
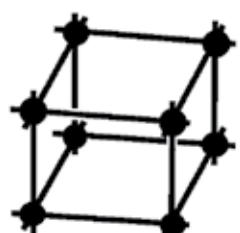
*Tetragonal:*

$$a_s = b_s \neq c_s \\ \alpha = \beta = \gamma = 90^\circ$$



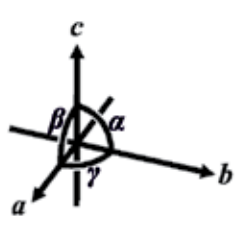
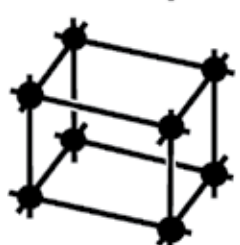
*Orthorhombic:*

$$a_s \neq b_s \neq c_s \\ \alpha = \beta = \gamma = 90^\circ$$



*Monoclinic:*

$$a_s \neq b_s \neq c_s \\ \alpha = \gamma = 90^\circ; \beta \neq 90^\circ$$



*Triclinic:*

$$a_s \neq b_s \neq c_s \\ \alpha \neq \beta \neq \gamma \neq 90^\circ$$

## Häufigkeit von Mineralen

5091 Minerale sind derzeit bekannt ([www.mindat.org](http://www.mindat.org), August 2017). Nach einer alten Aufstellung sind:

Kubisch	5 Crystal classes	346	9,9%
Hexagonal	7 Crystal classes	326	9,3%
Trigonal-Rhomboedrisch	5 Crystal classes	295	8,4%
Tetragonal	7 Crystal classes	278	7,9%
Orthorhombisch	3 Crystal classes	774	22%
Monoklin	3 Crystal classes	1129	32,2%
Triklin	2 Crystal classes	332	9,5%
Amorph		30	0,8%

aus „Minerale: Bestimmen nach äußereren Kennzeichen / HOCHLEITNER; PHILIPSBERN;WEINER“

## Wirkung der verschiedenen Drehachsen

Name	Symbol	Wirkung
Inversion	* / i	Inversion am Zentrum
Zweizählige Drehachse	• / 2	Drehungen um 180°
Spiegelebene / inverse zweizählige D.	m = $\bar{2}$	Spiegelung an einer Ebene
Dreizählige Drehachse	▲ / 3	Drehungen um 120°
Inverse dreizählige D.	▲ / $\bar{3}$	Drehungen um 120° und Inversion
Vierzählige Drehachse	◆ / 4	Drehungen um 90°
Inverse vierzählige D.	◆ / $\bar{4}$	Drehungen um 90° und Inversion
Sechszählige Drehachse	● / 6	Drehungen um 60°
Inverse sechszählige D.	● / $\bar{6}$	Drehungen um 60° und Inversion

## Occurrence frequency of minerals

5091 minerals are known to date (www.mindat.org, august 2017).

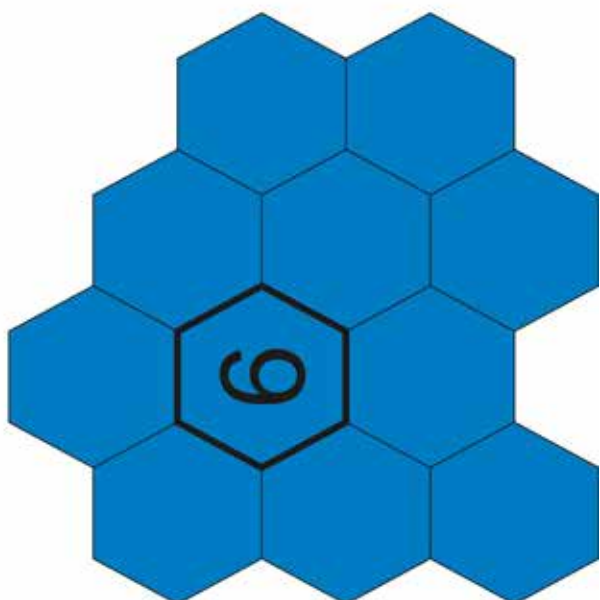
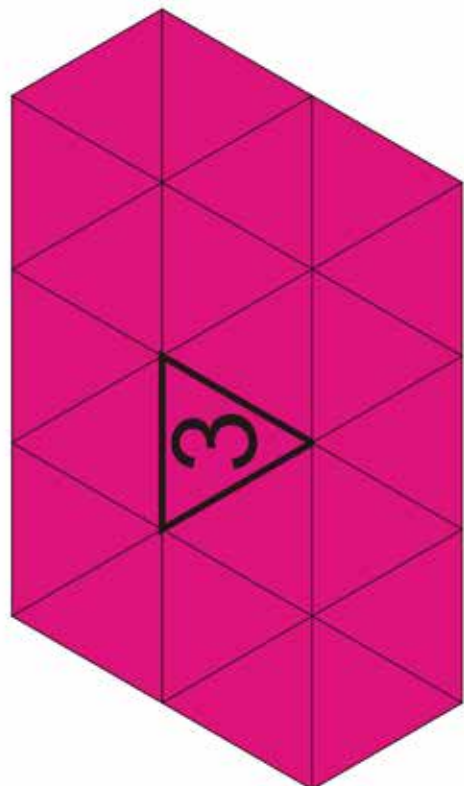
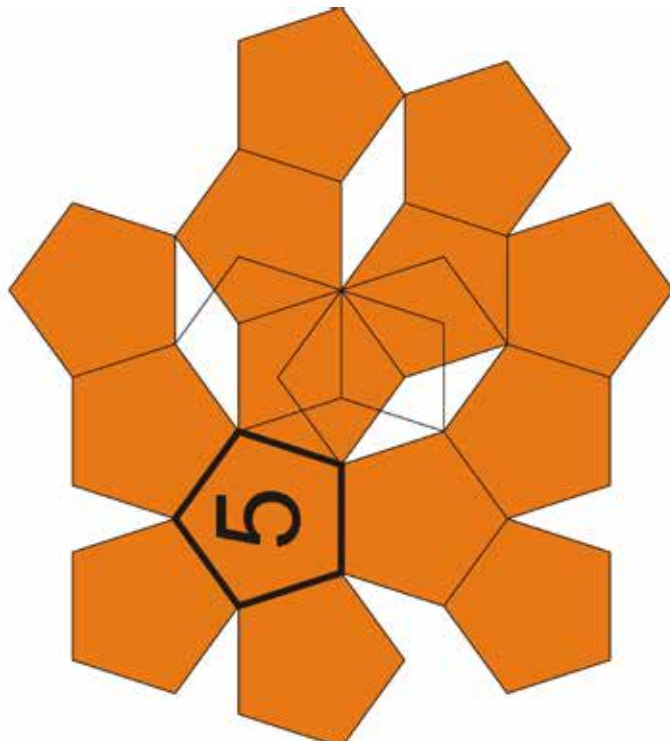
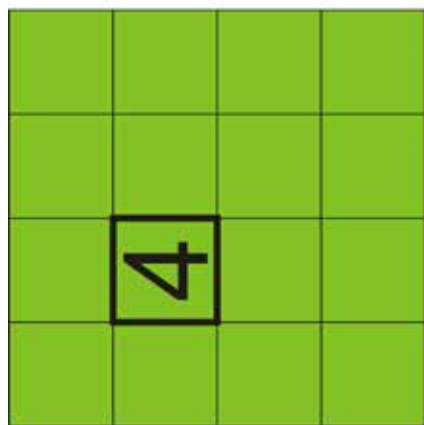
Following crystal systems are based on older data sets:

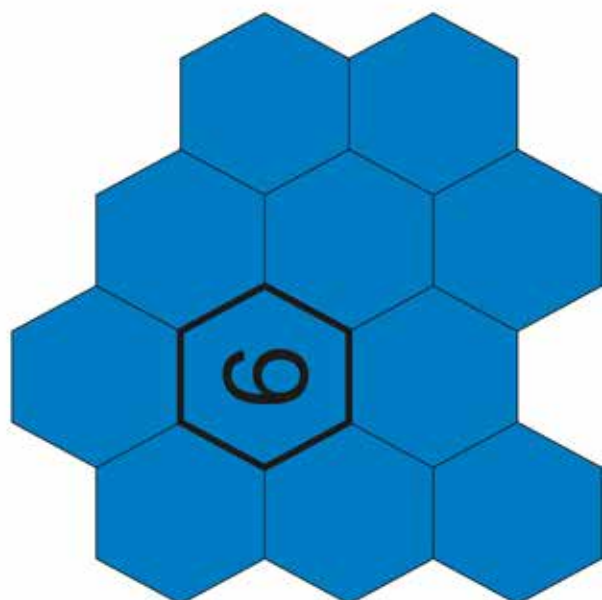
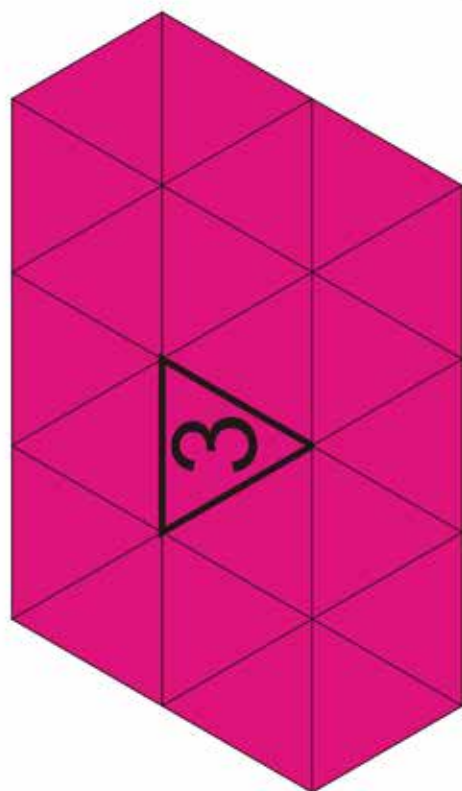
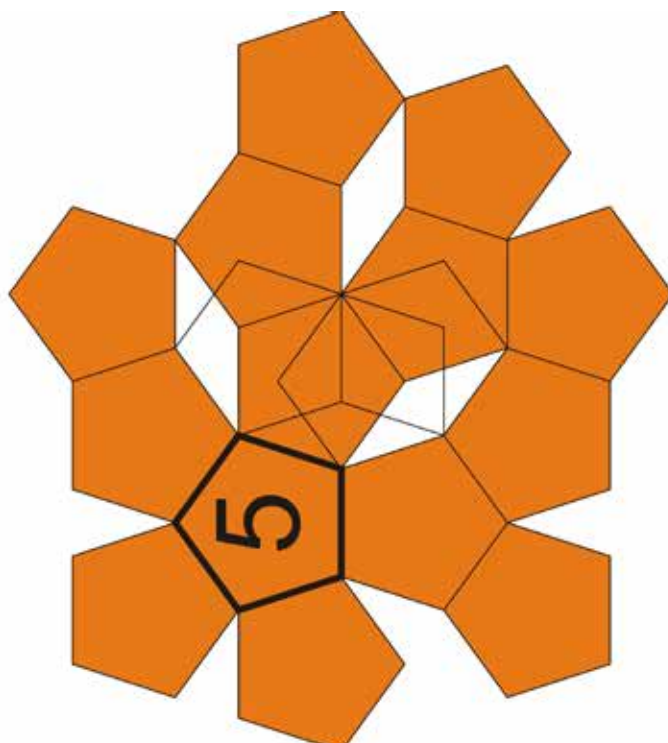
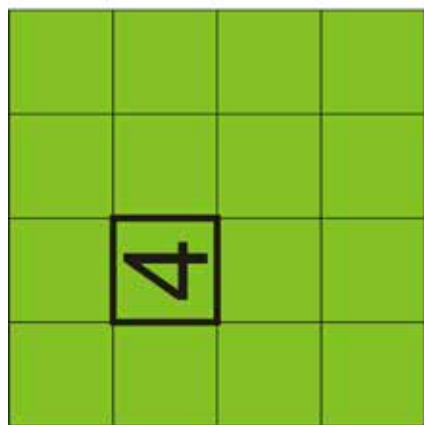
Cubic	5 Crystal classes	346	9,9%
Hexagonal	7 Crystal classes	326	9,3%
trigonal - rhombohedral	5 Crystal classes	295	8,4%
tetragonal	7 Crystal classes	278	7,9%
orthorhombic	3 Crystal classes	774	22%
monoclinic	3 Crystal classes	1129	32,2%
triclinic	2 Crystal classes	332	9,5%
amorphous		30	0,8%

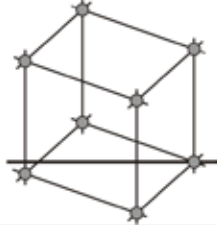
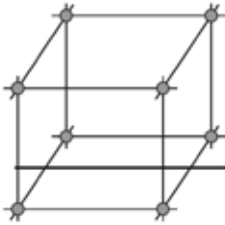
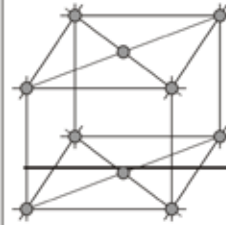
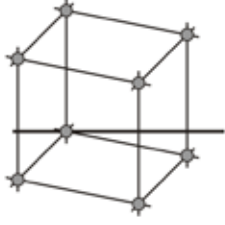
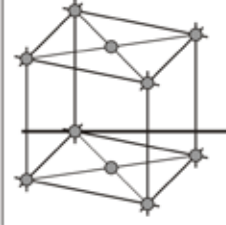
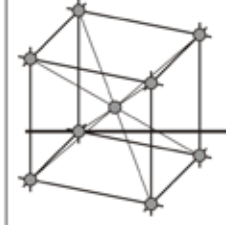
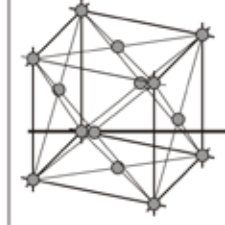
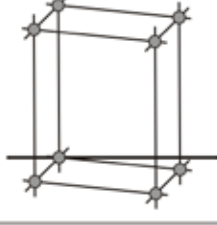
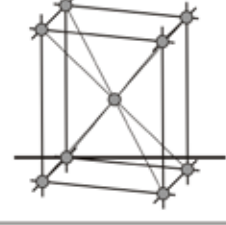
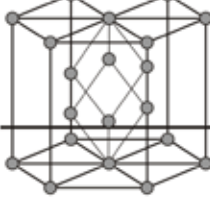
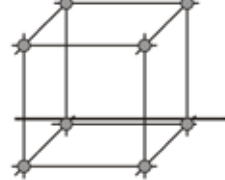
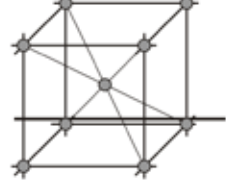
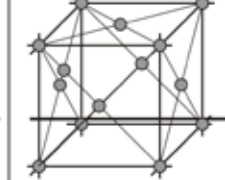
from „Minerale: Bestimmen nach äußeren Kennzeichen / HOCHLEITNER; PHILIPSborn; WEINER“

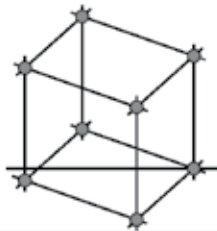
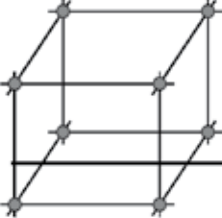
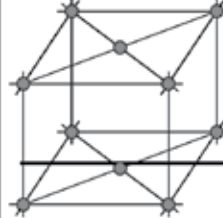
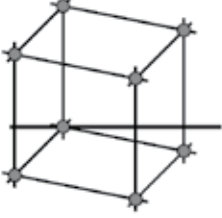
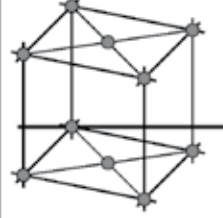
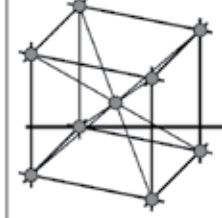
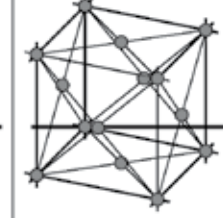
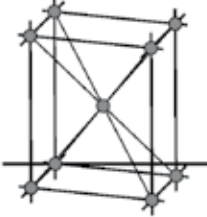
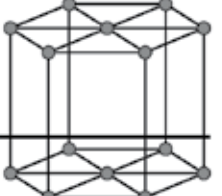
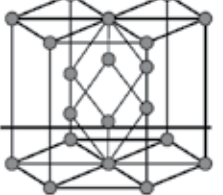
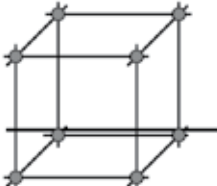
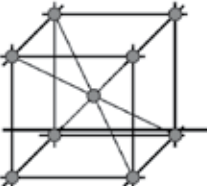
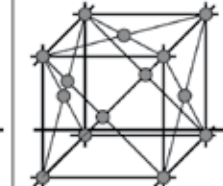
## Influence of different axes

Name	Symbol	Influence
Inversion	* / i	Inversion at the center
Two-fold rotation axis	1 / 2	Rotation of 180°
Mirror plane / inverse two-fold rotation axis	m = 2	A reflection at a plane
Three-fold rotation axis	▲ / 3	Rotation of 120°
Inverse three-fold rotation axis	▲ / 3̄	Rotation of 120° and Inversion
Four-fold rotation axis	◆ / 4	Rotation of 90°
Inverse four-fold rotation axis	◆ / 4̄	Rotation of 90° and Inversion
Six-fold rotation axis	■ / 6	Rotation of 60°
Inverse six-fold rotation axis	■ / 6̄	Rotation of 60° and Inversion



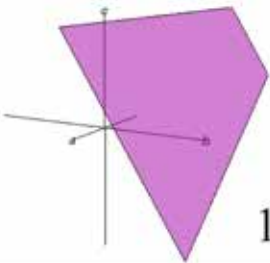
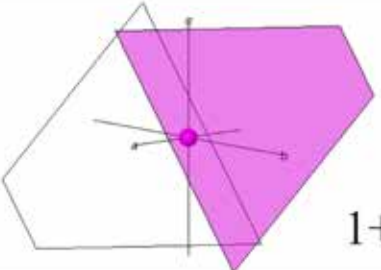
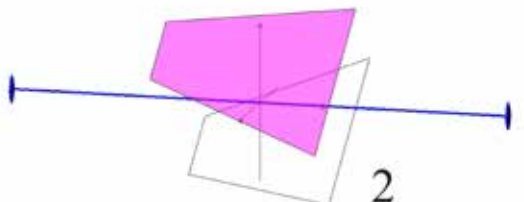
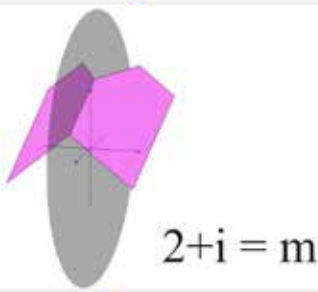
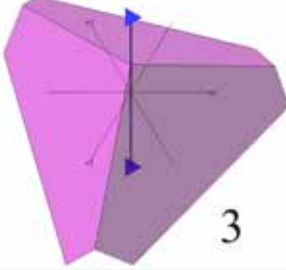
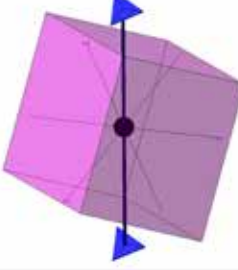
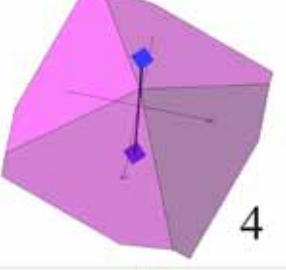
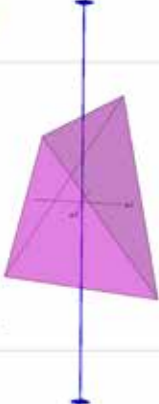
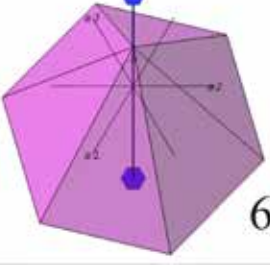
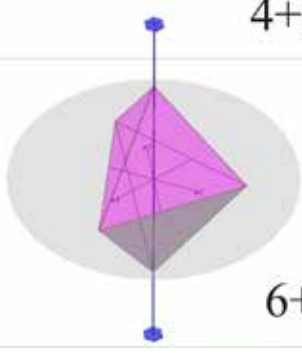


	P	C	I	F
triklin				
monoklin			identisch mit C-Gitter	identisch mit C-Gitter
ortho-rhombisch				
tetragonal		identisch mit P-Gitter		identisch mit I-Gitter
trigonal				
hexagonal				
kubisch		unmöglich		

	P	C	I	F
triclinic				
monoclinic			identical with C-lattice	identical with C-lattice
ortho- rhombic				
tetragonal		identical with P-lattice		identical with I-lattice
trigonal				
hexagonal				
cubic		impossible		

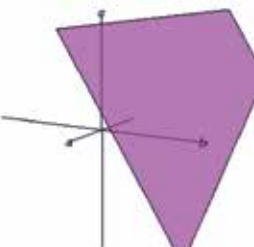
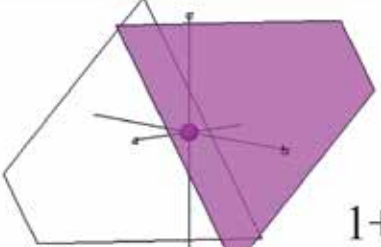
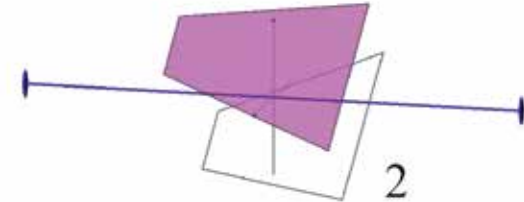
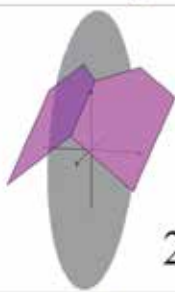
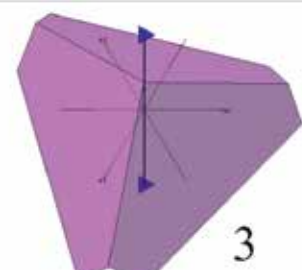
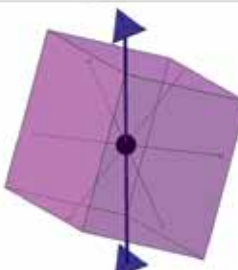
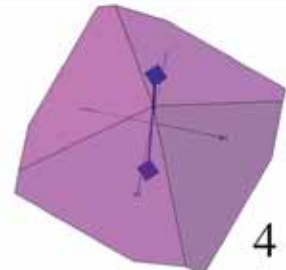
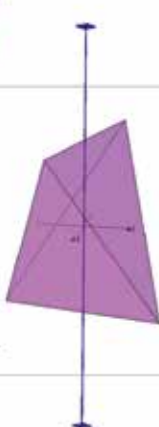
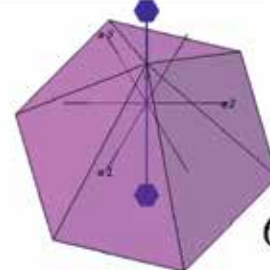
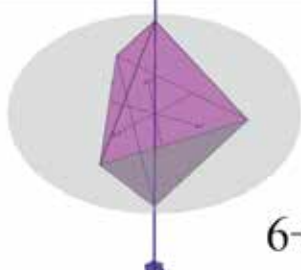
# Die Symmetrieelemente

(normale Drehachsen, Drehachsen kombiniert mit Inversion)  
kombiniert mit  
Inversionszentrum

normal	Inversionszentrum
	
	
	
	
	

# Symmetry elements

(normal rotation axes, rotation axes combined with inversion)

normal		combined with inversion center
	1	
	2	 $2+i = m$
	3	 $3+i$
	4	 $4+i$
	6	 $6+i$

## Die Symmetrieelemente

<b>Symmetrie</b>	<b>Symbole nach (polare Drehachse)</b>	<b>Symbole nach Schönflies</b>	<b>Symbole nach Hermann-Mauguin</b>	<b>Symbole nach (Kombination von Drehachsen und horizontalen Symmetrieebenen)</b>	<b>Symbole nach (Kombination von Drehachsen und vertikalen Symmetrieebenen)</b>	<b>Symbole nach (Kombination von Drehachsen, horizontalen und vertikalen Symmetrieebenen)</b>	<b>Symbole nach (Kombination mit zweizähligen Drehachsen)</b>	<b>Symmetriezentrum und Inversionsachsen</b>
	*	$C_1$	$C_2$	$C_3$	$C_4$	$C_5$	$C_6$	$\bullet$
				$C_{2h}$	$C_{3h}$	$C_{4h}$	$C_{6h}$	$\blacklozenge$
				$2/m$	$3/m(\bar{6})$	$4/m$	$6/m$	$\bullet$
				$C_s$	$C_{2v}$	$C_{3v}$	$C_{4v}$	$C_{6v}$
				$m$	$mm2$	$3m$	$4mm$	$6mm$
				$D_{2h}$	$D_{3h}$	$D_{4h}$	$D_{6h}$	
				$mmm$	$\bar{6}2m$	$4/mmm$	$6/mmm$	
				$D_2$	$D_3$	$D_4$	$D_6$	
				$222$	$32$	$422$	$622$	
				$C_i$	$C_{3i}$	$S_4$	$D_{3d}$	$D_{2d}$
				$\bar{1}$	$\bar{2}(m)$	$\bar{3}$	$\bar{4}$	$6(3/m)$
					$\bar{3}m$	$\bar{4}2m$	$\bar{6}2m$	

## Elements of symmetry

<b>Symmetry</b>	<b>Symbols according to Schoenflies</b>	<b>Symbol</b>
(polar rotation axis)	$C_1$	*
<i>Schoenflies</i>	$C_2$	•
<i>Hermann-Mauguin</i>	1	2
<i>Schoenflies</i>	$C_{2h}$	▲
<i>Hermann-Mauguin</i>	$2/m$	◆
<i>Schoenflies</i>	$C_s$	○
<i>Hermann-Mauguin</i>	$m$	○
<i>Schoenflies</i>	$D_{2h}$	$C_{3h}$
<i>Hermann-Mauguin</i>	$mm2$	$C_3$
<i>Schoenflies</i>	$D_{3h}$	$C_4$
<i>Hermann-Mauguin</i>	$3m$	$C_4h$
<i>Schoenflies</i>	$D_{4h}$	$C_6$
<i>Hermann-Mauguin</i>	$\overline{3}m(\bar{6})$	$C_{6h}$
<i>Schoenflies</i>	$D_2$	3
<i>Hermann-Mauguin</i>	$\overline{3}m$	4
<i>Schoenflies</i>	$D_3$	4
<i>Hermann-Mauguin</i>	$\overline{4}m$	6
<i>Schoenflies</i>	$D_4$	6
<i>Hermann-Mauguin</i>	$\overline{6}2m$	6/m
<i>Schoenflies</i>	$D_{3d}$	$C_{3v}$
<i>Hermann-Mauguin</i>	$mm$	$C_{4v}$
<i>Schoenflies</i>	$D_{4d}$	$C_{6v}$
<i>Hermann-Mauguin</i>	$\overline{6}mm$	$C_{6h}$
<i>Schoenflies</i>	$D_2$	$\overline{3}m$
<i>Hermann-Mauguin</i>	$\overline{4}2m$	$\overline{6}mm$
<i>Schoenflies</i>	$D_3$	$\overline{6}2m$
<i>Hermann-Mauguin</i>	$222$	$422$
<i>Schoenflies</i>	$C_{3i}$	$422$
<i>Hermann-Mauguin</i>	$\overline{3}(m)$	$622$
<i>Symmetry center and inversion axes</i>	$D_{3d}$	$S_4$
<i>Hermann-Mauguin</i>	$3$	$D_{2d}$
	$\overline{3}m$	$\overline{4}2m$
	$4$	$6(3/m)$
		$\overline{6}2m$

# Die 32 Punktgruppen

Kristallsystem	Triklin	Monoklin	Orthorhomatisch	Trigonal	Hexagonal	Tetragonal	Kubisch
Holoedrie	$\bar{1}$	$\frac{2}{m}$	$\frac{2}{m} \frac{2}{m} \frac{2}{m}$	$\bar{3} \frac{2}{m}$	$\frac{6}{m} \frac{2}{m} \frac{2}{m}$	$\frac{4}{m} \frac{2}{m} \frac{2}{m}$	$\frac{4}{m} \bar{3} \frac{2}{m}$
Blickrichtung	- keine-	[010]	[100] [010] [001]	[001] [100] [110]	[001] [100] [110]	[001] [100] [110]	[001] [111] [110]
Punktgruppen	1	2	2 2 2	3	6	4	2 3
	$\bar{1}$	m	$\frac{2}{m} \frac{2}{m} \frac{2}{m}$	3 m	6 m m	4 m m	$\frac{2}{m} \bar{3}$
		$\frac{2}{m}$		$\bar{3}$	$\bar{6}$	$\bar{4}$	$\bar{4} 3 m$
				$\bar{3} \frac{2}{m}$	$\bar{6} 2 m$	$\bar{4} 2 m$	$\frac{4}{m} \bar{3} \frac{2}{m}$
					$\bar{6} m 2$	$\bar{4} m 2$	$\frac{4}{m} \frac{2}{m} \frac{2}{m}$
					$\frac{6}{m}$	$\frac{4}{m}$	$\frac{6}{m} \frac{2}{m} \frac{2}{m}$

# 32 Crystallographic point groups

Crystal systems	Triclinic	Monoclinic	Orthorhombic	Trigonal	Hexagonal	Tetragonal	Cubic
Holoedry	$\bar{1}$	$\frac{2}{m}$	$\frac{2}{m} \frac{2}{m} \frac{2}{m}$	$\bar{3} \frac{2}{m}$	$\frac{6}{m} \frac{2}{m} \frac{2}{m}$	$\frac{4}{m} \frac{2}{m} \frac{2}{m}$	$\frac{4}{m} \bar{3} \frac{2}{m}$
Viewing direction	- keine-	[010]	[100] [010] [001]	[001] [100]	[001] [100] [110]	[001] [100] [110]	[001] [111] [1\bar{1}0]
Point groups	1	2	2 2 2	3	6	4	2 3
	$\bar{1}$	$m$	$m m 2$	$3 2$	$6 2 2$	$4 2 2$	$4 3 2$
		$\frac{2}{m}$	$\frac{2}{m} \frac{2}{m} \frac{2}{m}$	$3 m$	$6 m m$	$4 m m$	$\frac{2}{m} \bar{3}$
				$\bar{3}$	$\bar{6}$	$\bar{4}$	$\bar{4} 3 m$
				$\bar{3} \frac{2}{m}$	$\bar{6} 2 m$	$\bar{4} 2 m$	$\frac{4}{m} \bar{3} \frac{2}{m}$
					$\bar{6} m 2$	$\bar{4} m 2$	$\frac{4}{m}$
							$\frac{6}{m} \frac{2}{m} \frac{2}{m}$

### Die 32 Kristallklassen

Anzahl der Klassen	Bezeichnung nach Herman-Mauguin		Bezeichnung der Kristallklasse
	komplett	abgekürzt	
Triklines System			
2 Klassen	1	1	Triklin Pedial
	-1	-1	Triklin Pinakoidal
Monoklines System			
3 Klassen	$2/m$	$2/m$	Monoklin Prismatisch
	$m$	$m$	Monoklin Domatisch
	2	2	Monoklin Sphenoid
Orthorombisches System			
3 Klassen	$2/m2 /m/m$	$mmm$	Orthorombisch Dipyramidal
	$mm2$	$mm2$	Orthorombisch Pyramidal
	222	222	Orthorombisch Disphenoid
Tetragonales System			
7 Klassen	$4/m2/m2/m$	$4/mmm$	Ditetragonal Dipyramidal
	$4mm$	$4mm$	Ditetragonal Pyramidal
	422	422	Tetragonal Trapezoedrisch
	$4/m$	$4/m$	Tetragonal Dipyramidal
	4	4	Tetragonal Pyramidal
	$4 \cdot 2 m$	$4 \cdot 2 m$	Tetragonal Skalenoedrisch
	-4	-4	Tetragonal Disphenoidisch
Hexagonales System:			
7 Klassen	$6/m2/m2/m$	$6/mmm$	Dihexagonal Dipyramidal
	$6mm$	$6mm$	Dihexagonal Pyramidal
	622	622	Hexagonal Trapezoedrisch
	$6/m$	$6/m$	Hexagonal Dipyramidal
	6	6	Hexagonal Pyramidal
	$-6m2$	$-6m2$	Ditrigonal Dipyramidal
	-6	-6	Trigonal Dipyramidal
Trigonales System:			
5 Klassen	$-3 \cdot 2m$	$-3m$	Ditrigonal Skalenoedrisch
	$3m$	$3m$	Ditrigonal Pyramidal
	32	32	Trigonal Trapezoedrisch
	3	3	Trigonal Pyramidal
	-3	-3	Trigonal Rhomboedrisch
Kubisches System			
5 Klassen	$4/m \cdot 3 2/m$	$m3m$	Hexakisoktaedrisch
	432	432	Pentagonikositetraedrisch
	$2/m \cdot -3$	$m3$	Disdodekaedrisch
	$-4 \cdot 3m$	$-4 \cdot 3m$	Hexakistetraedrisch
	23	23	Tetraedrisch Pentagondodekaedrisch

### The 32 crystal classes

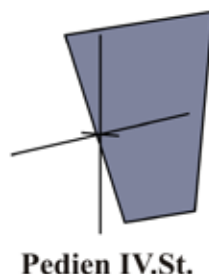
Amount of Classes	Symbol according Hermann-Mauguin		Crystal class
	complete	Abrev.	
<b>Triclinic System</b>			
2 Classes	1	1	Triclinic Pedial
	-1	-1	Triclinic Pinakoidal
<b>Monoclinic System</b>			
3 Classes	$2/m$	$2/m$	Monoclinic Prismatic
	$m$	$m$	Monoclinic Domatic
	2	2	Monoclinic Sphenoid
<b>Orthorhombic System</b>			
3 Classes	$2/m2 /m/m$	$mmm$	Orthorhombic Dipyramidal
	$mm2$	$mm2$	Orthorhombic Pyramidal
	222	222	Orthorhombic Disphenoid
<b>Tetragonal System</b>			
7 Classes	$4/m2/m2/m$	$4/mmm$	Ditetragonal Dipyramidal
	$4mm$	$4mm$	Ditetragonal Pyramidal
	422	422	Tetragonal Trapezoedric
	$4/m$	$4/m$	Tetragonal Dipyramidal
	4	4	Tetragonal Pyramidal
	$4 \cdot 2 m$	$4 \cdot 2 m$	Tetragonal Scalenoidric
	-4	-4	Tetragonal Disphenoidic
<b>Hexagonal System:</b>			
7 Classes	$6/m2/m2/m$	$6/mmm$	Dihexagonal Dipyramidal
	$6mm$	$6mm$	Dihexagonal Pyramidal
	622	622	Hexagonal Trapezoedric
	$6/m$	$6/m$	Hexagonal Dipyramidal
	6	6	Hexagonal Pyramidal
	$-6m2$	$-6m2$	Ditrigonal Dipyramidal
	-6	-6	Trigonal Dipyramidal
<b>Trigonal System:</b>			
5 Classes	$-3 \cdot 2m$	$-3m$	Ditrigonal Scalenoidric
	$3m$	$3m$	Ditrigonal Pyramidal
	32	32	Trigonal Trapezoedric
	3	3	Trigonal Pyramidal
	-3	-3	Trigonal Rhomboedric
<b>Cubic System</b>			
5 Classes	$4/m \cdot 3 \cdot 2/m$	$m3m$	Hexakisoktaedric
	432	432	Pentagonikositetraedric
	$2/m \cdot -3$	$m3$	Disdodekaedric
	$-4 \cdot 3m$	$-4 \cdot 3m$	Hexakistetraedric
	23	23	Tetraedric Pentagondodekaedric

# Triklines Kristallsystem

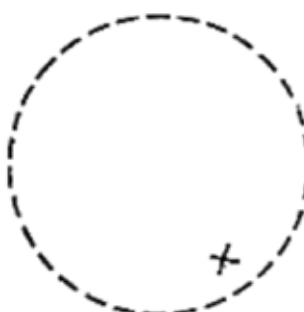
Trikline Hemiedrie  
Triklin-pediale Klasse

Symbol: 1 oder C<sub>1</sub>

Allgemeine Form:  
 $\{hkl\}$



Pedien IV.St.



$\{0kl\}$	$\{h0l\}$	$\{hk0\}$
<u>Pedien I.St.</u>	<u>Pedien II.St.</u>	<u>Pedien III.St.</u>
$\{100\}$	$\{010\}$	$\{001\}$
<u>I. Pedion</u>	<u>II. Pedion</u>	<u>III. Pedion</u>

**Mineral-Bsp.:**

Sinnerite Cu<sub>6</sub>As<sub>4</sub>S<sub>9</sub>

Hartite C<sub>20</sub>H<sub>34</sub>

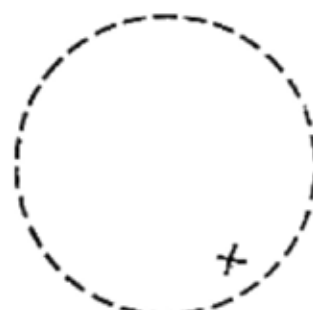
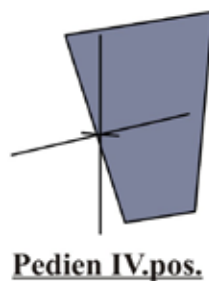
Nekoite Ca<sub>3</sub>[Si<sub>6</sub>O<sub>15</sub>]<sup>\*</sup>7H<sub>2</sub>O

# Triclinic crystal system

Triclinic hemiedry  
Triclinic pedial class

Symbol: 1 or  $C_1$

General form:  
 $\{hkl\}$



$\{0kl\}$	$\{h0l\}$	$\{hk0\}$
<p>Pedien I.pos.</p>	<p>Pedien II.pos.</p>	<p>Pedien III.pos.</p>
$\{100\}$	$\{010\}$	$\{001\}$
<p>I. Pedion</p>	<p>II. Pedion</p>	<p>III. Pedion</p>

## mineral examples:

Sinnerite  $Cu_6As_4S_9$

Hartite  $C_{20}H_{34}$

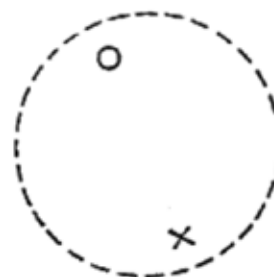
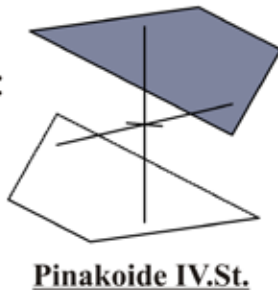
Nekoite  $Ca_3[Si_6O_{15}]^*7H_2O$

# Triklines Kristallsystem

Trikline Holoedrie  
Triklin-pinakoidale Klasse

Symbol:  $\bar{1}$  oder  $C_i$

Allgemeine Form:  
 $\{hkl\}$



$\{0kl\}$	$\{h0l\}$	$\{hk0\}$
$\{100\}$	$\{010\}$	$\{001\}$
I. Pinakoid	II. Pinakoid	III. Pinakoid

## Mineral-Bsp.:

Albit  $\text{Na}[\text{AlSi}_3\text{O}_8]$

Kyanit/Disthen  $\text{Al}_2[\text{O/SiO}_4]$

Wollastonit  $\text{Ca}[\text{SiO}_3]$

Axinit  $\text{Ca}_2(\text{Fe,Mn})\text{Al}_2[\text{BO}_3\text{OH/Si}_4\text{O}_{12}]$

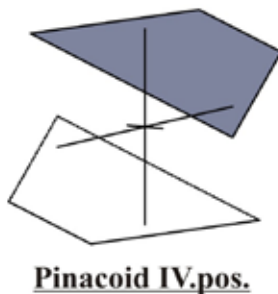
# Triclinic crystal system

Triclinic holoedry

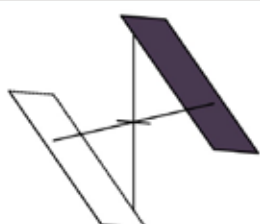
Symbol:  $\bar{1}$  or  $C_i$

Triclinic pinacoidal class

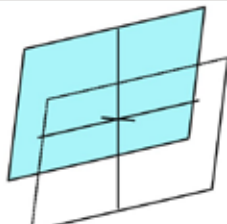
General form:  
 $\{hkl\}$



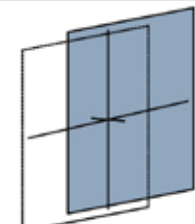
$\{0kl\}$



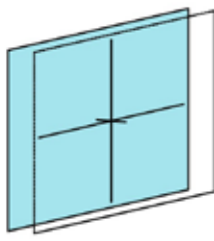
$\{h0l\}$



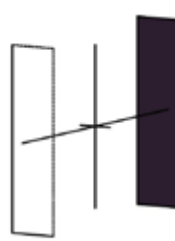
$\{hk0\}$



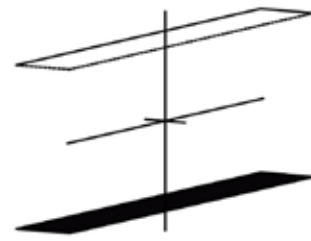
$\{100\}$



$\{010\}$



$\{001\}$



## mineral examples:

Albite  $\text{Na}[\text{AlSi}_3\text{O}_8]$

Kyanite/Disthene  $\text{Al}_2[\text{O/SiO}_4]$

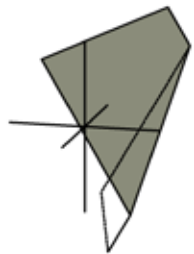
Wollastonite  $\text{Ca}[\text{SiO}_3]$

Axinite  $\text{Ca}_2(\text{Fe,Mn})\text{Al}_2[\text{BO}_3\text{OH/Si}_4\text{O}_{12}]$

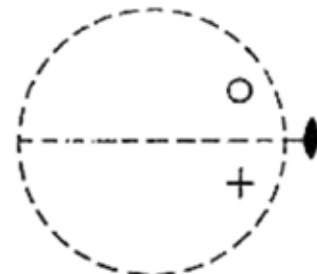
# Monoklines Kristallsystem

Monokline Hemimorphie      Symbol: 2 oder  $C_2$   
 Monoklin-sphenoidische Klasse

Allgemeine Form:  
 $\{hkl\}$



Sphenoide IV.St.



$\{0kl\}$	$\{h0l\}$	$\{hk0\}$
<u>Sphenoide I.St.</u>	<u>Pinakoide II.St.</u>	<u>Sphenoide III.St.</u>
$\{100\}$	$\{010\}$	$\{001\}$
<u>I. Pinakoid</u>	<u>II. Pedion</u>	<u>III. Pinakoid</u>

## Mineral-Bsp.:

(Rohr-/Kandis-)Zucker  $C_{12}H_{22}O_{11}$

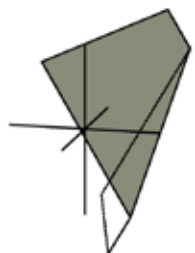
Weinsäure  $C_4H_6O_6$

Latiumite  $(Ca,K)_8(Al,Mg,Fe)[(Si,Al)_{10}O_{25}/(SO_4)]$

# Monoclinic crystal system

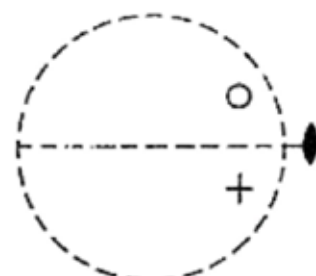
Monoclinic hemimorphy  
Monoclinic sphenoidal class

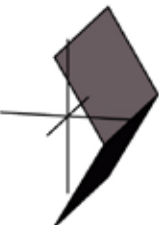
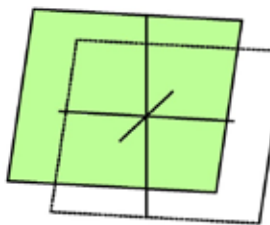
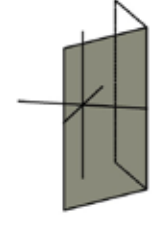
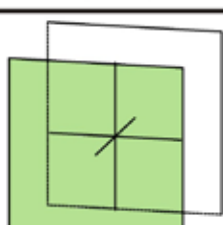
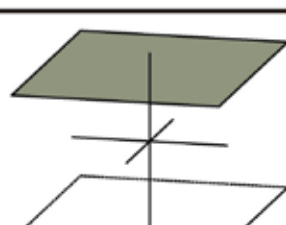
General form:  
 $\{hkl\}$



Sphenoid IV.pos.

Symbol: 2 or C<sub>2</sub>



$\{0kl\}$	$\{h0l\}$	$\{hk0\}$
		
<u>Sphenoid I.pos.</u>	<u>Pinacoid II.pos.</u>	<u>Sphenoid III.pos.</u>
$\{100\}$	$\{010\}$	$\{001\}$
		
<u>I. Pinacoid</u>	<u>II. Pedion</u>	<u>III. Pinacoid</u>

## mineral examples:

(cane/candy)sugar C<sub>12</sub>H<sub>22</sub>O<sub>11</sub>

Tartaric acid C<sub>4</sub>H<sub>6</sub>O<sub>6</sub>

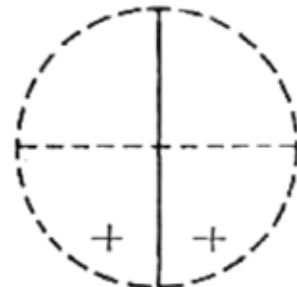
Latiumite (Ca,K)<sub>8</sub>(Al,Mg,Fe)[(Si,Al)<sub>10</sub>O<sub>25</sub>/(SO<sub>4</sub>)]

# Monoklines Kristallsystem

Monokline Hemiedrie II.Art  
Monoklin-domatische Klasse

Symbol: m oder C<sub>s</sub>

Allgemeine Form:  
 $\{hkl\}$



$\{0kl\}$	$\{h0l\}$	$\{hk0\}$
<u>Domen I.St.</u>	<u>Pedien II.St.</u>	<u>Domen III.St.</u>
$\{100\}$	$\{010\}$	$\{001\}$
I. Pedion	II. Pinakoid	III. Pedion

## Mineral-Bsp.:

Posnjakite  $\text{Cu}_4[(\text{OH})_6/\text{SO}_4]*\text{H}_2\text{O}$

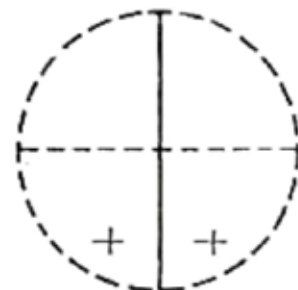
Hilgardit  $\text{Ca}_2[\text{Cl}/\text{B}_5\text{O}_8(\text{OH})_2]$

Skolezit  $\text{Ca}[\text{Al}_2\text{Si}_3\text{O}_{10}]*3\text{H}_2\text{O}$

# Monoclinic crystal system

Monoclinic hemidry II. type    Symbol: m or C<sub>s</sub>  
 Monoclinic domatic class

General form:  
 $\{hkl\}$



$\{0kl\}$	$\{h0l\}$	$\{hk0\}$
$\{100\}$	$\{010\}$	$\{001\}$

## mineral examples:

Posnjakite  $\text{Cu}_4[(\text{OH})_6/\text{SO}_4]*\text{H}_2\text{O}$

Hilgardite  $\text{Ca}_2[\text{Cl}/\text{B}_5\text{O}_8(\text{OH})_2]$

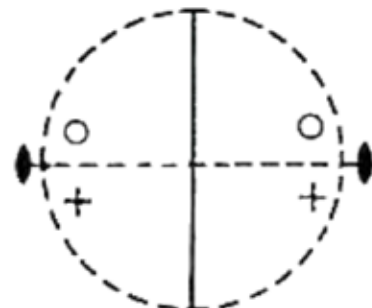
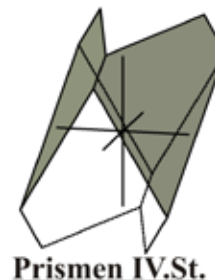
Scolecite  $\text{Ca}[\text{Al}_2\text{Si}_3\text{O}_{10}]*3\text{H}_2\text{O}$

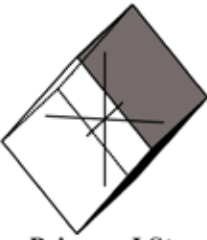
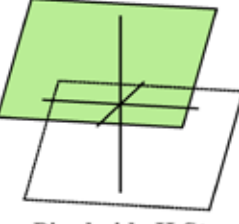
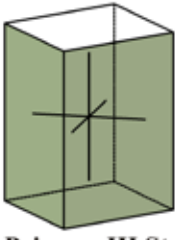
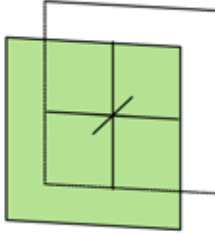
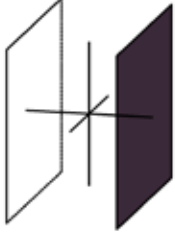
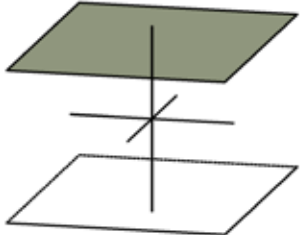
# Monoklines Kristallsystem

Monokline Holoedrie  
Monoklin-prismatische Klasse

Symbol:  $2/m$  oder  $C_{2h}$

Allgemeine Form:  
 $\{hkl\}$



$\{0kl\}$	$\{h0l\}$	$\{hk0\}$
		
<b>Prismen I.St.</b>	<b>Pinakoide II.St.</b>	<b>Prismen III.St.</b>
$\{100\}$	$\{010\}$	$\{001\}$
		
<b>I. Pinakoid</b>	<b>II. Pinakoid</b>	<b>III. Pinakoid</b>

## Mineral-Bsp.:

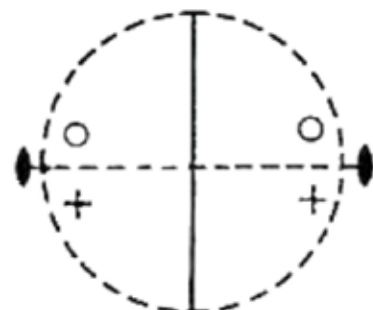
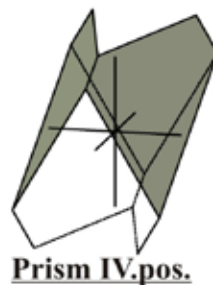
- häufigste Kristallklasse
- siehe Zusatzseite

# Monoclinic crystal system

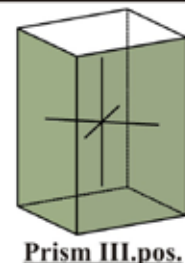
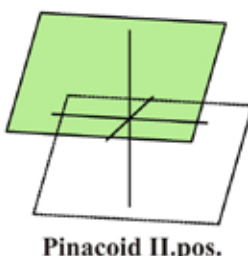
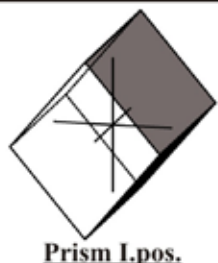
Monoclinic Holoedry  
Monoclinic prismatic class

Symbol:  $2/m$  or  $C_{2h}$

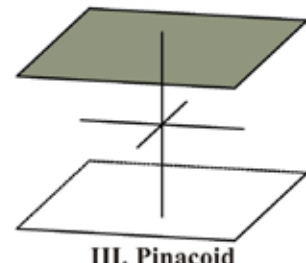
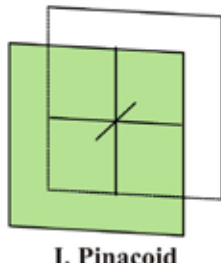
General form:  
 $\{hkl\}$



$\{0kl\}$	$\{h0l\}$	$\{hk0\}$
-----------	-----------	-----------



$\{100\}$	$\{010\}$	$\{001\}$
-----------	-----------	-----------



## mineral examples:

- most common crystal class
- see additional page

## Mineral-Bsp. für 2/m: (häufigste Kristallklasse)

Gips  $\text{Ca}[\text{SO}_4]*2\text{H}_2\text{O}$

Diopsid  $\text{Ca}(\text{Mg},\text{Fe})[\text{Si}_2\text{O}_6]$

Orthoklas  $\text{K}[\text{AlSi}_3\text{O}_8]$

Soda  $\text{Na}_2[\text{CO}_3]*10\text{H}_2\text{O}$

Arsenopyrit  $\text{FeAsS}$

Azurit  $\text{Cu}_3[(\text{CO}_3)_2/(\text{OH})_2]$

Biotit  $\text{K}(\text{Mg},\text{Fe}^{2+},\text{Mn}^{2+})_3[(\text{OH},\text{F})_2/(\text{Al},\text{Fe}^{3+},\text{Ti}^{3+})\text{Si}_3\text{O}_{10}]$

Borax  $\text{Na}_2[\text{B}_4\text{O}_5/(\text{OH})_4]\cdot8\text{H}_2\text{O}$

Chalkosin  $\text{Cu}_2\text{S}$

Epidot  $\text{Ca}_2(\text{Fe},\text{Al})_3[(\text{Si}_2\text{O}_7)/(\text{SiO}_4)_3/(\text{OH})_2]$

Hornblende  $\text{Ca}_2(\text{Mg}, \text{Fe}, \text{Al})_5 [(\text{Al}, \text{Si})_8\text{O}_{22}/(\text{OH})_2]$

Kryolith  $\text{Na}_3\text{AlF}_6$

Malachit  $\text{Cu}_2[(\text{CO}_3)/(\text{OH})_2]$

Muskovit  $\text{KAl}_2[\text{Si}_3\text{AlO}_{10}/(\text{OH},\text{F})_2]$

Phlogopit  $\text{KMg}_3[\text{Si}_3\text{AlO}_{10}/(\text{F},\text{OH})_2]$

Realgar  $\text{AsS}$

Sanidin  $(\text{K},\text{Na})[\text{Al}_3\text{SiO}_8]$

Staurolith  $(\text{Fe}^{2+},\text{Mg},\text{Zn})_2\text{Al}_9[(\text{Si},\text{Al})_4\text{O}_{22}/(\text{OH})_2]$

Titanit  $\text{CaTi}[\text{O/SiO}_4]$

**mineral examples for 2/m: (most common crystal class)**

Gypsum  $\text{Ca}[\text{SO}_4]*2\text{H}_2\text{O}$

Diopside  $\text{Ca}(\text{Mg},\text{Fe})[\text{Si}_2\text{O}_6]$

Orthoclase  $\text{K}[\text{AlSi}_3\text{O}_8]$

Soda  $\text{Na}_2[\text{CO}_3]*10\text{H}_2\text{O}$

Arsenopyrite  $\text{FeAsS}$

Azurite  $\text{Cu}_3[(\text{CO}_3)_2/(\text{OH})_2]$

Biotite  $\text{K}(\text{Mg},\text{Fe}^{2+},\text{Mn}^{2+})_3[(\text{OH},\text{F})_2/(\text{Al},\text{Fe}^{3+},\text{Ti}^{3+})\text{Si}_3\text{O}_{10}]$

Borax  $\text{Na}_2[\text{B}_4\text{O}_5/(\text{OH})_4]\cdot8\text{H}_2\text{O}$

Chalcocite  $\text{Cu}_2\text{S}$

Epidote  $\text{Ca}_2(\text{Fe},\text{Al})_3[(\text{Si}_2\text{O}_7)/(\text{SiO}_4)_3/(\text{OH})_2]$

Hornblende  $\text{Ca}_2(\text{Mg}, \text{Fe}, \text{Al})_5 [(\text{Al}, \text{Si})_8\text{O}_{22}/(\text{OH})_2]$

Cryolite  $\text{Na}_3\text{AlF}_6$

Malachite  $\text{Cu}_2[(\text{CO}_3)/(\text{OH})_2]$

Muscovite  $\text{KAl}_2[\text{Si}_3\text{AlO}_{10}/(\text{OH},\text{F})_2]$

Phlogopite  $\text{KMg}_3[\text{Si}_3\text{AlO}_{10}/(\text{F},\text{OH})_2]$

Realgar  $\text{AsS}$

Sanidine  $(\text{K},\text{Na})[\text{Al}_3\text{SiO}_8]$

Staurolite  $(\text{Fe}^{2+},\text{Mg},\text{Zn})_2\text{Al}_9[(\text{Si},\text{Al})_4\text{O}_{22}/(\text{OH})_2]$

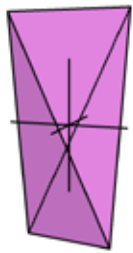
Titanite  $\text{CaTi}[\text{O/SiO}_4]$

# Orthorhombrisches Kristallsystem

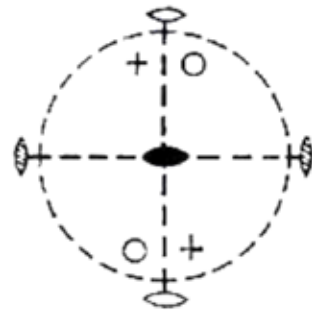
Rhombische Hemiedrie  
Rhombisch-disphenoidische Klasse

Symbol: 222 oder  $D_2$

Allgemeine Form:  
 $\{hkl\}$



Rhombische Disphenoide



$\{0kl\}$	$\{h0l\}$	$\{hk0\}$
$\{100\}$	$\{010\}$	$\{001\}$
I. Pinakoid	II. Pinakoid	III. Pinakoid

## Mineral-Bsp.:

Epsomit (Bittersalz)  $MgSO_4 \cdot 7H_2O$

Zinkvitriol/Goslarit  $ZnSO_4 \cdot 7H_2O$

Austinit  $CaZn[(AsO_4)/(OH)]$

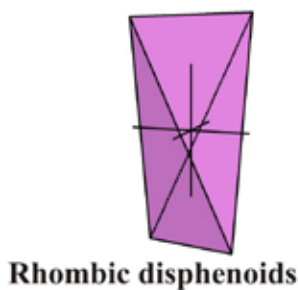
Arsenoclasite  $Mn_5[(AsO_4)_2/(OH)_4]$

# Orthorhombic crystal system

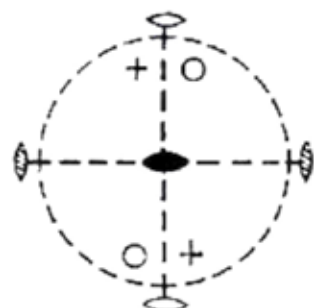
Rhombic hemiedry

Rhombic-disphenoidal class

General form:  
 $\{hkl\}$



Symbol: 222 or  $D_2$



$\{0kl\}$	$\{h0l\}$	$\{hk0\}$
<u>Prism I.pos.</u>	<u>Prism II.pos.</u>	<u>Prism III.pos.</u>
$\{100\}$	$\{010\}$	$\{001\}$
<u>I. Pinacoid</u>	<u>II. Pinacoid</u>	<u>III. Pinacoid</u>

## mineral examples:

Epsomite (Epsom salt)  $MgSO_4 \cdot 7H_2O$

Zinc vitriol/ Goslarite  $ZnSO_4 \cdot 7H_2O$

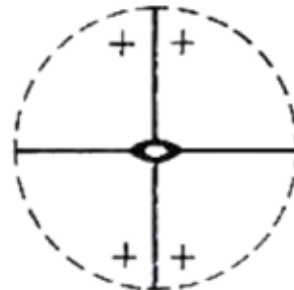
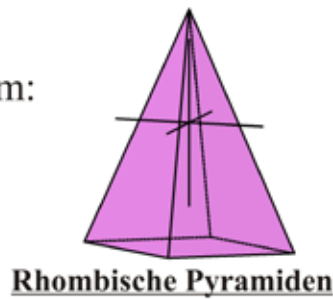
Austinite  $CaZn[(AsO_4)/(OH)]$

Arsenoclasite  $Mn_5[(AsO_4)_2/(OH)_4]$

# Orthorhombisches Kristallsystem

Rhombische Hemimorphie      Symbol: mm2 oder  $C_{2v}$   
 Rhombisch-pyramidal Klasse      (mm)

Allgemeine Form:  
 $\{hkl\}$



$\{0kl\}$	$\{h0l\}$	$\{hk0\}$
 Domen I.St.	 Domen II.St.	 Prismen III.St.
$\{100\}$	$\{010\}$	$\{001\}$
 I. Pinakoid	 II. Pinakoid	 III. Pedien

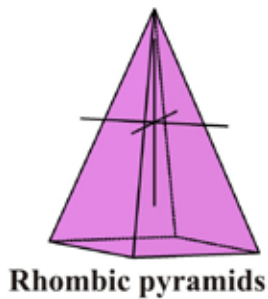
## Mineral-Bsp.:

Hemimorphit/Kieselzinkerz  $Zn_4[(OH)_2/Si_2O_7]*H_2O$   
 Struvit  $MgNH_4[PO_4]*6H_2O$   
 Prehnit  $Ca_2Al_2[Si_3O_{10}/(OH)_2]$

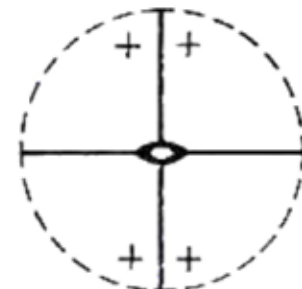
# Orthorhombic crystal system

Rhombic Hemimorphy  
Rhombic-pyramidal class

General form:  
 $\{hkl\}$



Symbol: mm2 or  $C_{2v}$   
(mm)



$\{0kl\}$	$\{h0l\}$	$\{hk0\}$
 Domen I.pos.	 Domen II.pos.	 Prism III.pos.
$\{100\}$	$\{010\}$	$\{001\}$
 I. Pinacoid	 II. Pinacoid	 III. Pedien

## mineral examples:

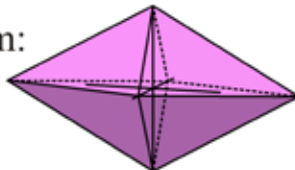
- Hemimorphite/Kieselgalmey  $Zn_4[(OH)_2/Si_2O_7]*H_2O$
- Struvite  $MgNH_4[PO_4]*6H_2O$
- Prehnite  $Ca_2Al_2[Si_3O_{10}/(OH)_2]$

# Orthorhombisches Kristallsystem

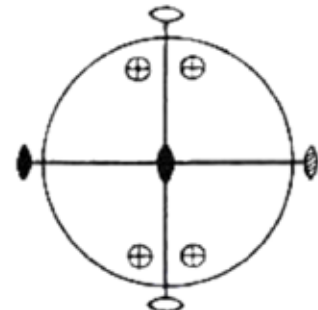
Rhombische Holoedrie  
Rhombisch-dipyramidal Klasse

Symbol:  $2/m\ 2/m\ 2/m$   
(mmm) oder  $D_{2h}$

Allgemeine Form:  
 $\{hkl\}$



Rhombische Dipyramiden



$\{0kl\}$	$\{hol\}$	$\{hk0\}$
 <u>Prismen I.St.</u>	 <u>Prismen II.St.</u>	 <u>Prismen III.St.</u>

$\{100\}$	$\{010\}$	$\{001\}$
 <u>I. Pinakoid</u>	 <u>II. Pinakoid</u>	 <u>III. Pinakoid</u>

## Mineral-Bsp.:

Schwefel S

Baryt  $\text{Ba}[\text{SO}_4]$

Aragonit  $\text{Ca}[\text{CO}_3]$

Topas  $\text{Al}_2[\text{F}_2/\text{SiO}_4]$

Anhydrit  $\text{Ca}[\text{SO}_4]$

Olivin  $(\text{Mg}, \text{Fe})_2[\text{SiO}_4]$

# Orthorhombic crystal system

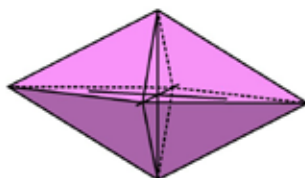
Rhombic Holoedry

Rhombic-bipyramidal class

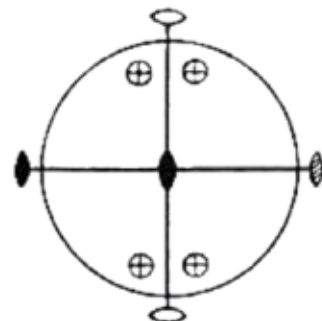
Symbol: 2/m 2/m 2/m

(mmm) or  $D_{2h}$

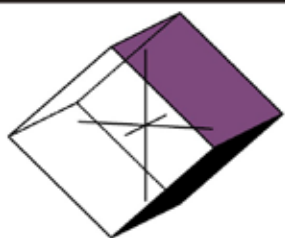
General form:  
 $\{hkl\}$



Rhombic bipyramid

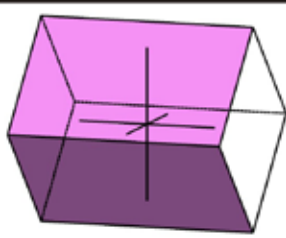


$\{0kl\}$



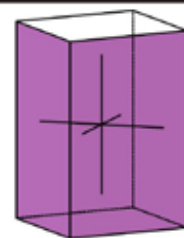
Prism I.pos.

$\{h0l\}$



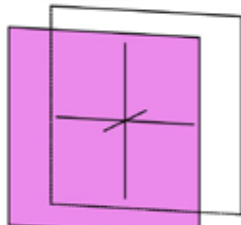
Prism II.pos.

$\{hk0\}$



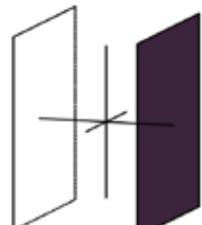
Prism III.pos.

$\{100\}$



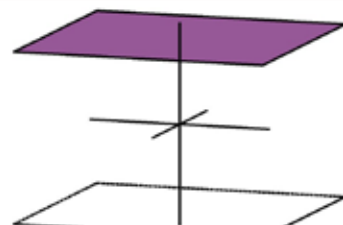
I. Pinacoid

$\{010\}$



II. Pinacoid

$\{001\}$



III. Pinacoid

## mineral examples:

Sulphur S

Baryte  $\text{Ba}[\text{SO}_4]$

Aragonite  $\text{Ca}[\text{CO}_3]$

Topaz  $\text{Al}_2[\text{F}_2/\text{SiO}_4]$

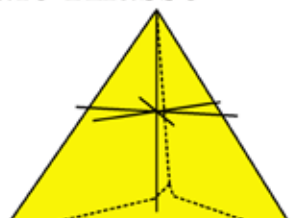
Anhydrite  $\text{Ca}[\text{SO}_4]$

Olivine  $(\text{Mg}, \text{Fe})_2[\text{SiO}_4]$

# Trigonales Kristallsystem

Hemimorphie d. trig. Tetartoedrie Symbol: 3 oder  $C_3$   
Trigonal-pyramidale Klasse

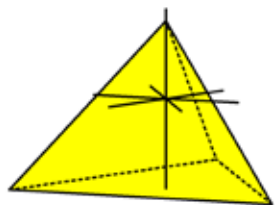
Allgemeine Form:  
 $\{hkl\} / \{hkil\}$



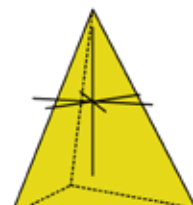
Trigonale Pyramiden III. St.



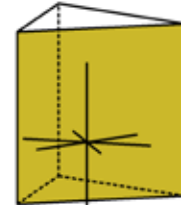
$\{h0l\} / \{h0\bar{h}\bar{l}\}$



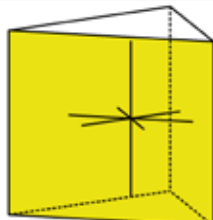
$\{hh\bar{l}\} / \{h\bar{h}2\bar{h}1\}$



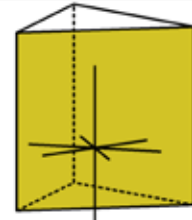
$\{hk0\} / \{hki0\}$



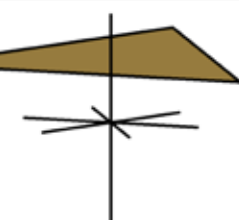
$\{100\} / \{10\bar{1}0\}$



$\{110\} / \{11\bar{2}0\}$



$\{001\} / \{0001\}$



## Mineral-Bsp.:

Susannite  $Pb_4[(SO_4)/(CO_3)_2/(OH)_2]$

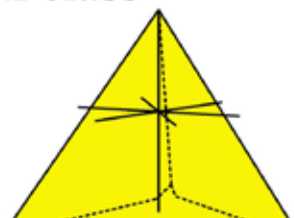
Carlinit  $TlS_2$

Bleigermanat(Tieftemp.Modifikation)  $Pb_5Ge_3O_{11}$

# Trigonal crystal system

Hemimorphy of trig. Tetartoedry    Symbol: 3 or C<sub>3</sub>  
 Trigonal pyramidal class

General form:  
 $\{hkl\} / \{hkil\}$



Trigonal pyramid III. pos.



$\{h0l\} / \{h0\bar{h}l\}$	$\{hh\bar{l}\} / \{hh\bar{2}h\bar{l}\}$	$\{hk0\} / \{hki0\}$
 Trig. Pyramid I.pos.	 Trig. Pyramid II.pos.	 Trig. Prism III.pos.
$\{100\} / \{10\bar{1}0\}$	$\{110\} / \{11\bar{2}0\}$	$\{001\} / \{0001\}$
 Trig. Prism I.pos.	 Trig. Prism II.pos.	 Basispedia

## mineral examples:

Susannite  $Pb_4[(SO_4)/(CO_3)_2/(OH)_2]$

Carlinit TlS<sub>2</sub>

Lead germanate (low-temperature modification)  $Pb_5Ge_3O_{11}$

# Trigonales Kristallsystem

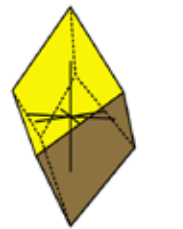
Hexagonal-trapezoedrische

Tetartoedrie

Trigonal-trapezoedrische Klasse

Symbol: 32 oder  $D_3$

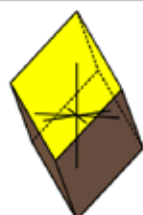
Allgemeine Form:  
 $\{hkl\} / \{hkil\}$



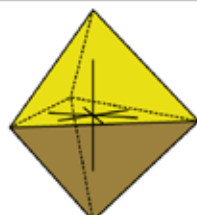
Trig. Trapezoeder



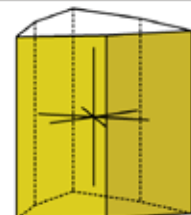
$\{h0l\} / \{h0\bar{h}l\}$	$\{hh\bar{l}\} / \{h\bar{h}2\bar{h}l\}$	$\{hk0\} / \{hki0\}$
----------------------------	---	----------------------



Rhomboeder I.St.

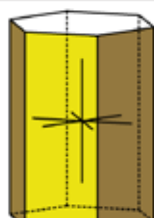


Trig. Diyramiden II.St.

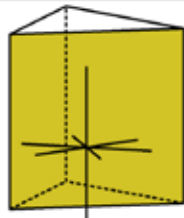


Ditrig. Prismen II.St.

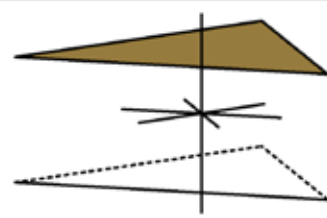
$\{100\} / \{10\bar{1}0\}$	$\{110\} / \{11\bar{2}0\}$	$\{001\} / \{0001\}$
----------------------------	----------------------------	----------------------



Hex. Prisma I.St.



Trig. Prismen II.St.



Basispinakoid

**Mineral-Bsp.:**

Zinnober/Cinnabarit  $HgS$

Tiefquarz  $SiO_2$

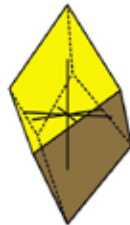
Selen  $Se$

Tellur  $Te$

# Trigonal crystal system

Hexagonal trapezohedral tetartoedry  
Trigonal trapezohedral Class      Symbol: 32 or D<sub>3</sub>

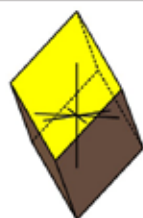
General form:  
 $\{hkl\} / \{hkil\}$



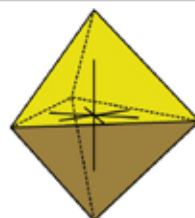
Trig. Trapezohedron



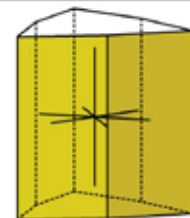
$\{h0l\} / \{h0\bar{h}l\}$	$\{hh\bar{l}\} / \{hh\bar{2}\bar{h}l\}$	$\{hk0\} / \{hki0\}$
----------------------------	---	----------------------



Rhombohedron I.pos.

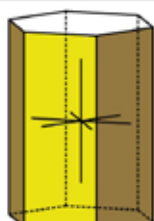


Trig. Bipyramid II.pos.

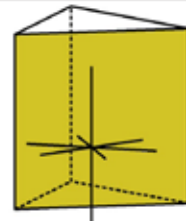


Ditrig. Prism II.pos.

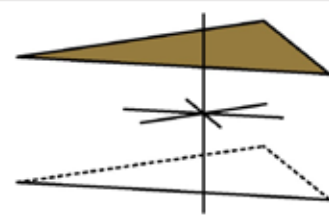
$\{100\} / \{10\bar{1}0\}$	$\{110\} / \{11\bar{2}0\}$	$\{001\} / \{0001\}$
----------------------------	----------------------------	----------------------



Hex. Prism I.pos.



Trig. Prism II.pos.



Basispinacoid

## mineral examples:

Cinnabar HgS

Quartz SiO<sub>2</sub>

Selenium Se

Tellurium Te

# Trigonales Kristallsystem

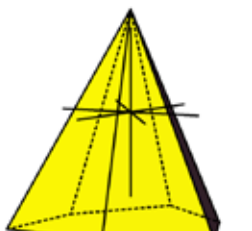
Hemimorphie d. rhomboedrischen

Hemiedrie

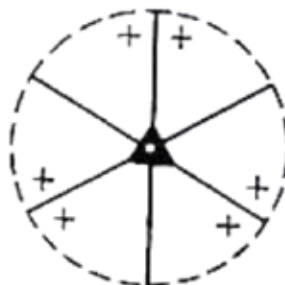
Ditrigonal-pyramidal Klasse

Symbol: 3m oder C<sub>3v</sub>

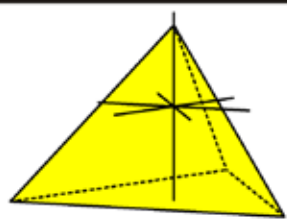
Allgemeine Form:  
 $\{hkl\} / \{hk\bar{l}\}$



Ditrig. Pyramiden I.St.

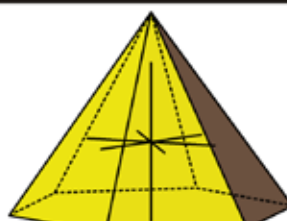


$\{h0l\} / \{h0\bar{h}l\}$



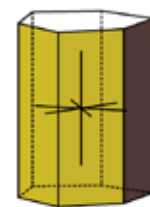
Trig. Pyramiden I.St.

$\{hh\bar{l}\} / \{hh\bar{2}h\bar{l}\}$



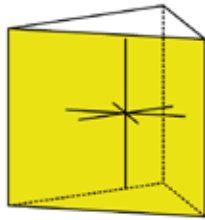
Hex. Pyramiden II.St.

$\{hk0\} / \{hki0\}$



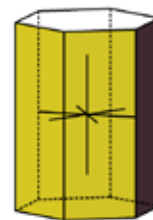
Ditrig. Prismen II.St.

$\{100\} / \{10\bar{1}0\}$



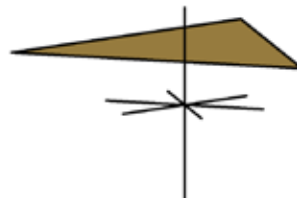
Trig. Prismen I.St.

$\{110\} / \{11\bar{2}0\}$



Hex. Prisma II.St.

$\{001\} / \{0001\}$



Basispedien

## Mineral-Bsp.:

Turmalin (X)(Y<sub>3</sub>)(Z<sub>6</sub>)[Si<sub>6</sub>O<sub>18</sub>/(BO<sub>3</sub>)<sub>3</sub>/(V<sub>3</sub>)(W)]

Proustit Ag<sub>3</sub>AsS<sub>3</sub>

Lithiumniobat LiNbO<sub>3</sub>

# Trigonal pyramidal class

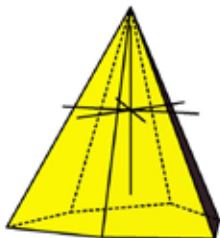
Hemimorphy of rhomboedric

hemidry

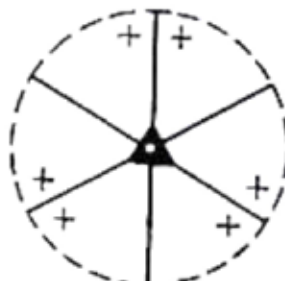
Ditrigonal-pyramidal class

Symbol: 3m or  $C_{3v}$

General form:  
 $\{hkl\} / \{hkil\}$



Ditrig. Pyramid I.pos.



$\{h0l\} / \{h0\bar{h}l\}$	$\{hh\bar{l}\} / \{hh2\bar{h}l\}$	$\{hk0\} / \{hki0\}$
 <u>Trig. Pyramid I.pos.</u>	 <u>Hex. Pyramid II.pos.</u>	 <u>Ditrig. Prism II.pos.</u>

$\{100\} / \{10\bar{1}0\}$	$\{110\} / \{11\bar{2}0\}$	$\{001\} / \{0001\}$
 <u>Trig. Prism I.pos.</u>	 <u>Hex. Prisma II.pos.</u>	 <u>Basispedite</u>

## mineral examples:

Tourmaline (X)(Y<sub>3</sub>)(Z<sub>6</sub>)[Si<sub>6</sub>O<sub>18</sub>/(BO<sub>3</sub>)<sub>3</sub>/(V<sub>3</sub>)(W)]

Proustite Ag<sub>3</sub>AsS<sub>3</sub>

Lithium niobate LiNbO<sub>3</sub>

# Trigonales Kristallsystem

Hexagonal-rhomboedrische  
Tetartoedrie  
Rhomboedrische Klasse

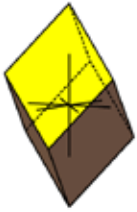
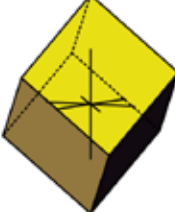
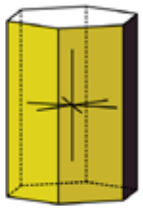
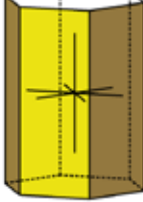
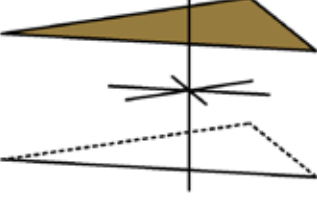
Allgemeine Form:  
 $\{hkl\} / \{hkil\}$



Rhomboeder III.St.

Symbol:  $\bar{3}$  oder  $C_{3i}$



$\{h0l\} / \{h0\bar{h}l\}$	$\{hh\bar{l}\} / \{hh2\bar{h}l\}$	$\{hk0\} / \{hki0\}$
		
<u>Rhomboeder I.St.</u>	<u>Rhomboeder II.St.</u>	<u>Hex. Prismen II.St.</u>
$\{100\} / \{10\bar{1}0\}$	$\{110\} / \{11\bar{2}0\}$	$\{001\} / \{0001\}$
		
<u>Hex. Prisma I.St.</u>	<u>Hex. Prisma II.St.</u>	<u>Basispinakoid</u>

## Mineral-Bsp.:

Dolomit  $\text{CaMg}[(\text{CO}_3)_2]$

Dioptas  $\text{Cu}[\text{Si}_6\text{O}_{18}]$

Phenakit  $\text{Be}_2\text{SiO}_4$

# Trigonal crystal system

Hexagonal-rhomboedral  
tetartoedry  
Rhombohedral class

General form:  
 $\{hkl\} / \{hkil\}$



Rhombohedron III.pos.

Symbol:  $\bar{3}$  or  $C_{3i}$



$\{h0l\} / \{h0\bar{h}l\}$	$\{hh\bar{l}\} / \{hh\bar{2}hl\}$	$\{hk0\} / \{hki0\}$
<u>Rhombohedron I.pos.</u>	<u>Rhombohedron II.pos.</u>	<u>Hex. Prism II.pos.</u>
$\{100\} / \{10\bar{1}0\}$	$\{110\} / \{11\bar{2}0\}$	$\{001\} / \{0001\}$
<u>Hex. Prism I.pos.</u>	<u>Hex. Prism II.pos.</u>	<u>Basispinacoid</u>

## mineral examples:

Dolomite  $\text{CaMg}[(\text{CO}_3)_2]$

Dioptase  $\text{Cu}[\text{Si}_6\text{O}_{18}]$

Phenakite  $\text{Be}_2\text{SiO}_4$

# Trigonales Kristallsystem

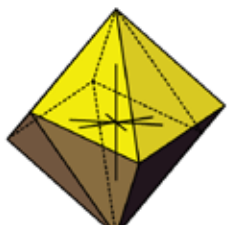
Hexagonal-rhomboedrische

Hemiedrie

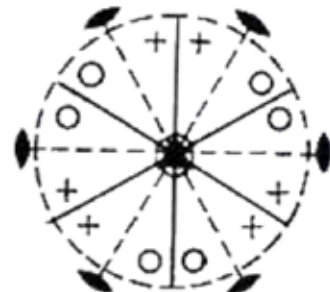
Ditrigonal-skalenoedrische Klasse

Symbol:  $\bar{3}$  2/m oder  $D_{3d}$   
 $(\bar{3}m)$

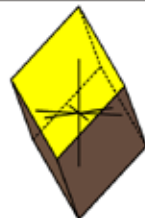
Allgemeine Form:  
 $\{hkl\} / \{hkil\}$



Ditrig. Skalenoeder

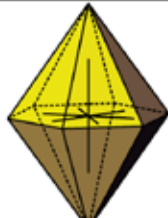


$\{h0l\} / \{h0\bar{h}l\}$



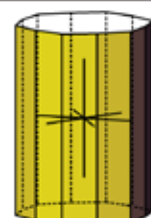
Rhomboeder I.St.

$\{hh\bar{l}\} / \{hh\bar{2}h\bar{l}\}$



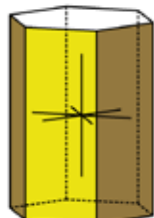
Hex. Dipyramiden II.St.

$\{hk0\} / \{hki0\}$



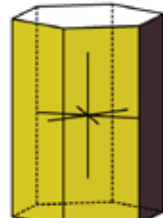
Dihex. Prismen

$\{100\} / \{10\bar{1}0\}$



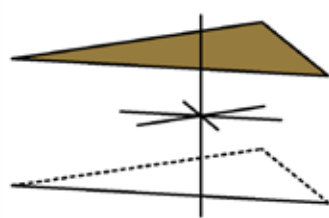
Hex. Prisma I.St.

$\{110\} / \{11\bar{2}0\}$



Hex. Prisma II.St.

$\{001\} / \{0001\}$



Basispinakoid

## Mineral-Bsp.:

Calcit  $\text{CaCO}_3$

Siderit  $\text{FeCO}_3$

Korund  $\text{Al}_2\text{O}_3$

Rhodochrosit  $\text{MnCO}_3$

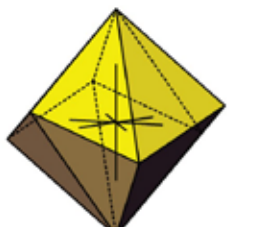
Hämatit  $\text{Fe}_2\text{O}_3$

# Trigonal crystal system

Hexagonal-rhombohedral  
hemiedry  
Ditrigonal-scalenochedral class

Symbol:  $\bar{3}$  2/m or  $D_{3d}$   
 $(\bar{3}m)$

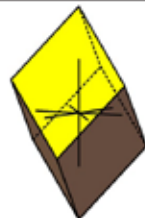
General form:  
 $\{hkl\} / \{hkil\}$



Ditrig. Scalenohedron

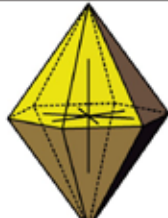


$\{h0l\} / \{h0\bar{h}l\}$



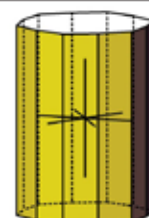
Rhombohedron I.pos.

$\{hh\bar{l}\} / \{hh\bar{2}h\bar{l}\}$



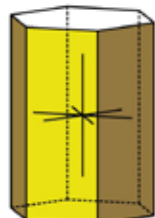
Hex. Dipyramid II.pos.

$\{hk0\} / \{hki0\}$



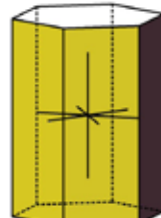
Dihex. Prism

$\{100\} / \{10\bar{1}0\}$



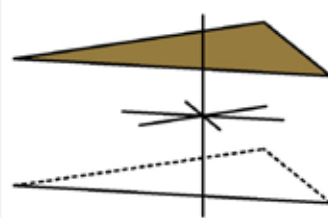
Hex. Prism I.pos.

$\{110\} / \{11\bar{2}0\}$



Hex. Prisma II.pos.

$\{001\} / \{0001\}$



Basispinacoid

## mineral examples:

Calcite  $\text{CaCO}_3$       Siderite  $\text{FeCO}_3$

Corundum  $\text{Al}_2\text{O}_3$       Rhodochrosite  $\text{MnCO}_3$

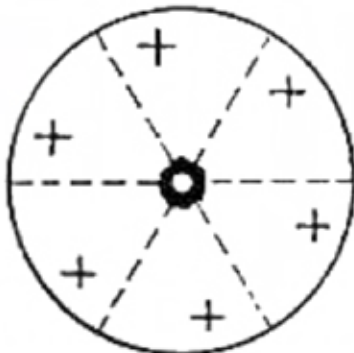
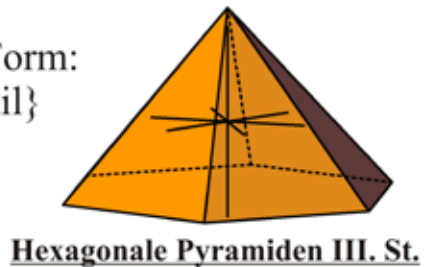
Hematite  $\text{Fe}_2\text{O}_3$

# Hexagonales Kristallsystem

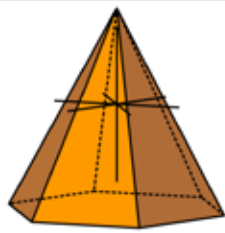
Hexagonale Tetartoedrie  
Hexagonal-pyramidale Klasse

Symbol: 6 oder C<sub>6</sub>

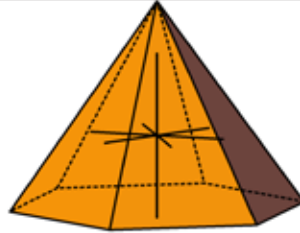
Allgemeine Form:  
 $\{hkl\} / \{hkil\}$



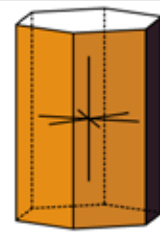
$\{h0l\} / \{h0\bar{l}\}$



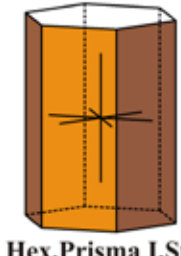
$\{hh\bar{l}\} / \{hh2\bar{h}l\}$



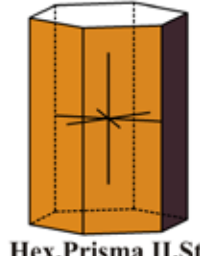
$\{hk0\} / \{hki0\}$



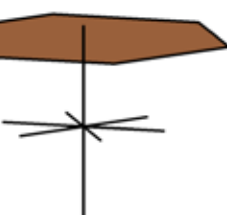
$\{100\} / \{10\bar{1}0\}$



$\{110\} / \{11\bar{2}0\}$



$\{001\} / \{0001\}$



## Mineral-Bsp.:

Lithiumiodat  $\alpha\text{-LiIO}_3$

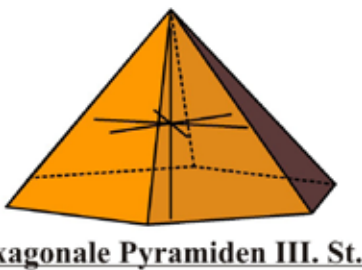
Nephelin  $(\text{Na},\text{K})[\text{AlSiO}_4]$

Thaumasit  $\text{Ca}_3[\text{SO}_4/\text{CO}_3/\text{Si(OH)}_6]*12\text{H}_2\text{O}$

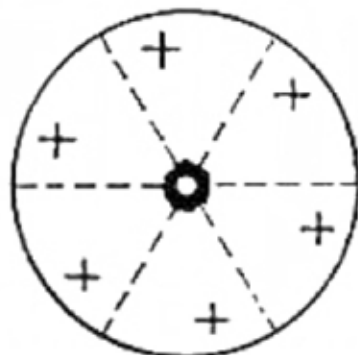
# Hexagonal crystal system

Hexagonal tetartoedry  
Hexagonal-pyramidal class

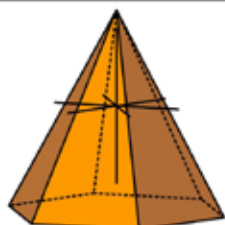
General form:  
 $\{hkl\} / \{hkil\}$



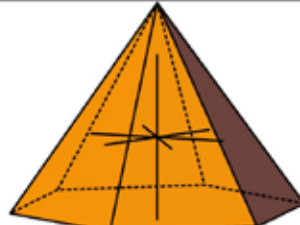
Symbol: 6 or C<sub>6</sub>



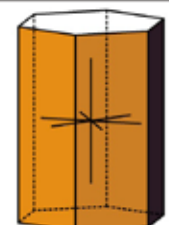
$\{h0l\} / \{h0\bar{l}\}$



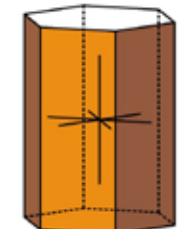
$\{hh\bar{l}\} / \{hh\bar{2}hl\}$



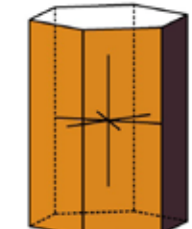
$\{hk0\} / \{hki0\}$



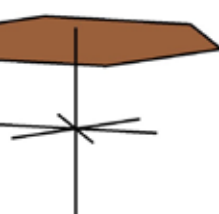
$\{100\} / \{10\bar{1}0\}$



$\{110\} / \{11\bar{2}0\}$



$\{001\} / \{0001\}$



## mineral examples:

Lithium iodate  $\alpha\text{-LiIO}_3$

Nepheline  $(\text{Na},\text{K})[\text{AlSiO}_4]$

Thaumasite  $\text{Ca}_3[\text{SO}_4/\text{CO}_3/\text{Si(OH)}_6]^*12\text{H}_2\text{O}$

# Hexagonales Kristallsystem

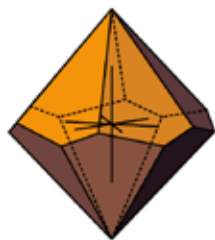
Hexagonal-trapezoedrische

Hemiedrie

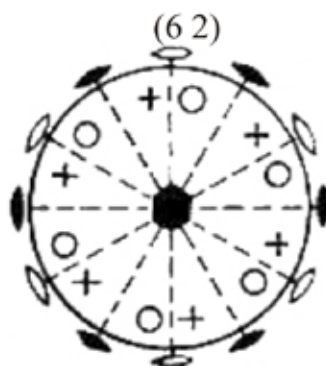
Hexagonal-trapezoedrische Klasse

Symbol: 622 oder  $D_6$

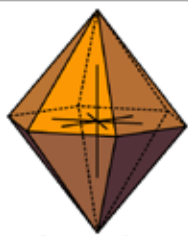
Allgemeine Form:  
 $\{hkl\} / \{hkil\}$



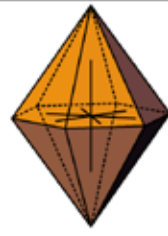
Hexagonaler Trapezoeder



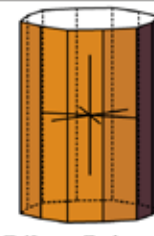
$\{h0l\} / \{h0\bar{l}\}$	$\{hh\bar{l}\} / \{h\bar{h}2\bar{l}\}$	$\{hk0\} / \{hki0\}$
---------------------------	--	----------------------



Hex.Dipyramiden I.St.

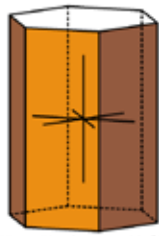


Hex. Dipyramiden II.St.

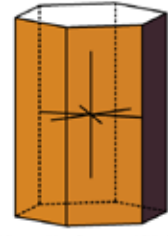


Dihex. Prismen

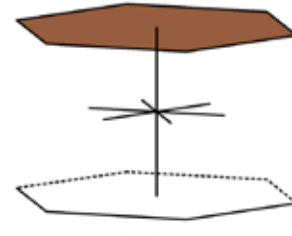
$\{100\} / \{10\bar{1}0\}$	$\{110\} / \{11\bar{2}0\}$	$\{001\} / \{0001\}$
----------------------------	----------------------------	----------------------



Hex.Prisma I.St.



Hex. Prisma II.St.



Basispinakoid

**Mineral-Bsp.:**

Hochquarz  $\text{SiO}_2$

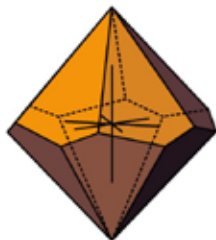
Virgilit  $\text{LiAlSi}_2\text{O}_6$

Rhabdophan  $(\text{Ce},\text{La})\text{PO}_4 \cdot \text{H}_2\text{O}$

# Hexagonal crystal system

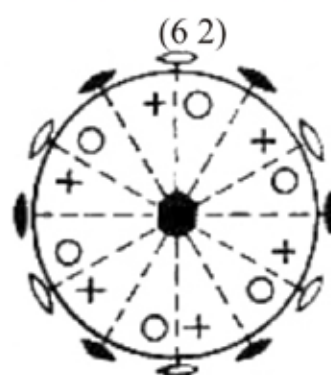
Hexagonal- trapezohedral  
hemidry  
Hexagonal-trapezohedral Class

General form:  
 $\{hkl\} / \{hkil\}$

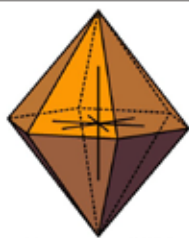


Hexagonal Trapezohedron

Symbol: 622 or  $D_6$

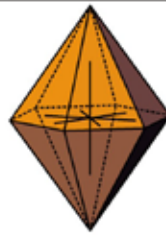


$\{h0l\} / \{h0\bar{l}\}$



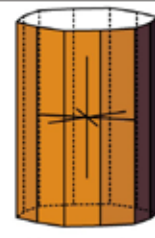
Hex.Dipyramid I.pos.

$\{hh\bar{l}\} / \{hh2\bar{l}\}$



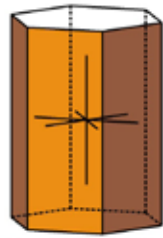
Hex. Dipyramid II.pos.

$\{hk0\} / \{hki0\}$



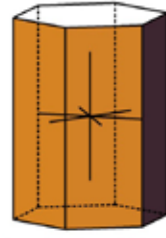
Dihex. Prism

$\{100\} / \{10\bar{1}0\}$



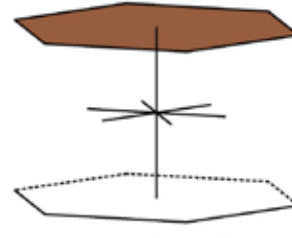
Hex.Prism I.St.

$\{110\} / \{11\bar{2}0\}$



Hex. Prism II.pos.

$\{001\} / \{0001\}$



Basispinacoid

## mineral examples:

Quartz-beta  $\text{SiO}_2$

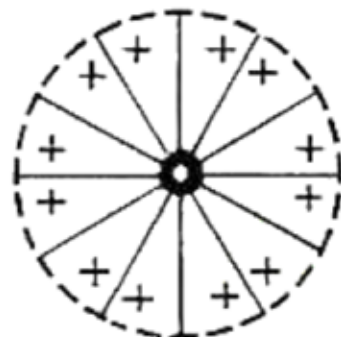
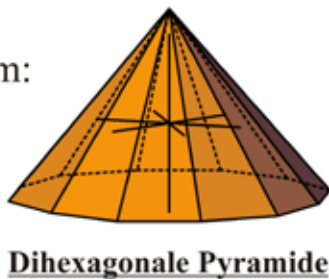
Virgilite  $\text{LiAlSi}_2\text{O}_6$

Rhabdophane  $(\text{Ce},\text{La})\text{PO}_4 * \text{H}_2\text{O}$

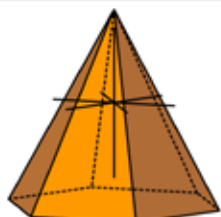
# Hexagonales Kristallsystem

Hexagonale Hemimorphie      Symbol: 6mm oder  $C_{6v}$   
 Dihexagonal-pyramidale Klasse

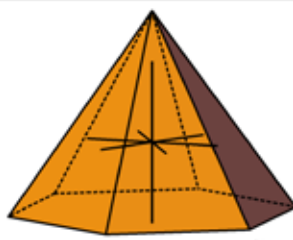
Allgemeine Form:  
 $\{hkl\} / \{hkil\}$



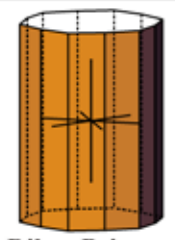
$\{h0l\} / \{h0\bar{l}\}$



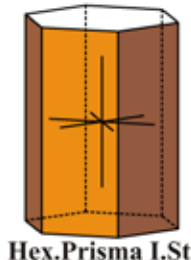
$\{hh\bar{l}\} / \{h\bar{h}2\bar{l}\}$



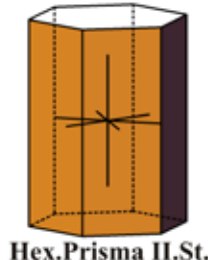
$\{hk0\} / \{hki0\}$



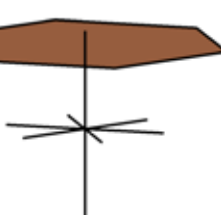
$\{100\} / \{10\bar{1}0\}$



$\{110\} / \{11\bar{2}0\}$



$\{001\} / \{0001\}$



## Mineral-Bsp.:

Wurzit ZnS

Zinkit ZnO

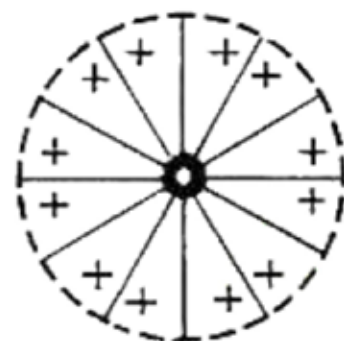
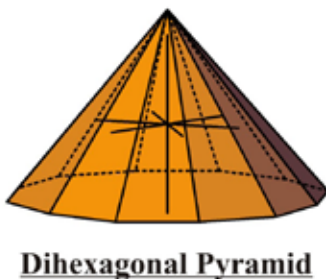
Greenockit CdS

# Hexagonal crystal system

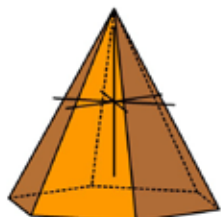
Hexagonal Hemimorphy  
Dihexagonal-pyramidal class

Symbol: 6mm or  $C_{6v}$

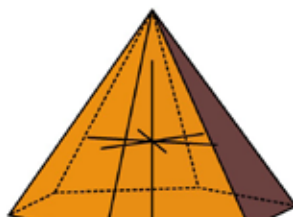
General form:  
 $\{hkl\} / \{hkil\}$



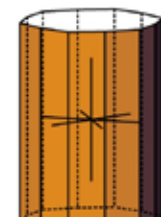
$\{h0l\} / \{h0\bar{l}\}$



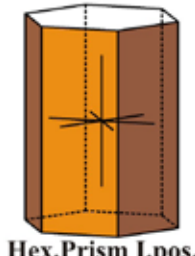
$\{hh\bar{l}\} / \{hh2\bar{h}l\}$



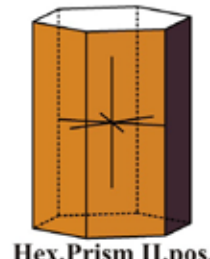
$\{hk0\} / \{hki0\}$



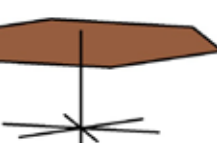
$\{100\} / \{10\bar{1}0\}$



$\{110\} / \{11\bar{2}0\}$



$\{001\} / \{0001\}$



## mineral examples:

Wurzite ZnS

Zincite ZnO

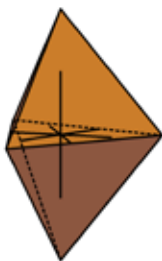
Greenockite CdS

# Hexagonales Kristallsystem

Trigonale Tetartoedrie

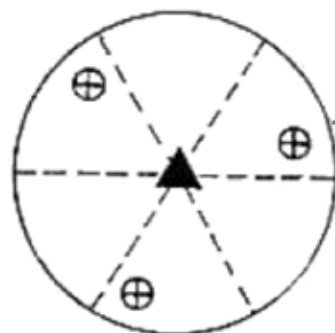
Trigonal-dipyramidal Klasse

Allgemeine Form:  
 $\{hkl\} / \{hkil\}$

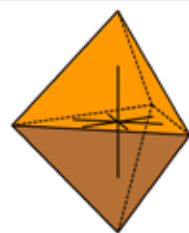


Trig. Dipyramiden III.St.

Symbol:  $\bar{6}$  oder  $C_{3h}$

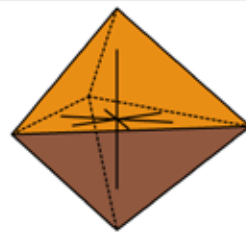


$\{h0l\} / \{h0\bar{l}\}$



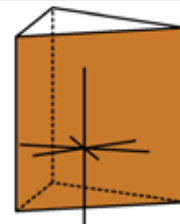
Trig. Dipyramiden I.St.

$\{hh\bar{l}\} / \{h\bar{h}2\bar{l}\}$



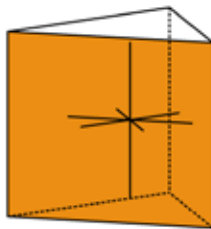
Trig. Dipyramiden II.St.

$\{hk0\} / \{hki0\}$



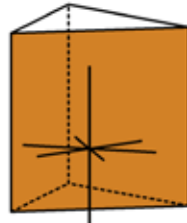
Trig. Prismen III.St.

$\{100\} / \{10\bar{1}0\}$



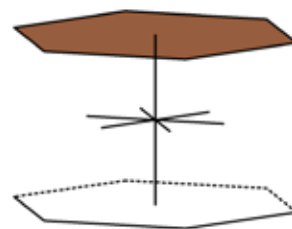
Trig. Prismen I.St.

$\{110\} / \{11\bar{2}0\}$



Trig. Prismen II.St.

$\{001\} / \{0001\}$



Basispinakoid

## Mineral-Bsp.:

Bleigermanat(Hochtemp.Modifikation)  $Pb_5[Ge_3O_{11}]$

Penfieldit  $Pb_2[Cl_3/OH]$

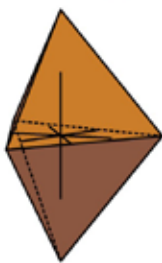
Ganomalit  $Pb_9Ca_5Mn[(Si_2O_7)_3/(SiO_4)_3]$

# Hexagonal crystal system

Trigonal tetartoedry

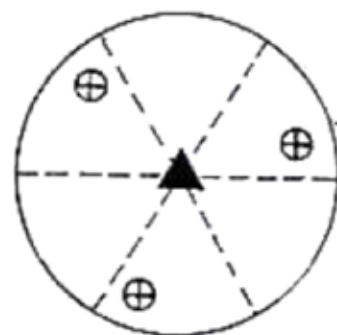
Trigonal-dipyramidal classe

General form:  
 $\{hkl\} / \{hkil\}$

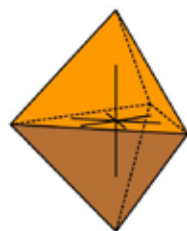


Trig. Dipyramid III.pos.

Symbol:  $\bar{6}$  or  $C_{3h}$

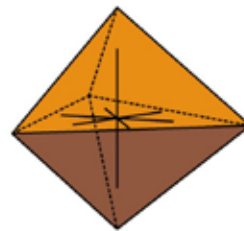


$\{h0l\} / \{h0\bar{l}\}$



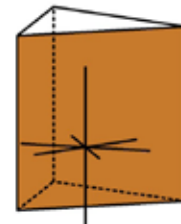
Trig. Dipyramid I.pos.

$\{hh\bar{l}\} / \{hh2\bar{h}l\}$



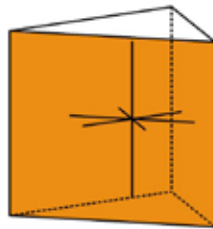
Trig. Dipyramid II.pos.

$\{hk0\} / \{hki0\}$



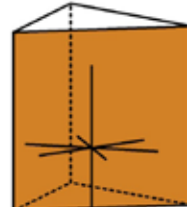
Trig. Prism III.pos.

$\{100\} / \{10\bar{1}0\}$



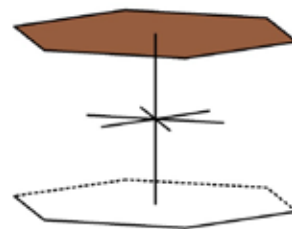
Trig. Prism I.pos.

$\{110\} / \{11\bar{2}0\}$



Trig. Prism II.pos.

$\{001\} / \{0001\}$



Basispinacoid

## mineral examples:

Lead germanate (Hightemp. Modification)  $Pb_5[Ge_3O_{11}]$

Penfieldite  $Pb_2[Cl_3/OH]$

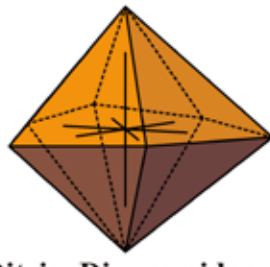
Ganomalite  $Pb_9Ca_5Mn[(Si_2O_7)_3/(SiO_4)_3]$

# Hexagonales Kristallsystem

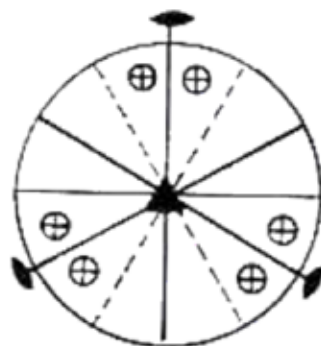
Trigonale Hemiedrie  
Ditrigonal-dipyramidal Klasse

Symbol:  $\bar{6}2m$  oder  $D_{3h}$

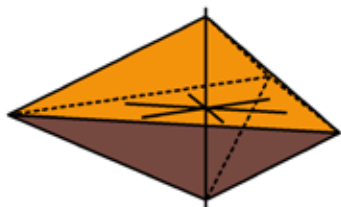
Allgemeine Form:  
 $\{hkl\} / \{hkil\}$



Ditrig. Dipyramiden

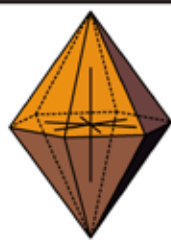


$\{h0l\} / \{h0\bar{l}\}$



Trig. Dipyramiden I.St.

$\{hh\bar{l}\} / \{hh2\bar{h}\bar{l}\}$



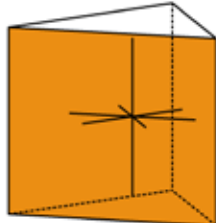
Hex. Dipyramiden II.St.

$\{hk0\} / \{hki0\}$



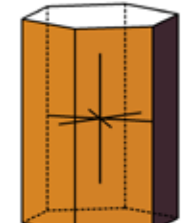
Ditrig. Prismen III.St.

$\{100\} / \{10\bar{1}0\}$



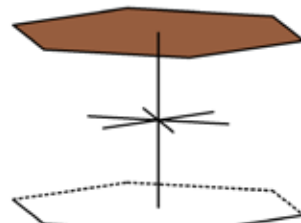
Trig. Prismen I.St.

$\{110\} / \{11\bar{2}0\}$



Hex. Prismen II.St.

$\{001\} / \{0001\}$



Basispinakoid

## Mineral-Bsp.:

Benitoit  $\text{BaTi}[\text{Si}_3\text{O}_9]$

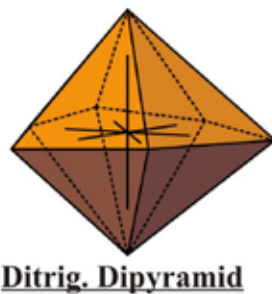
Belkovit  $\text{Ba}_3(\text{Nb}, \text{Ti})_6(\text{Si}_2\text{O}_7)_2\text{O}_{12}$

# Hexagonal crystal system

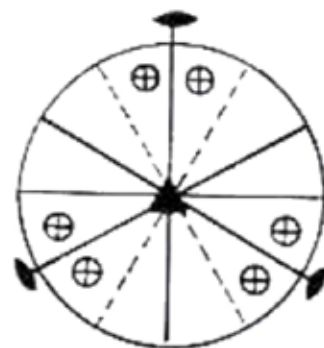
Trigonal Hemiedry  
Ditrigonal-dipyramidal class

Symbol:  $\bar{6}2m$  or  $D_{3h}$

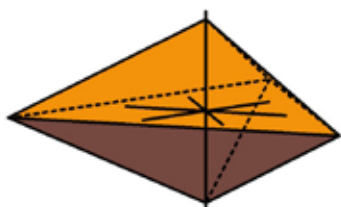
General form:  
 $\{hkl\} / \{hkil\}$



Ditrig. Dipyramid

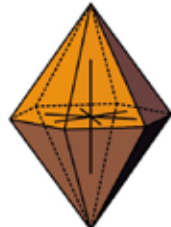


$\{h0l\} / \{h0\bar{l}\}$



Trig. Dipyramid I.pos.

$\{hh\ell\} / \{hh\bar{2}hl\}$



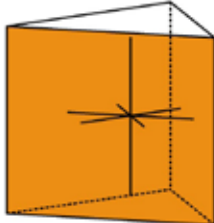
Hex. Dipyramid II.pos.

$\{hk0\} / \{hki0\}$



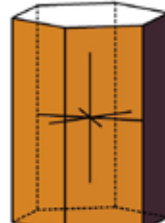
Ditrig. Prism III.pos.

$\{100\} / \{10\bar{1}0\}$



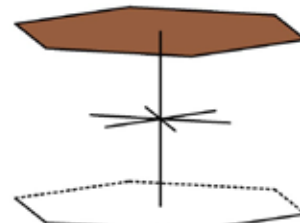
Trig. Prism I.pos.

$\{110\} / \{11\bar{2}0\}$



Hex. Prism II.pos.

$\{001\} / \{0001\}$



Basispinacoid

## mineral examples:

Benitoite  $\text{BaTi}[\text{Si}_3\text{O}_9]$

Belkovite  $\text{Ba}_3(\text{Nb},\text{Ti})_6(\text{Si}_2\text{O}_7)_2\text{O}_{12}$

# Hexagonales Kristallsystem

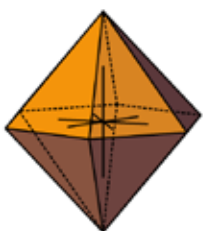
Hexagonal-pyramide

Hemiedrie

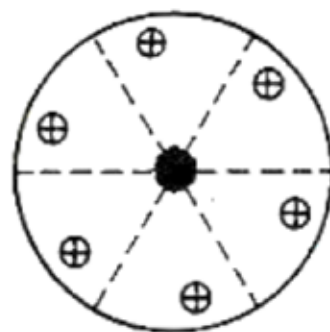
Hexagonal-dipyramidale Klasse

Symbol: 6/m oder  $C_{6v}$

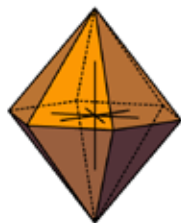
Allgemeine Form:  
 $\{hkl\} / \{hkil\}$



Hexagonale Dipyramide III.St.

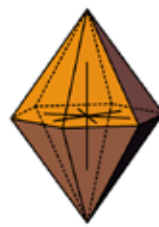


$\{h0l\} / \{h0\bar{l}\}$



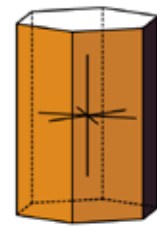
Hex.Dipyramiden I.St.

$\{hh\bar{l}\} / \{hh2\bar{h}l\}$



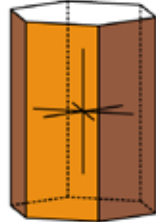
Hex. Dipyramiden II.St.

$\{hk0\} / \{hki0\}$



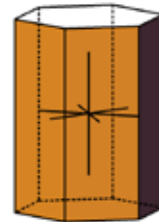
Hex.Prismen III.St.

$\{100\} / \{10\bar{1}0\}$



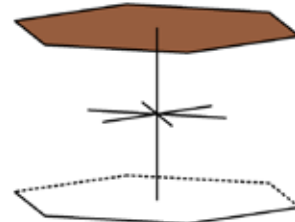
Hex.Prisma I.St.

$\{110\} / \{11\bar{2}0\}$



Hex.Prisma II.St.

$\{001\} / \{0001\}$



Basispinakoid

## Mineral-Bsp.:

Apatit (Ca,Ba,Pb,Sr,etc.)<sub>5</sub>[ $(PO_4,CO_3)_3/(F,Cl,OH)$ ]

Pyromorphit Pb<sub>5</sub>[ $(PO_4)_3/Cl$ ]

Vanadinit Pb<sub>5</sub>[ $(VO_4)_3/Cl$ ]

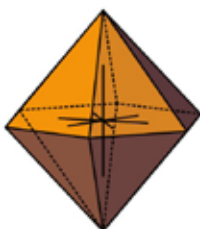
# Hexagonal crystal system

Hexagonal-pyramidal Hemiedry

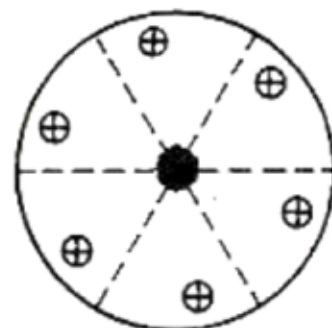
Hexagonal-dipyramidal class

Symbol: 6/m or C<sub>6v</sub>

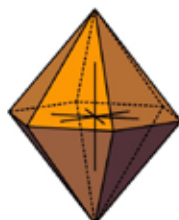
General form:  
 $\{hkl\} / \{hkil\}$



Hexagonal Dipyramid III.pos.

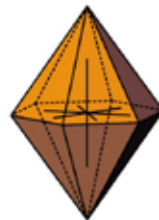


$\{h0l\} / \{h0\bar{l}\}$



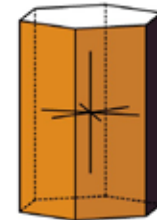
Hex.Dipyramid I.pos.

$\{hh\bar{l}\} / \{hh2\bar{h}l\}$



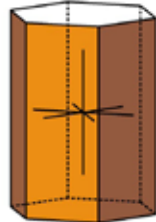
Hex. Dipyramid II.pos.

$\{hk0\} / \{hki0\}$



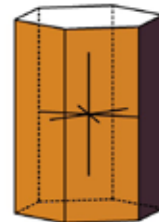
Hex.Prism III.pos.

$\{100\} / \{10\bar{1}0\}$



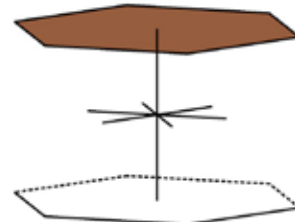
Hex.Prism I.pos.

$\{110\} / \{11\bar{2}0\}$



Hex.Prism II.pos.

$\{001\} / \{0001\}$



Basispinacoid

## mineral examples:

Apatite (Ca,Ba,Pb,Sr,etc.)<sub>5</sub>[ (PO<sub>4</sub>,CO<sub>3</sub>)<sub>3</sub>/(F,Cl,OH)]

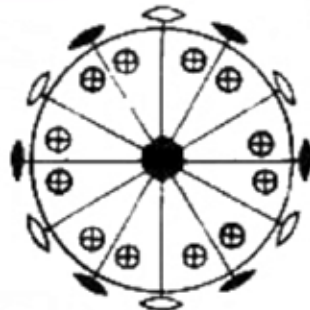
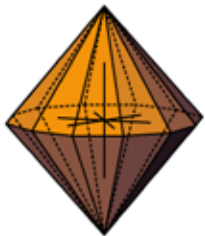
Pyromorphite Pb<sub>5</sub>[(PO<sub>4</sub>)<sub>3</sub>/Cl]

Vanadinite Pb<sub>5</sub>[(VO<sub>4</sub>)<sub>3</sub>/Cl]

# Hexagonales Kristallsystem

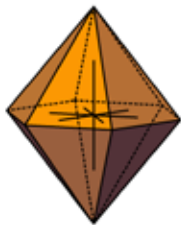
Hexagonale Holoedrie      Symbol: 6/mmm oder  $D_{6h}$   
 Dihexagonal-dipyramidal Klasse      (6/m 2/m 2/m)

Allgemeine Form:  
 $\{hkl\} / \{hkil\}$



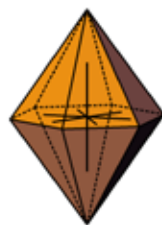
Dihexagonal Dipyramiden

$\{h0l\} / \{h0\bar{l}\}$



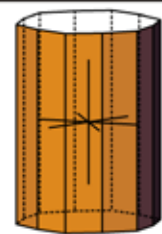
Hex.Dipyramiden I.St.

$\{hh\bar{l}\} / \{hh2\bar{l}\}$



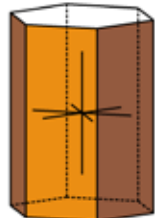
Hex.Dipyramiden II.St.

$\{hk0\} / \{hki0\}$



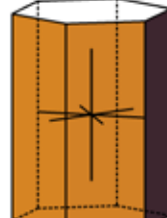
Dihex. Prismen

$\{100\} / \{10\bar{1}0\}$



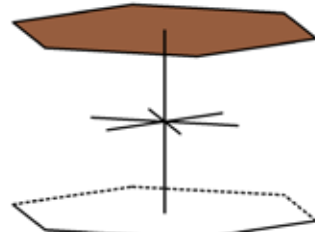
Hex.Prisma I.St.

$\{110\} / \{11\bar{2}0\}$



Hex.Prisma II.St.

$\{001\} / \{0001\}$



Basispinakoid

## Mineral-Bsp.:

Beryll  $Be_3Al_2[Si_6O_{18}]$  Covellin CuS

Graphit C Eis  $H_2O$

Hochtridymit  $SiO_2$

# Hexagonal crystal system

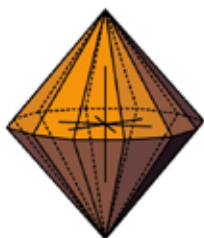
Hexagonal holoedry

Dihexagonal-dipyramidal class

Symbol: 6/mmm or  $D_{6h}$

(6/m 2/m 2/m)

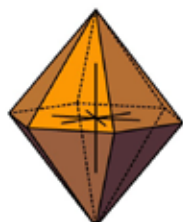
General form:  
 $\{hkl\} / \{hkil\}$



Dihexagonal Dipyramid

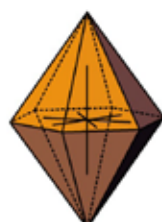


$\{h0l\} / \{h0\bar{l}\}$



Hex.Dipyramid I.pos.

$\{hh\bar{l}\} / \{hh2\bar{h}l\}$



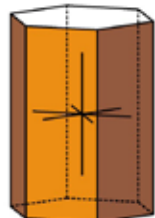
Hex.Dipyramid II.pos.

$\{hk0\} / \{hki0\}$



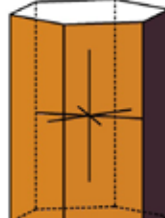
Dihex.Prism

$\{100\} / \{10\bar{1}0\}$



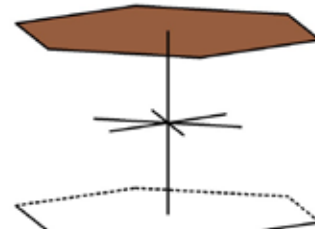
Hex.Prism I.pos.

$\{110\} / \{11\bar{2}0\}$



Hex.Prism II.pos.

$\{001\} / \{0001\}$



Basispinacoid

## mineral examples:

Beryl  $\text{Be}_3\text{Al}_2[\text{Si}_6\text{O}_{18}]$

Covellite  $\text{CuS}$

Graphite  $\text{C}$

Ice  $\text{H}_2\text{O}$

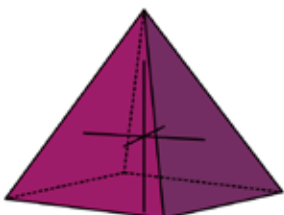
High tridymite  $\text{SiO}_2$

# Tetragonales Kristallsystem

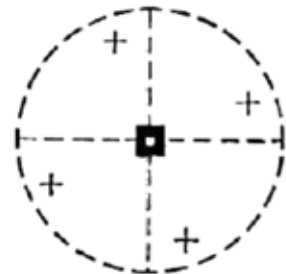
Hemimorphie d. tetragonal-pyramidalen Hemiedrie  
Tetragonal-pyramidale Klasse

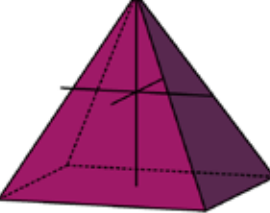
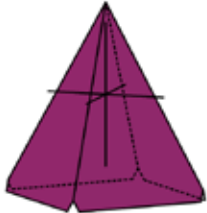
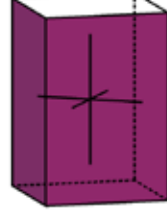
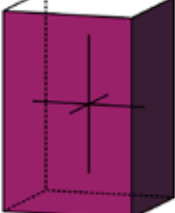
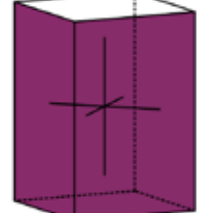
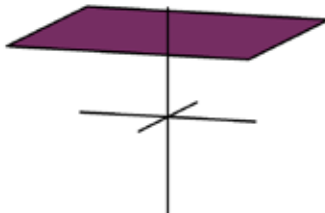
Symbol: 4 oder  $C_4$

Allgemeine Form:  
 $\{hkl\}$



Tetrag. Pyramiden III.St.



$\{h0l\}$	$\{hh\ell\}$	$\{hk0\}$
		
<u>Tetrag. Pyramiden II.St.</u>	<u>Tetrag. Pyramiden I.St.</u>	<u>Tetrag. Prismen III.St.</u>
$\{100\}$	$\{110\}$	$\{001\}$
		
<u>Tetrag. Prisma II.St.</u>	<u>Tetrag. Prisma I.St.</u>	<u>Basispedien</u>

## Mineral-Bsp.:

Piypite  $K_2Cu_2[O/(SO_4)_2]$

Pinnoite  $Mg[B_2O_4]*3H_2O$

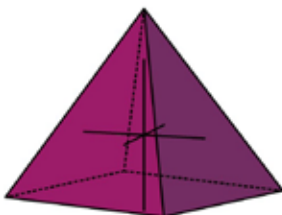
Perkleveite-(Ce)  $(Ce,La,Nd)_2[Si_2O_7]$

# Tetragonal crystal system

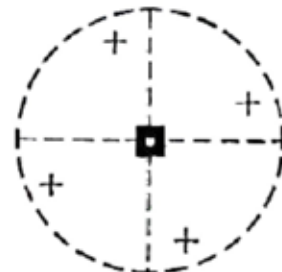
Hemimorphy of tetragonal -  
pyramidal hemiedry  
Tetragonal-pyramidal class

Symbol: 4 or C<sub>4</sub>

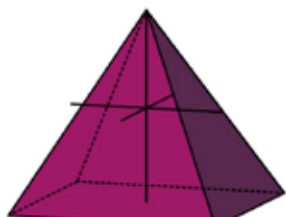
General form:  
 $\{hkl\}$



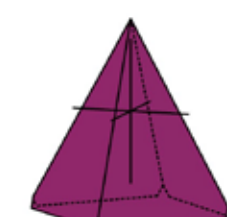
Tetrag. Pyramid III.pos.



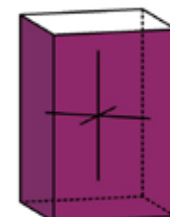
$\{h0l\}$	$\{hh\ell\}$	$\{hk0\}$
-----------	--------------	-----------



Tetrag. Pyramid II.pos.

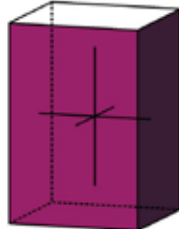


Tetrag. Pyramid I.pos.

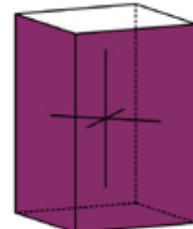


Tetrag. Prism III.pos.

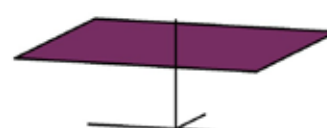
$\{100\}$	$\{110\}$	$\{001\}$
-----------	-----------	-----------



Tetrag. Prism II.pos.



Tetrag. Prism I.pos.



Basispedia

## mineral examples:

Piypite K<sub>2</sub>Cu<sub>2</sub>[O/(SO<sub>4</sub>)<sub>2</sub>]

Pinnoite Mg[B<sub>2</sub>O<sub>4</sub>]<sup>\*</sup>3H<sub>2</sub>O

Perkleveite-(Ce) (Ce,La,Nd)<sub>2</sub>[Si<sub>2</sub>O<sub>7</sub>]

# Tetragonales Kristallsystem

Tetragonal-trapezoedrische

Hemiedrie

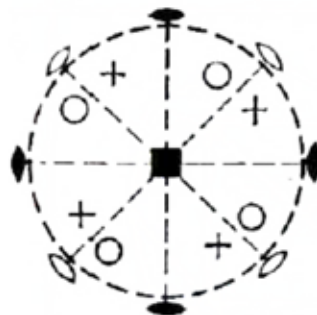
Tetragonal-trapezoedrische Klasse

Symbol: 422 oder  $D_4$

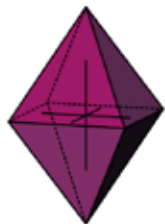
Allgemeine Form:  
 $\{hkl\}$



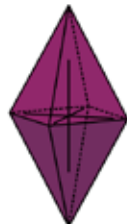
Tetrag. Trapezoeder



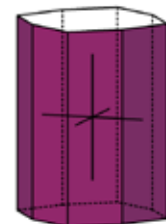
$\{h0l\}$	$\{hh\}$	$\{hk0\}$
-----------	----------	-----------



Tetrag. Dipyramiden II.St.

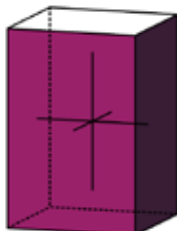


Tetrag. Dipyramiden I.St.

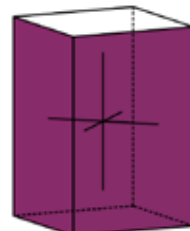


Ditetrag. Prismen

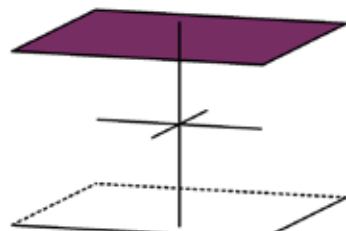
$\{100\}$	$\{110\}$	$\{001\}$
-----------	-----------	-----------



Tetrag. Prisma II.St.



Tetrag. Prisma I.St.



Basispinakoid

**Mineral-Bsp.:**

Retgersit  $\text{Ni}[\text{SO}_4]*6\text{H}_2\text{O}$

Maucherit  $\text{Ni}_{11}\text{As}_8$

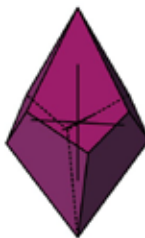
Cristobalit  $\text{SiO}_2$

# Tetragonal crystal system

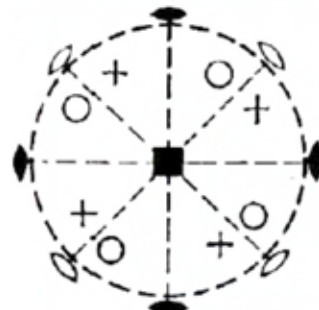
Tetragonal-trapezohedral hemiedry

Tetragonal-trapezohedral class      Symbol: 422 or  $D_4$

General form:  
 $\{hkl\}$



Tetrag. Trapezohedron



$\{h0l\}$



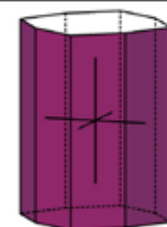
Tetrag. Dipyramid II.pos.

$\{hh\}$



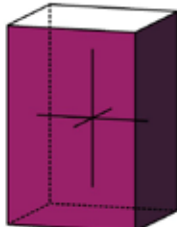
Tetrag. Dipyramid I.pos.

$\{hk0\}$



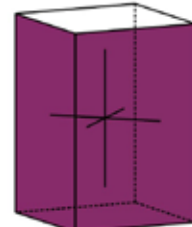
Ditetrag. Prism

$\{100\}$



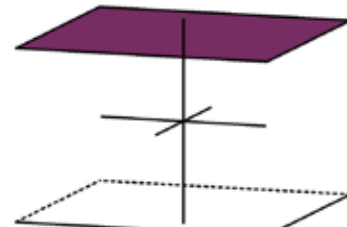
Tetrag. Prism II.pos.

$\{110\}$



Tetrag. Prism I.pos.

$\{001\}$



Basispinacoid

## mineral examples:

Retgersite  $\text{Ni}[\text{SO}_4]^*6\text{H}_2\text{O}$

Maucherite  $\text{Ni}_{11}\text{As}_8$

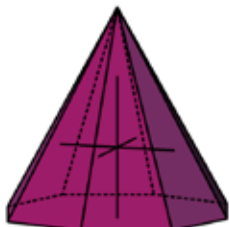
Cristobalite  $\text{SiO}_2$

# Tetragonales Kristallsystem

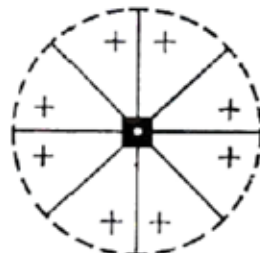
Hemimorphie d. tetragonalen  
Holoedrie  
Ditetragonal-pyramidal Klasse

Symbol: 4mm oder  $C_{4v}$

Allgemeine Form:  
 $\{hkl\}$



Ditetrag. Pyramiden



$\{h0l\}$	$\{hh\}$	$\{hk0\}$
 <u>Tetrag.Pyramiden II.St.</u>	 <u>Tetrag.Pyramiden I.St.</u>	 <u>Ditetrag. Prismen</u>

$\{100\}$	$\{110\}$	$\{001\}$
 <u>Tetrag.Prisma II.St.</u>	 <u>Tetrag.Prisma I.St.</u>	 <u>Basispedien</u>

## Mineral-Bsp.:

Diaboleit  $Pb_2Cu[Cl_2/(OH)_4]$

Macedonite  $PbTiO_3$

Nielsenite  $PdCu_3$

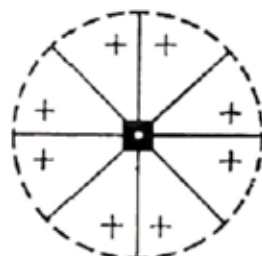
# Tetragonal crystal system

Hemimorphy of tetragonal  
holoedry

Symbol: 4mm or  $C_{4v}$

Ditetragonal-pyramidal class

General form:  
 $\{hkl\}$



$\{h0l\}$	$\{hh\}$	$\{hk0\}$
<u>Tetrag.Pyramid II.pos.</u>	<u>Tetrag.Pyramid I.pos.</u>	<u>Ditetrag. Prism</u>
$\{100\}$	$\{110\}$	$\{001\}$
<u>Tetrag.Prism II.pos.</u>	<u>Tetrag.Prism I.pos.</u>	<u>Basispedia</u>

## mineral examples:

Diaboleite  $Pb_2Cu[Cl_2/(OH)_4]$

Macedonite  $PbTiO_3$

Nielsenite  $PdCu_3$

# Tetragonales Kristallsystem

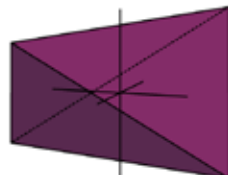
Tetragonal-sphenoidische

Tetartoedrie

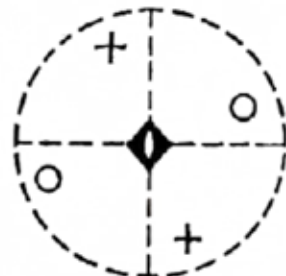
Tetragonal-disphenoidische Klasse

Symbol:  $\bar{4}$  oder  $S_4$

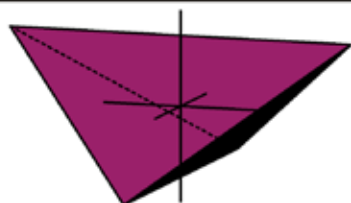
Allgemeine Form:  
 $\{hkl\}$



Tetrag. Disphenoide III.St.

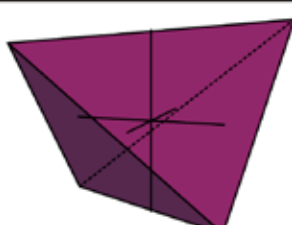


$\{h0l\}$



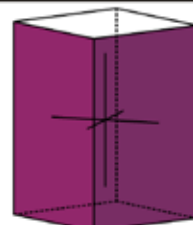
Tetrag. Disphenoide II.St.

$\{hh\ell\}$



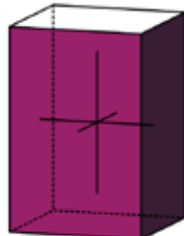
Tetrag. Disphenoide I.St.

$\{hk0\}$



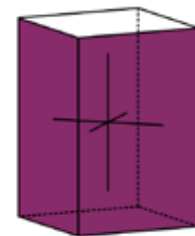
Tetrag. Prismen III.St.

$\{100\}$



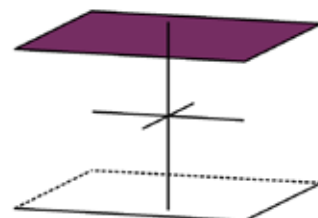
Tetrag. Prisma II.St.

$\{110\}$



Tetrag. Prisma I.St.

$\{001\}$



Basispinakoid

**Mineral-Bsp.:**

Cahnit  $\text{Ca}_2[\text{AsO}_4/\text{B}(\text{OH})_4]$

Tugtupit  $\text{Na}_8[(\text{AlBeSi}_4\text{O}_{12})_2/\text{Cl}_2]$

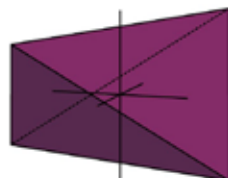
Schreibersit  $(\text{Fe}, \text{Ni})_3\text{P}$

# Tetragonal crystal system

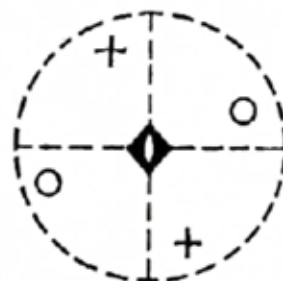
Tetragonal-sphenoidal tetartoedry

Tetragonal-disphenoidal class      Symbol:  $\bar{4}$  or  $S_4$

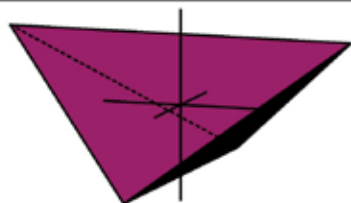
General form:  
 $\{hkl\}$



Tetrag. Disphenoid III.pos.

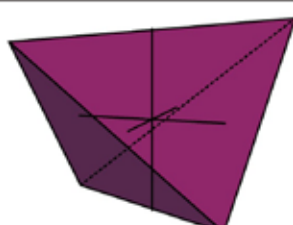


$\{h0l\}$



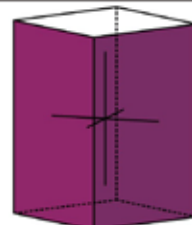
Tetrag. Disphenoid II.pos.

$\{hh\ell\}$



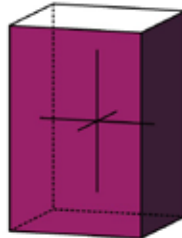
Tetrag. Disphenoid I.pos.

$\{hk0\}$



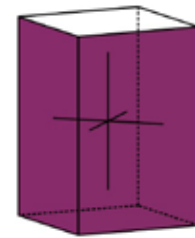
Tetrag. Prism III.pos.

$\{100\}$



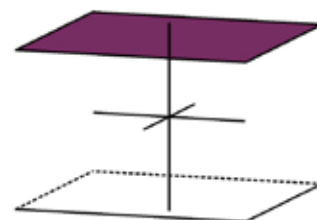
Tetrag. Prism II.pos.

$\{110\}$



Tetrag. Prism I.pos.

$\{001\}$



Basispinacoid

## mineral examples:

Cahnite  $\text{Ca}_2[\text{AsO}_4/\text{B}(\text{OH})_4]$

Tugtupite  $\text{Na}_8[(\text{AlBeSi}_4\text{O}_{12})_2/\text{Cl}_2]$

Schreibersite  $(\text{Fe}, \text{Ni})_3\text{P}$

# Tetragonales Kristallsystem

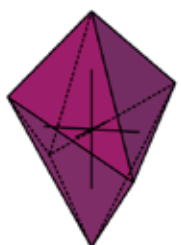
Tetragonal-sphenoidische

Hemiedrie

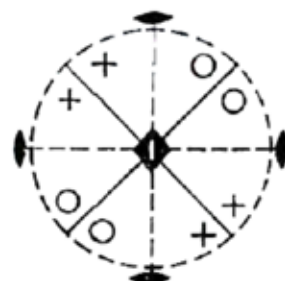
Tetragonal-skalenoedrische Klasse

Symbol:  $\bar{4}2m$  oder  $D_{2d}$

Allgemeine Form:  
 $\{hkl\}$



Tetrag. Skalenoeder



$\{h0l\}$	$\{hh\}$	$\{hk0\}$
<u>Tetrag. Dipyriderne II. St.</u>	<u>Tetrag. Disphenoid I. St.</u>	<u>Ditetrag. Prismen</u>
$\{100\}$	$\{110\}$	$\{001\}$
<u>Tetrag. Prisma II. St.</u>	<u>Tetrag. Prisma I. St.</u>	<u>Basispinakoid</u>

**Mineral-Bsp.:**

Chalkopyrit  $CuFeS_2$

Mooihoekite  $Cu_9Fe_9S_{16}$

Stannit  $Cu_2FeSnS_4$

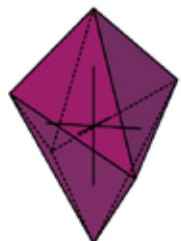
# Tetragonal crystal system

Tetragonal-sphenoidal hemiedry

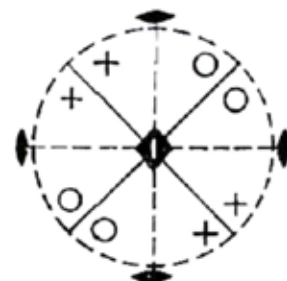
Tetragonal-scalenohedral class

Symbol:  $\bar{4}2m$  or  $D_{2d}$

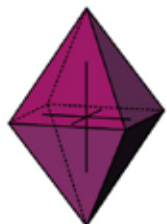
General form:  
 $\{hkl\}$



Tetrag. Scalenohedron

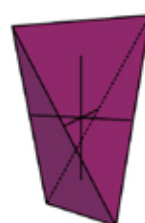


$\{h0l\}$



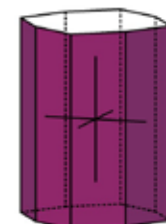
Tetrag. Dipyramid II.pos.

$\{hh\}$



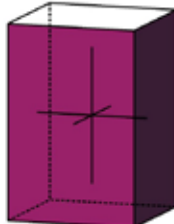
Tetrag. Disphenoid I.pos.

$\{hk0\}$



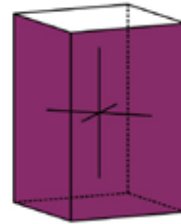
Ditetrag. Prism

$\{100\}$



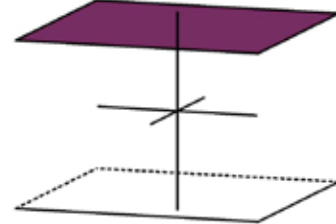
Tetrag. Prism II.pos.

$\{110\}$



Tetrag. Prism I.pos.

$\{001\}$



Basispinacoid

## mineral examples:

Chalkopyrite  $CuFeS_2$

Mooihoekite  $Cu_9Fe_9S_{16}$

Stannite  $Cu_2FeSnS_4$

# Tetragonales Kristallsystem

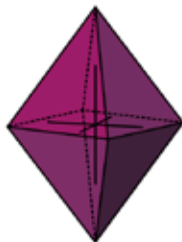
Tetragonal-dipyramidal

Hemiedrie

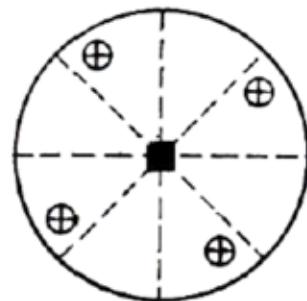
Tetragonal-dipyramidal Klasse

Symbol: 4/m oder  $C_{4h}$

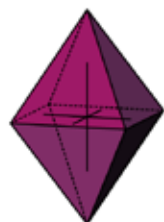
Allgemeine Form:  
 $\{hkl\}$



Tetrag.Dipyramiden III.St.



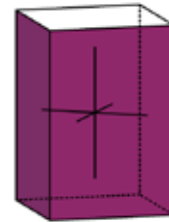
$\{h0l\}$	$\{hh\}$	$\{hk0\}$
-----------	----------	-----------



Tetrag.Dipyramiden II.St.

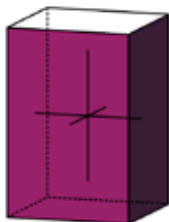


Tetrag.Dipyramiden I.St.

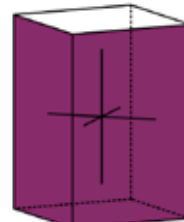


Tetrag.Prismen III.St.

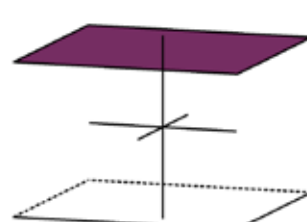
$\{100\}$	$\{110\}$	$\{001\}$
-----------	-----------	-----------



Tetrag.Prisma II.St.



Tetrag.Prisma I.St.



Basispinakoid

**Mineral-Bsp.:**

Scheelit  $\text{Ca}[\text{WO}_4]$

Vesuvian  $\text{Ca}_{19}(\text{Mg},\text{Fe},\text{Ti})_4\text{Al}_9[(\text{OH},\text{F})_{10}/(\text{SiO}_4)_{10}/(\text{Si}_2\text{O}_7)_4]$

Fergusonit  $\text{YNbO}_4$

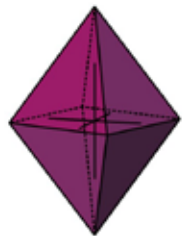
# Tetragonal crystal system

Tetragonal-dipyramidal hemidry

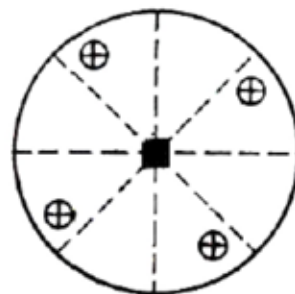
Tetragonal-dipyramidal class

Symbol: 4/m or  $C_{4h}$

General form:  
 $\{hkl\}$



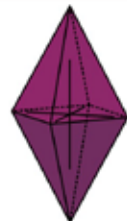
Tetrag.Dipyramid III.pos.



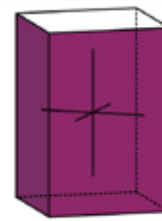
$\{h0l\}$	$\{hh1\}$	$\{hk0\}$
-----------	-----------	-----------



Tetrag.Dipyramid II.pos.

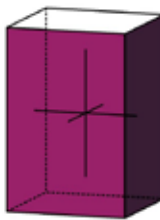


Tetrag.Dipyramid I.pos.

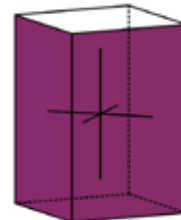


Tetrag.Prism III.pos.

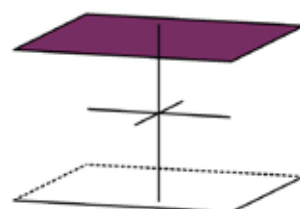
$\{100\}$	$\{110\}$	$\{001\}$
-----------	-----------	-----------



Tetrag.Prism II.pos.



Tetrag.Prism I.pos.



Basispinacoid

## mineral examples:

Scheelite  $\text{Ca}[\text{WO}_4]$

Vesuvianite  $\text{Ca}_{19}(\text{Mg},\text{Fe},\text{Ti})_4\text{Al}_9[(\text{OH},\text{F})_{10}/(\text{SiO}_4)_{10}/(\text{Si}_2\text{O}_7)_4]$

Fergusonite  $\text{YNbO}_4$

# Tetragonales Kristallsystem

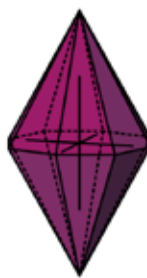
Tetragonale Holoedrie

Ditetragonal-dipyramidal  
Klasse

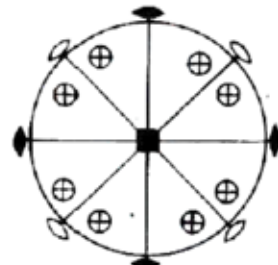
Symbol: 4/m 2/m 2/m

(4/m m m) oder  $D_{4h}$

Allgemeine Form:  
 $\{hkl\}$



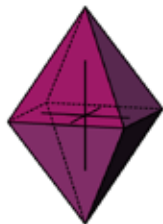
Ditetrag. Dipyramiden



{h0l}

{hhl}

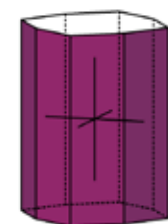
{hk0}



Tetrag.Dipyramiden II.St.



Tetrag.Dipyramiden I.St.

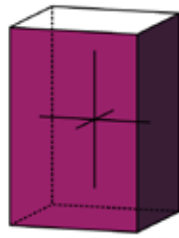


Ditetrag.Prismen

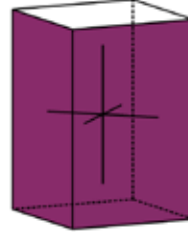
{100}

{110}

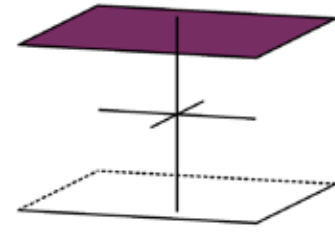
{001}



Tetrag.Prisma II.St.



Tetrag.Prisma I.St.



Basispinakoid

**Mineral-Bsp.:**

Rutil  $TiO_2$

Anatas  $TiO_2$

Zirkon  $Zr[SiO_4]$

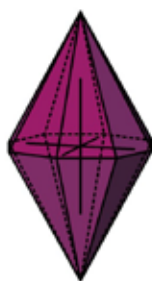
# Tetragonal crystal system

Tetragonal holoedry

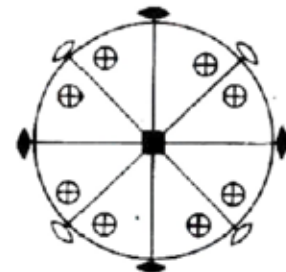
Ditetragonal-dipyramidal  
class

Symbol:  $4/m\ 2/m\ 2/m$   
 $(4/m\ m\ m)$  or  $D_{4h}$

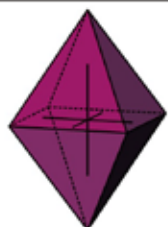
General form:  
 $\{hkl\}$



Ditetrag. Dipyramid



$\{h0l\}$



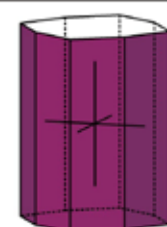
Tetrag.Dipyramid II.pos.

$\{hh\ell\}$



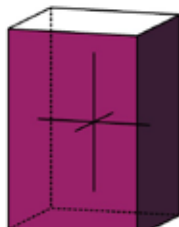
Tetrag.Dipyramid I.pos.

$\{hk0\}$



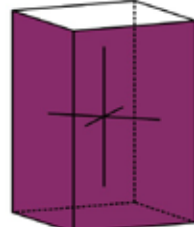
Ditetrag.Prism

$\{100\}$



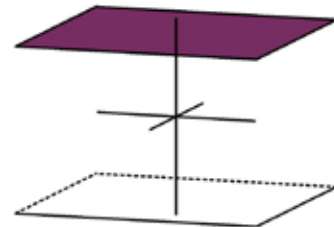
Tetrag.Prism II.pos.

$\{110\}$



Tetrag.Prism I.pos.

$\{001\}$



Basispinacoid

## mineral examples:

Rutile  $TiO_2$

Anatase  $TiO_2$

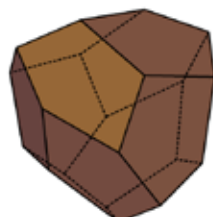
Zircon  $Zr[SiO_4]$

# Kubisches Kristallsystem

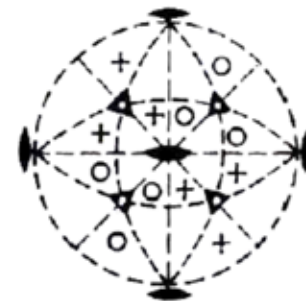
Kubische Tetartoedrie  
Tetraedisch-pentagon-  
doekaedrische Klasse

Symbol: 23 oder T

Allgemeine Form:  
 $\{hkl\}$



Tetraedr.Pentagondodekaeder



$\{hll\}$	$\{hhl\}$	$\{hk0\}$
<u>Pyramidentetraeder</u>	<u>Deltoiddodekaeder</u>	<u>Pentagondodekaeder</u>
$\{111\}$	$\{110\}$	$\{100\}$
<u>Tetraeder</u>	<u>Rhombendodekaeder</u>	<u>Würfel/ Hexaeder</u>

## Mineral-Bsp.:

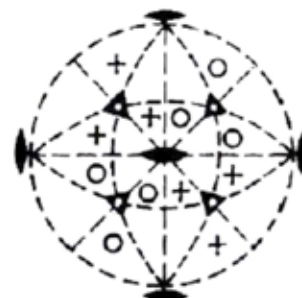
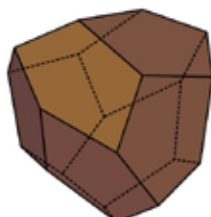
Langbeinit  $K_2Mg_2[(SO_4)_3]$   
Ullmannit NiSbS  
Gersdorffit NiAsS

# Cubic crystal system

Cubic Tetartoedry  
Tetrahedral-pentagon-  
dodecaedric class

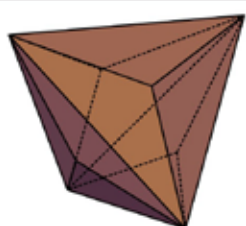
Symbol: 23 or T

General form:  
 $\{hkl\}$



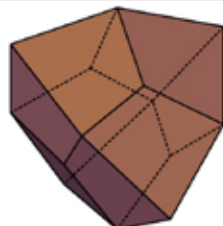
Tetrahedral Pentagondodecaeder

$\{hll\}$



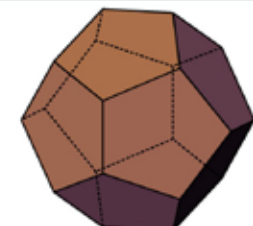
Pyramidal tetrahedron

$\{hh\ell\}$



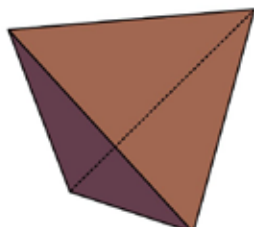
Deltoidal dodecahedron

$\{hk0\}$



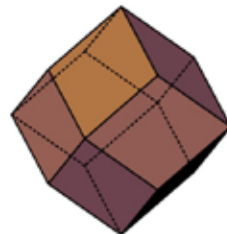
Pentagonal dodecaeder

$\{111\}$



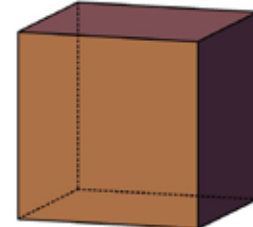
Tetrahedron

$\{110\}$



Rhombic dodecahedron

$\{100\}$



Cube/Hexahedron

## mineral examples:

Langbeinite  $K_2Mg_2[(SO_4)_3]$

Ullmannite NiSbS

Gersdorffite NiAsS

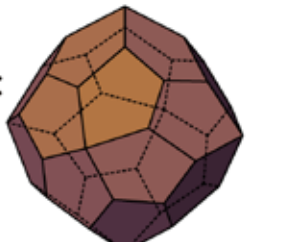
# Kubisches Kristallsystem

Gyroedrische Hemiedrie

Symbol: 432 oder O

Pentagonikositetraedrische Klasse

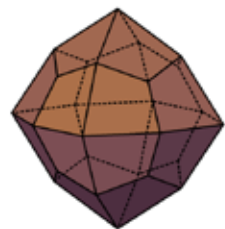
Allgemeine Form:  
 $\{hkl\}$



Pentagonikositetraeder

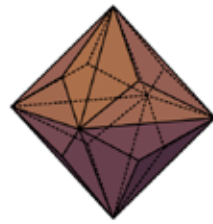


$\{hll\}$



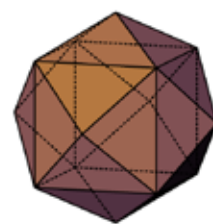
Deltoidikositetraeder

$\{hhl\}$



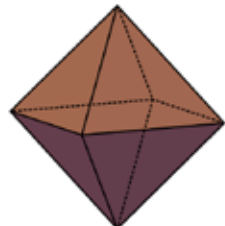
Pyramidenoktaeder

$\{hk0\}$



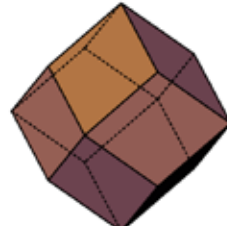
Pyramidenwürfel

$\{111\}$



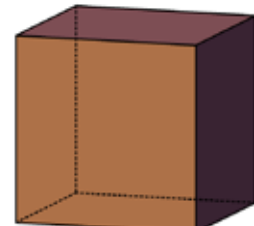
Oktaeder

$\{110\}$



Rhombendodekaeder

$\{100\}$



Würfel/ Hexaeder

**Mineral-Bsp.:**

Maghemit Gamma- $\text{Fe}_2\text{O}_3$

Choloalit  $\text{CuPb}[(\text{TeO}_3)_2]$

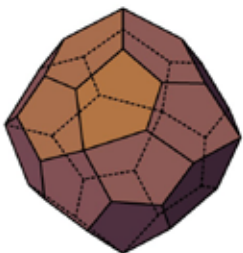
Petzit  $\text{Ag}_3\text{AuTe}_2$

# Cubic crystal system

Gyroedric hemiedry  
Pentagonal icositetrahedral class

Symbol: 432 or O

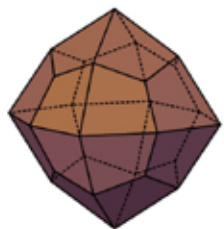
General form:  
 $\{hkl\}$



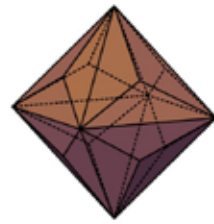
Pentagonal icositetrahedron



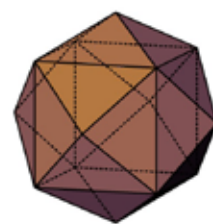
$\{hll\}$	$\{hhl\}$	$\{hk0\}$
-----------	-----------	-----------



Deltoidal icositetrahedron

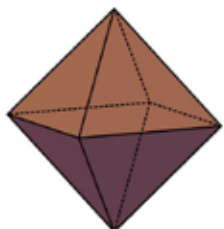


Pyramidal octahedron

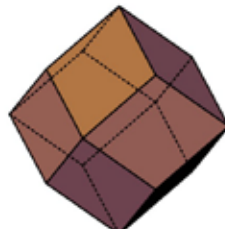


Pyramidal cube

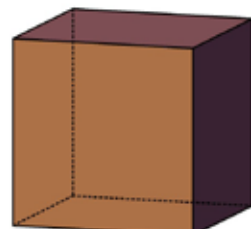
$\{111\}$	$\{110\}$	$\{100\}$
-----------	-----------	-----------



Octahedron



Rhombic dodecahedron



Cube/ Hexahedron

## mineral examples:

Maghemite Gamma- $\text{Fe}_2\text{O}_3$

Choloalite  $\text{CuPb}[(\text{TeO}_3)_2]$

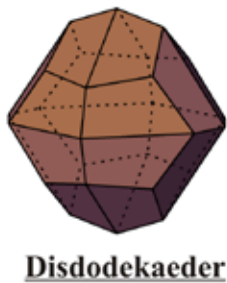
Petzite  $\text{Ag}_3\text{AuTe}_2$

# Kubisches Kristallsystem

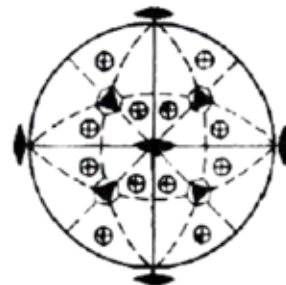
Parallelflächige Hemiedrie  
Disdodekaedrische Klasse

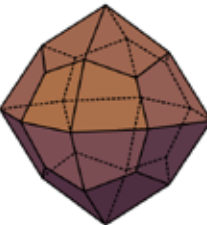
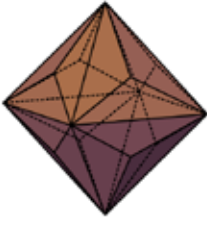
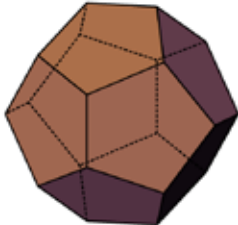
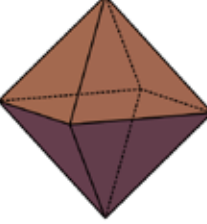
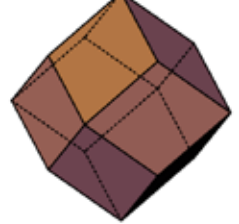
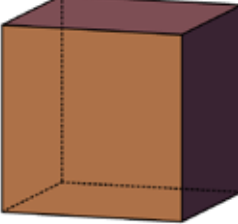
Symbol:  $2/m \bar{3}$  oder  $T_h$   
(m3)

Allgemeine Form:  
 $\{hkl\}$



Disdodekaeder



$\{hll\}$	$\{hhl\}$	$\{hk0\}$
		
<u>Deltoidikositetraeder</u>	<u>Pyramidenoktaeder</u>	<u>Pentagondodekaeder</u>
$\{111\}$	$\{110\}$	$\{100\}$
		
<u>Oktaeder</u>	<u>Rhombendodekaeder</u>	<u>Würfel/Hexaeder</u>

## Mineral-Bsp.:

Pyrit  $FeS_2$

Cobaltin  $CoAsS$

Alaune, z.B.  $KAl[SO_4]_2 \cdot 12H_2O$

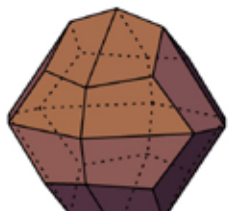
Bixbyit  $(Mn,Fe)_2O_3$

# Cubic crystal system

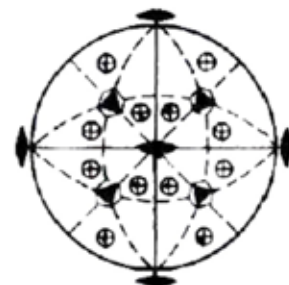
Parallel Hemidry  
Disdodecaedric class

Symbol:  $2/m \bar{3}$  or  $T_h$   
(m3)

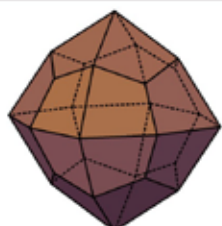
General form:  
 $\{hkl\}$



Disdodecahedron

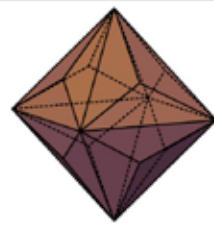


$\{hll\}$



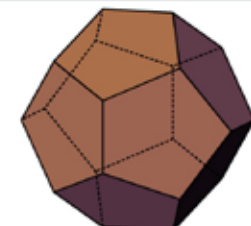
Deltoidal icositetrahedron

$\{hh0\}$



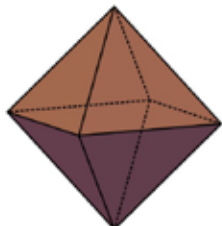
Pyramidal octahedron

$\{hk0\}$



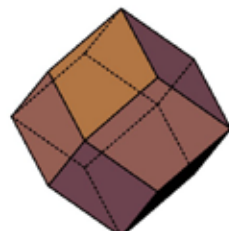
Pentagonal dodecahedron

$\{111\}$



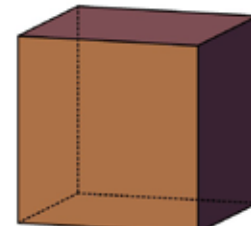
Octahedron

$\{110\}$



Rhombic dodecahedron

$\{100\}$



Cube/Hexahedron

## mineral examples:

Pyrite  $FeS_2$

Cobaltite  $CoAsS$

Alum, z.B.  $KAl[SO_4]_2 \cdot 12H_2O$

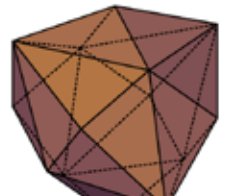
Bixbyite  $(Mn,Fe)_2O_3$

# Kubisches Kristallsystem

Geneigtflächige Hemiedrie  
Hexakistetraedrische Klasse

Symbol:  $\bar{4}3m$  oder  $T_d$

Allgemeine Form:  
 $\{hkl\}$



Hexakistetraeder



$\{hll\}$	$\{hhl\}$	$\{hk0\}$
<u>Pyramidal Tetraeder</u>	<u>Deltoiddodekaeder</u>	<u>Pyramidenwürfel</u>
$\{111\}$	$\{110\}$	$\{100\}$
<u>Tetraeder</u>	<u>Rhombendodekaeder</u>	<u>Würfel/ Hexaeder</u>

## Mineral-Bsp.:

Sphalerit/Zinkblende  $ZnS$

Tetraedrit  $(Cu,Fe)_{12}[Sb_4S_{13}]$

Sodalith  $Na_8[(Cl)_2(AlSiO_4)_6]$

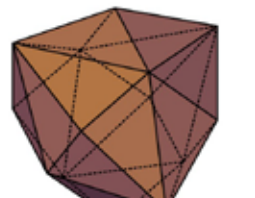
Mayenit  $Ca_{12}Al_{14}O_{33}$

# Cubic crystal system

Inclined Hemidry  
Hexacistetrahedral class

Symbol:  $\bar{4}3m$  or  $T_d$

General form:  
 $\{hkl\}$



**Hexacistetrahedron**



$\{hll\}$	$\{hh\ell\}$	$\{hk0\}$
<b>Pyramidal tetrahedron</b>	<b>Deltoidal dodecahedron</b>	<b>Pyramidal cube</b>
$\{111\}$	$\{110\}$	$\{100\}$
<b>Tetrahedron</b>	<b>Rhombic dodecahedron</b>	<b>Cube/Hexahedron</b>

## mineral examples:

Sphalerite/Zinc blende  $ZnS$

Tetrahedrite  $(Cu,Fe)_{12}[Sb_4S_{13}]$

Sodalite  $Na_8[(Cl)_2(AlSiO_4)_6]$

Mayenite  $Ca_{12}Al_{14}O_{33}$

# Kubisches Kristallsystem

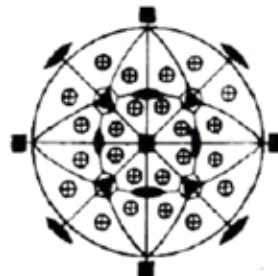
Kubische Holoedrie  
Hexakisoktaedrische Klasse

Symbol:  $4/m \bar{3} 2/m$  oder  $O_h$   
( $m\bar{3}m$ )

Allgemeine Form:  
 $\{hkl\}$



Hexakisoktaeder



$\{hll\}$	$\{hhl\}$	$\{hk0\}$
 <u>Deltoidikositetraeder</u>	 <u>Pyramidenoktaeder</u>	 <u>Pyramidenwürfel</u>

$\{111\}$	$\{110\}$	$\{100\}$
 <u>Oktaeder</u>	 <u>Rhombendodekaeder</u>	 <u>Würfel/Hexaeder</u>

## Mineral-Bsp.:

Elemente: Au, Ag, Cu, Pt,  
Pb, Fe, W, Si, C(Diamant)  
Halit/Steinsalz NaCl

Galenit/Bleiglanz PbS  
Fluorit/Flußspat CaF<sub>2</sub>  
Spinelle, z.B. MgAl<sub>2</sub>O<sub>4</sub>  
Granate Me<sup>II</sup><sub>3</sub>Me<sup>III</sup><sub>2</sub>[SiO<sub>4</sub>]<sub>3</sub>

# Cubic crystal system

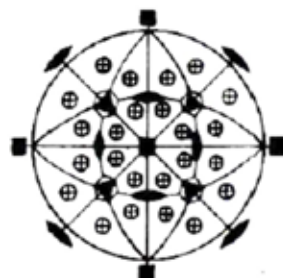
Cubic holoedry  
Disdyakis dodecahedral class

Symbol:  $4/m \bar{3} 2/m$  or  $O_h$   
( $m\bar{3}m$ )

General form:  
 $\{hkl\}$



Disdyakis dodecahedron



$\{hll\}$	$\{hhl\}$	$\{hk0\}$
<u>Deltoidal icositetrahedron</u>	<u>Pyramidal octahedron</u>	<u>Pyramidal cubic</u>
$\{111\}$	$\{110\}$	$\{100\}$
<u>Octahedron</u>	<u>Rhombic dodecahedron</u>	<u>Cube/Hexahedron</u>

## mineral examples:

Elements: Au, Ag, Cu, Pt,  
Pb, Fe, W, Si, C(Diamond)  
Halite/ Rock salt NaCl

Galena /Lead glance PbS  
Fluorite/Flusse  $\text{CaF}_2$   
Spinel, z.B.  $\text{MgAl}_2\text{O}_4$   
Garnet  $\text{Me}^{\text{II}}_3\text{Me}^{\text{III}}_2[\text{SiO}_4]_3$

## **Beipiele für korrelate Kristallformen**

**Formenausbildung**

**Positiv - Negativ**

**Rechts - Links**

**Oben - Unten**

**Vorn - Hinten**

## Examples for correlate crystall forms

Crystal forms

Positive - Negative

Right - Left

Up - Down

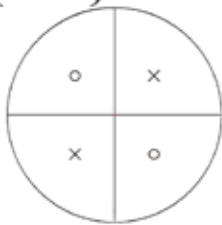
Front - Above

# Kubisches Kristallsystem

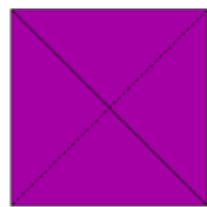
Tetraeder  $\{\overline{1}\overline{1}\}$



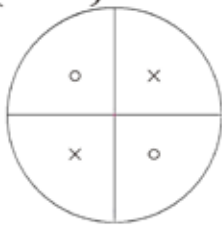
negativ



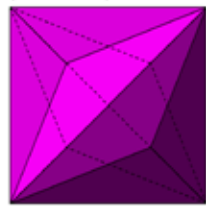
Tetraeder  $\{111\}$



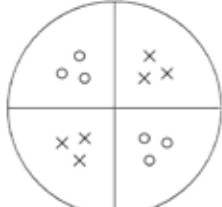
positiv



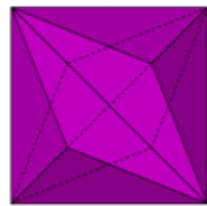
Pyramidentetraeder  
 $\{2\overline{2}3\}$



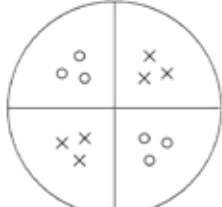
positiv



Pyramidentetraeder  
 $\{\overline{2}\overline{2}3\}$



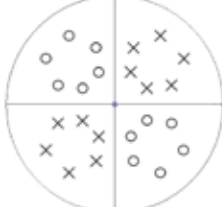
negativ



Hexakistetraeder  
 $\{123\}$



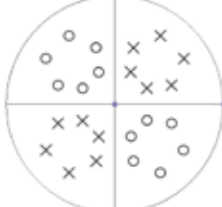
positiv



Hexakistetraeder  
 $\{\overline{1}\overline{2}\overline{3}\}$



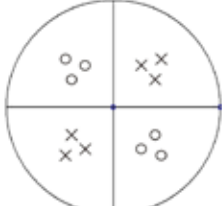
negativ



Deltoiddodekaeder  
 $\{3\overline{3}2\}$



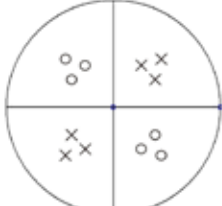
positiv



Deltoiddodekaeder  
 $\{\overline{3}\overline{3}\overline{2}\}$

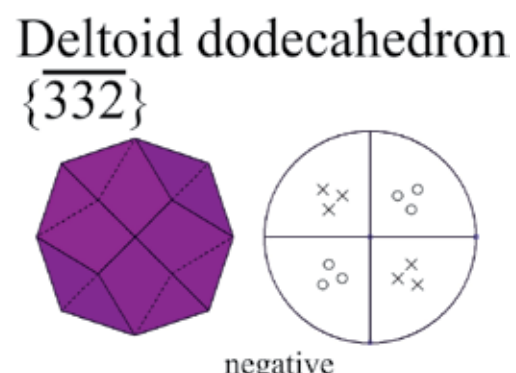
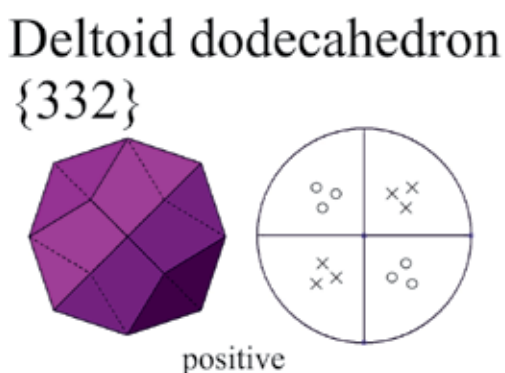
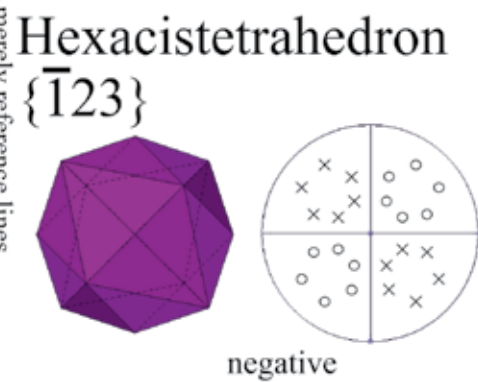
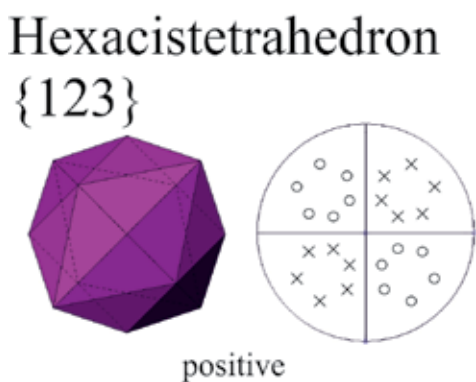
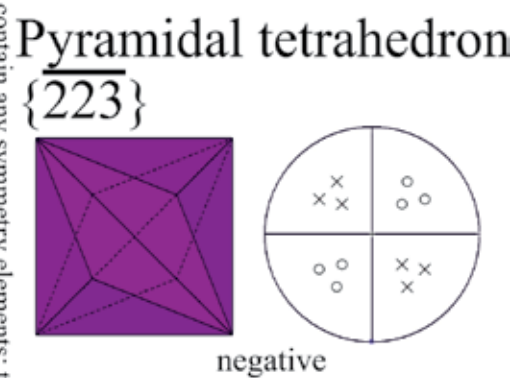
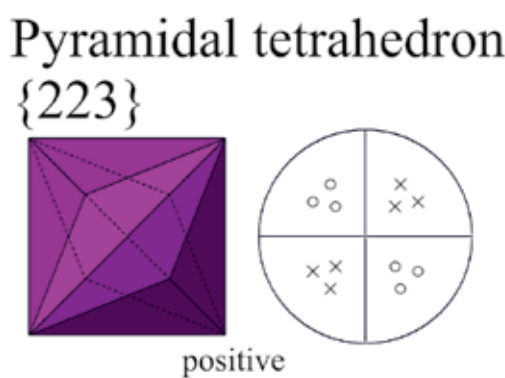
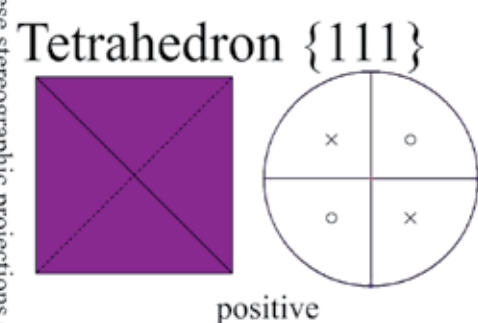
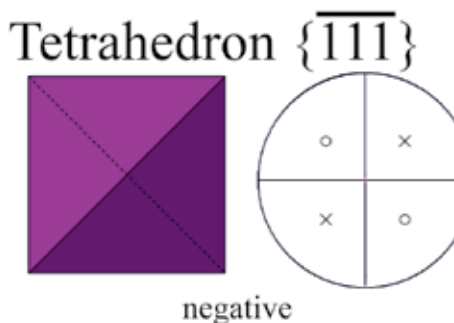


negativ



Diese stereographischen Projektionen beinhalten keinerlei Symmetrieelemente, es handelt sich hier lediglich um Bezugslinien

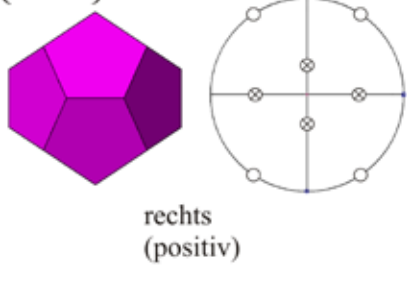
# Cubic crystal system



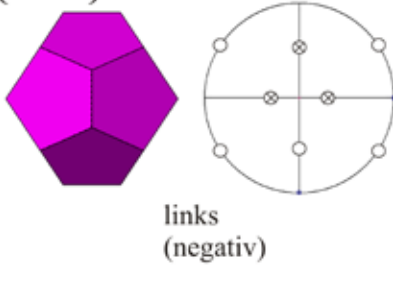
These stereographic projections do not contain any symmetry elements; they are merely reference lines

# Kubisches Kristallsystem

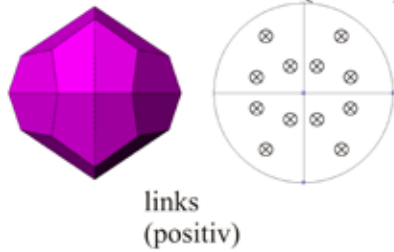
Pentagondodekaeder  
 $\{230\}$



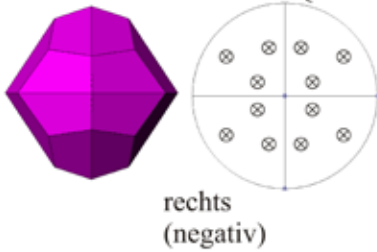
Pentagondodekaeder  
 $\{320\}$



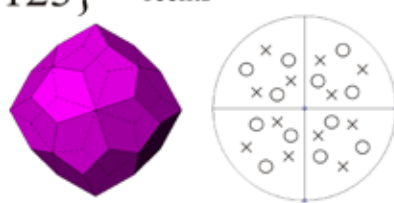
Disdodekaeder  $\{213\}$



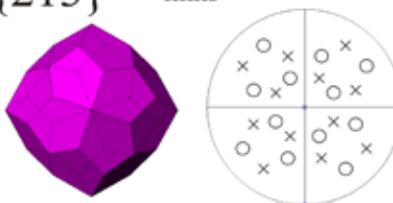
Disdodekaeder  $\{123\}$



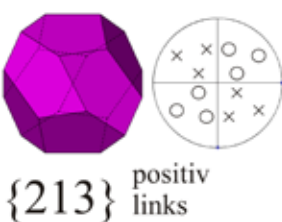
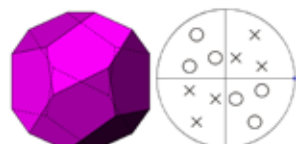
Pentagonikositetraeder  
 $\{123\}$



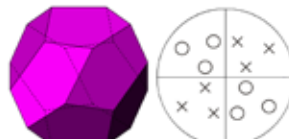
Pentagonikositetraeder  
 $\{213\}$



$\{\bar{1}23\}$  negativ  
 rechts



$\{\bar{2}13\}$  negativ  
 links

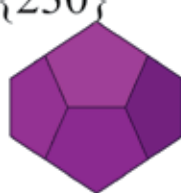


Diese stereographischen Projektionen beinhalten keinerlei Symmetrieelemente, es handelt sich hier lediglich um Bezugslinien

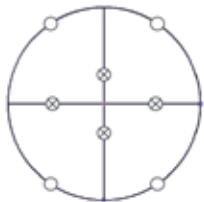
# Cubic crystal system

Pentagonal dodecahedron

$\{230\}$

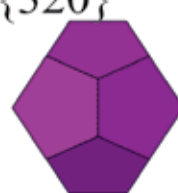


right  
(positive)

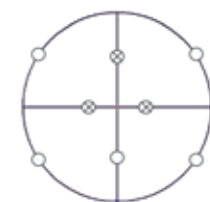


Pentagonal dodecahedron

$\{320\}$



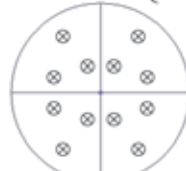
left  
(negative)



Disdodecahedron  $\{213\}$



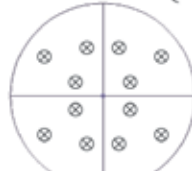
left  
(positive)



Disdodecahedron  $\{123\}$



right  
(negative)



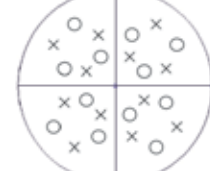
Pentagonal icositetrahedron

$\{123\}$  right



Pentagonal icositetrahedron

$\{213\}$



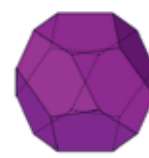
Tetrahedral pentagonal dodecahedron



$\{123\}$  positive  
right



$\{\bar{1}23\}$  negative  
right



$\{213\}$  positive  
left



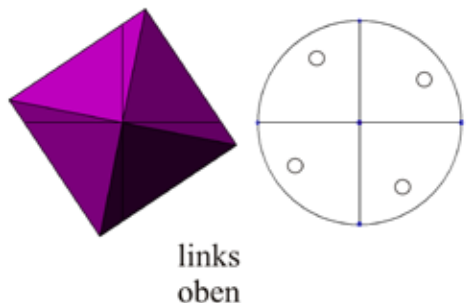
$\{\bar{2}13\}$  negative  
left



These stereographic projections do not contain any symmetry elements; they are merely reference lines.

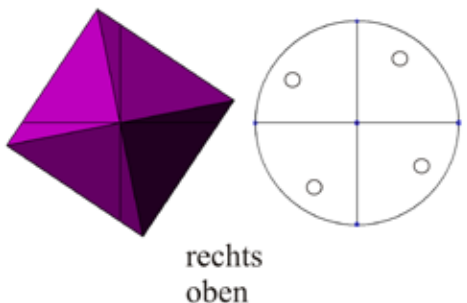
# Tetragonales Kristallsystem

Pyramide {321}



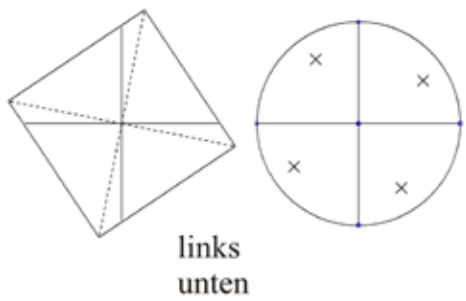
links  
oben

Pyramide {231}



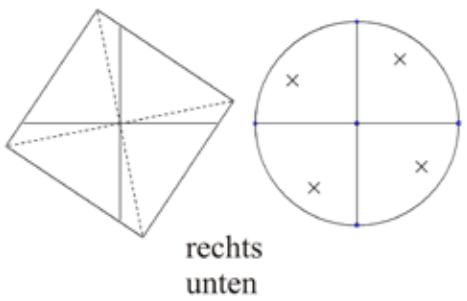
rechts  
oben

Pyramide {32̄1}



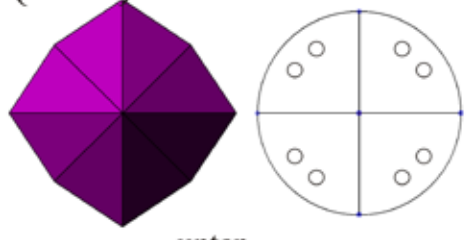
links  
unten

Pyramide {23̄1}



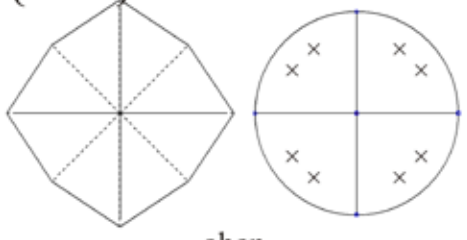
rechts  
unten

Ditetrag. Pyramide  
{321}



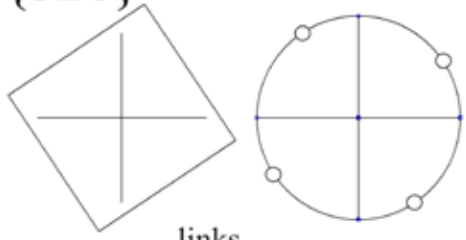
unten

Ditetrag. Pyramide  
{32̄1}



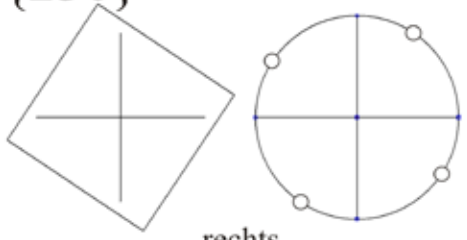
oben

Prisma III.Stellung  
{320}



links

Prisma III.Stellung  
{230}

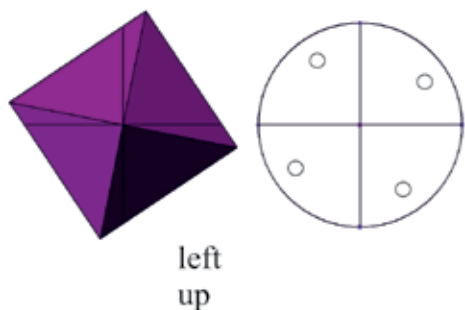


rechts

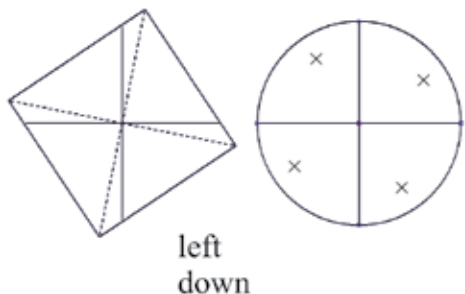
Diese stereographischen Projektionen beinhalten keinerlei Symmetrieelemente, es handelt sich hier lediglich um Bezugslinien

# Tetragonal crystal system

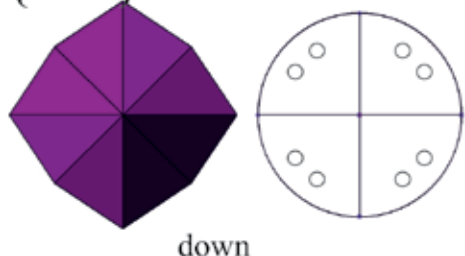
Pyramid {321}



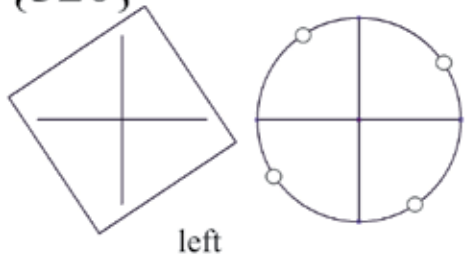
Pyramid {321̄}



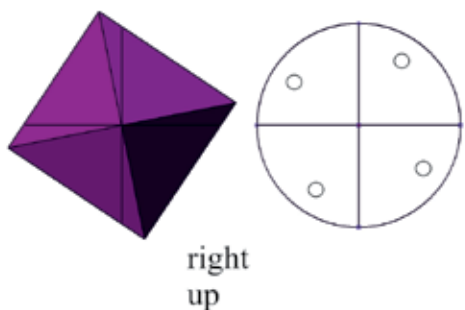
Ditetrag. Pyramid  
{321}



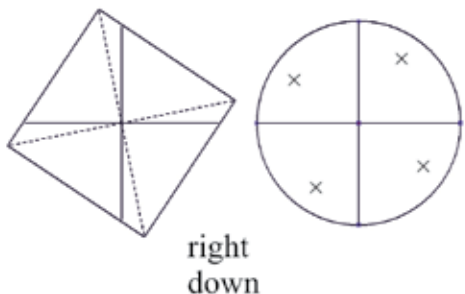
Prism III.Position  
{320}



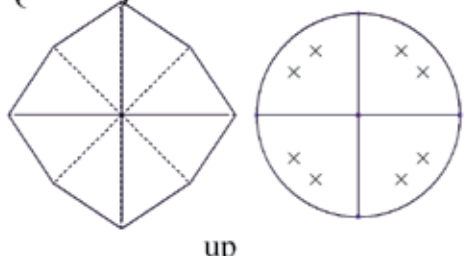
Pyramid {231}



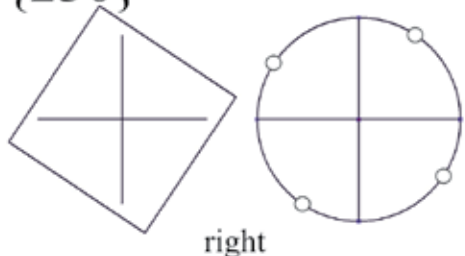
Pyramid {231̄}



Ditetrag. Pyramid  
{321̄}



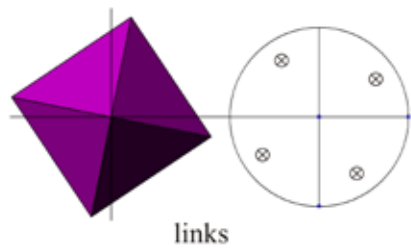
Prism III.Position  
{230}



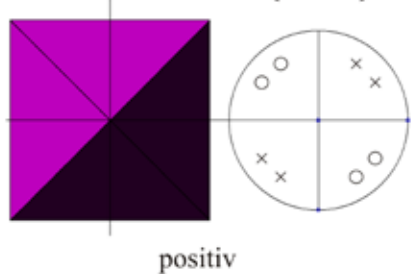
These stereographic projections do not contain any symmetry elements; they are merely reference lines

# Tetragonales Kristallsystem

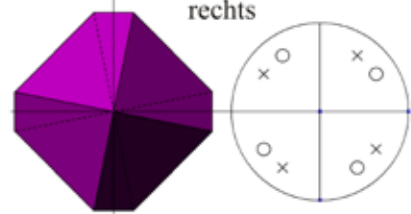
Dipyramide {321}



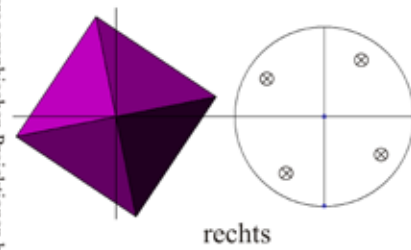
Skalenoeder {321}



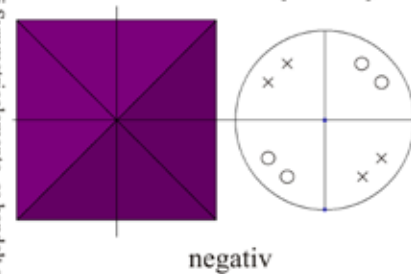
Trapezoeder {321}



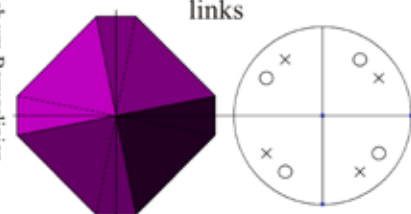
Dipyramide {231}



Skalenoeder {3̄21}



Trapezoeder {231}

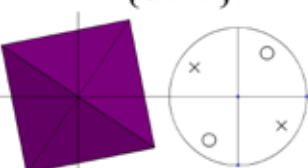


Diese stereographischen Projektionen beinhalten keinerlei Symmetrieelemente, es handelt sich hier lediglich um Bezugslinien

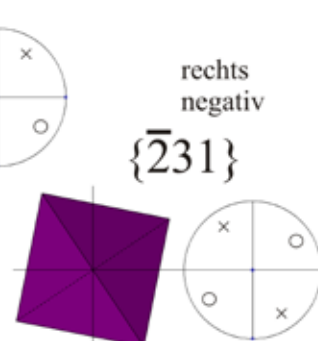


Tetragonales Disphenoid

links negativ  
{3̄21}



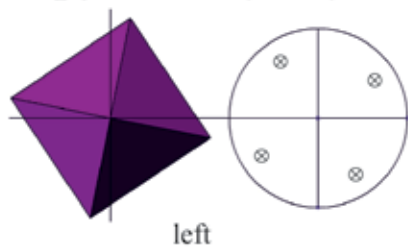
rechts positiv  
{231}



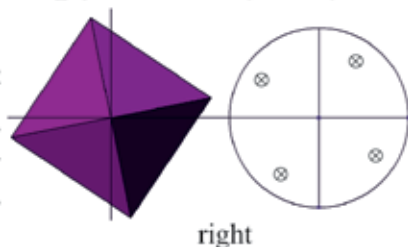
rechts negativ  
{3̄21}

# Tetragonal crystal system

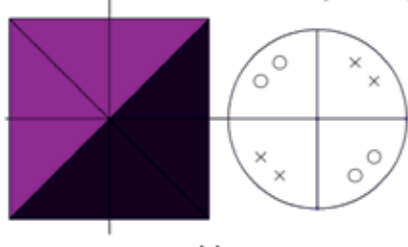
Dipyramid {321}



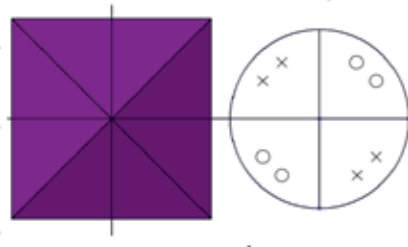
Dipyramid {231}



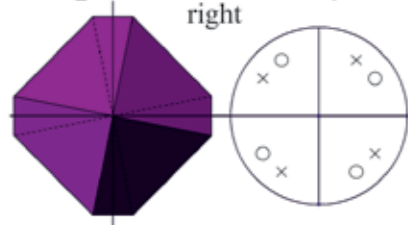
Scalenohedron {321}



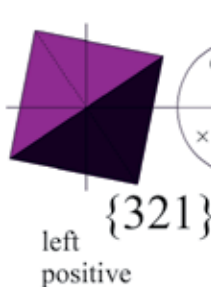
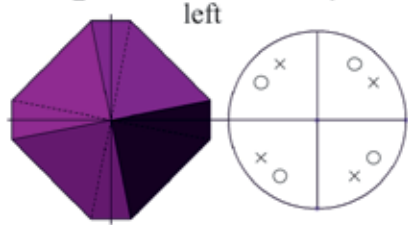
Scalenohedron {3̄21}



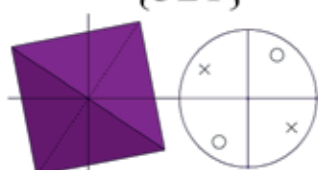
Trapezohedron {321}



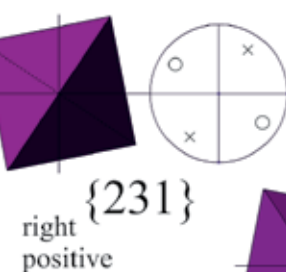
Trapezohedron {231}



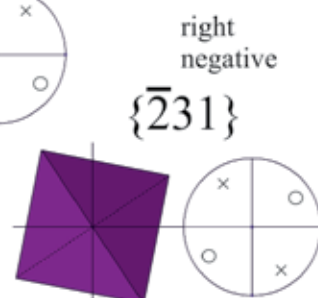
{321}



{3̄21}



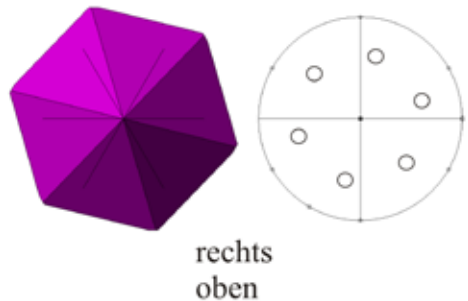
{231}



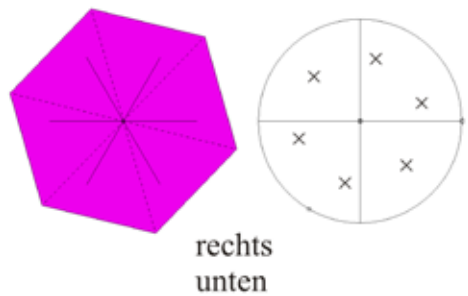
{2̄31}

# Hexagonales Kristallsystem

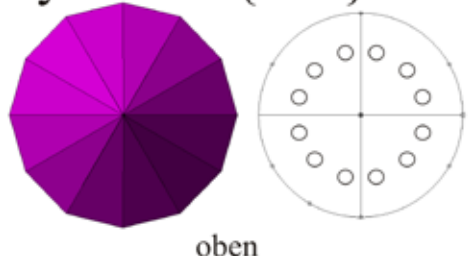
Pyramide {132}



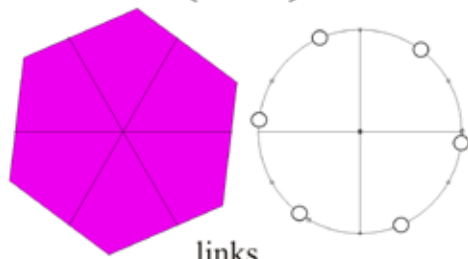
Pyramide {13 $\bar{2}$ }



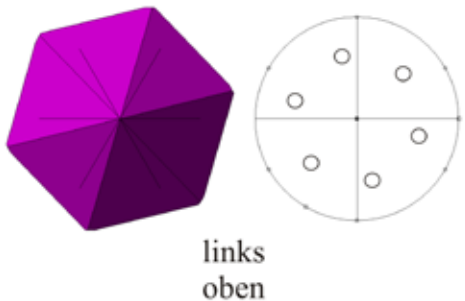
Dihexagonale Pyramide {312}



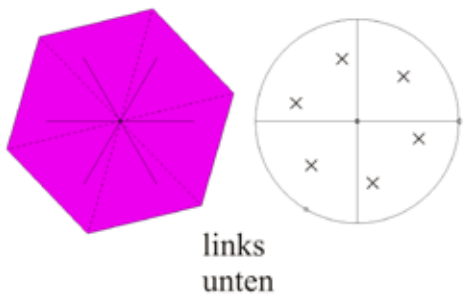
Prisma {320}



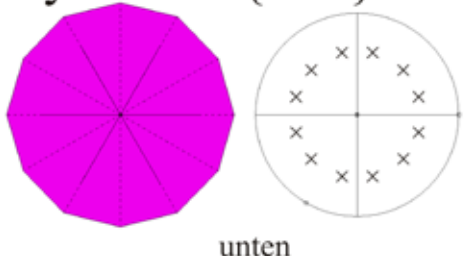
Pyramide {312}



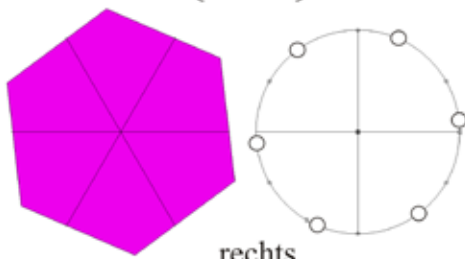
Pyramide {31 $\bar{2}$ }



Dihexagonale Pyramide {31 $\bar{2}$ }



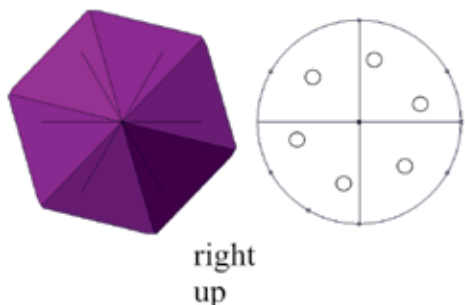
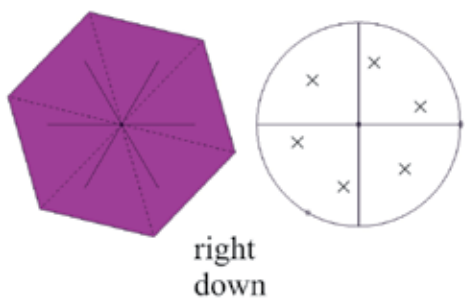
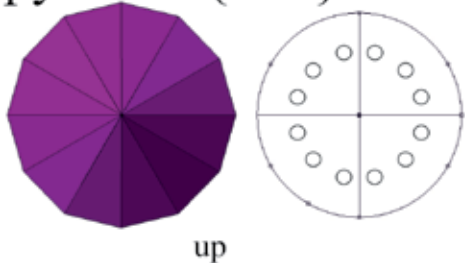
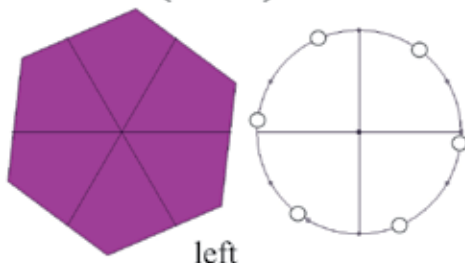
Prisma {230}



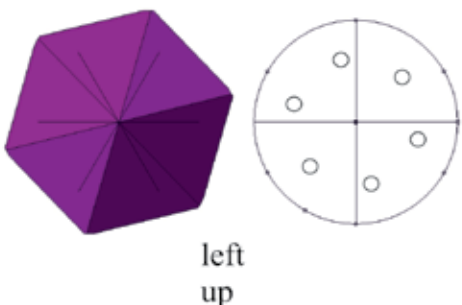
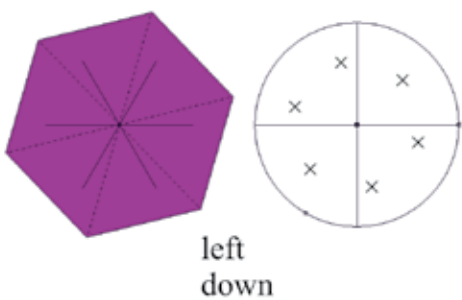
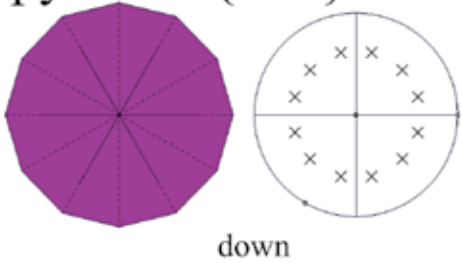
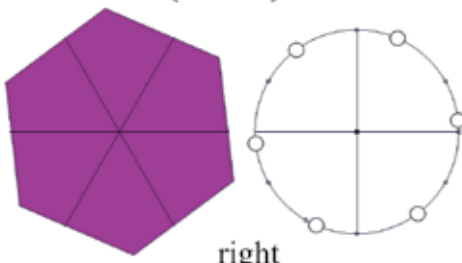
Diese stereographischen Projektionen beinhalten keinerlei Symmetrieelemente, es handelt sich hier lediglich um Bezugslinien

# Hexagonal crystal system

Pyramid {132}

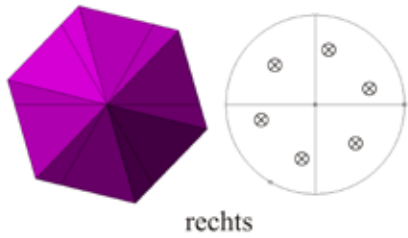
Pyramid  $\{13\bar{2}\}$ Dihexagonal pyramid  $\{312\}$ Prism  $\{320\}$ 

These stereographic projections do not contain any symmetry elements; they are merely reference lines

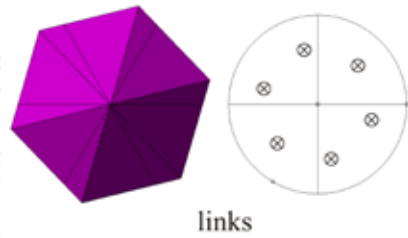
Pyramid  $\{312\}$ Pyramid  $\{31\bar{2}\}$ Dihexagonal pyramid  $\{31\bar{2}\}$ Prism  $\{230\}$ 

# Hexagonales Kristallsystem

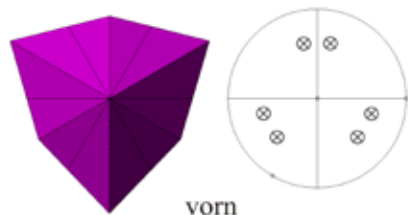
Dipyramide {132}



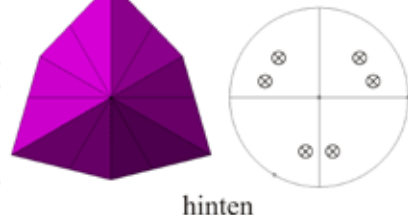
Dipyramide {312}



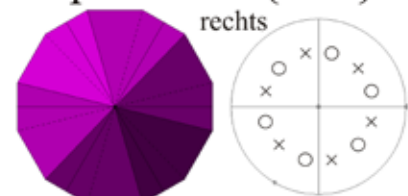
Ditrigonale  
Dipyramide {132}



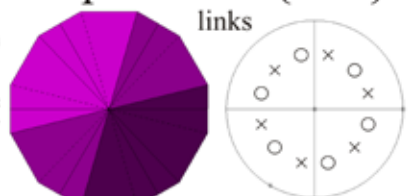
Ditrigonale  
Dipyramide {312}



Trapezoeder {132}



Trapezoeder {312}



Diese stereographischen Projektionen beinhalten keinerlei Symmetrieelemente, es handelt sich hier lediglich um Bezugslinien

Trigonale Dipyramide



$1\bar{3}2\}$  rechts negativ



$\{312\}$  links positiv

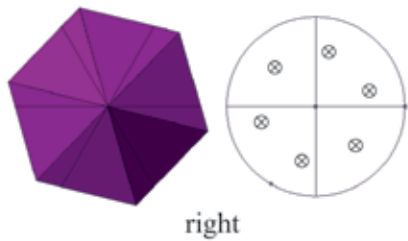


$\{\bar{3}12\}$  links negativ

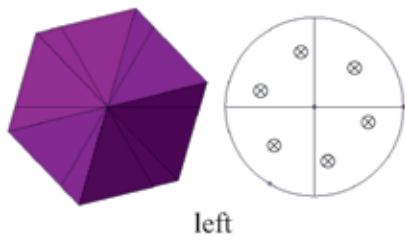


# Hexagonal crystal system

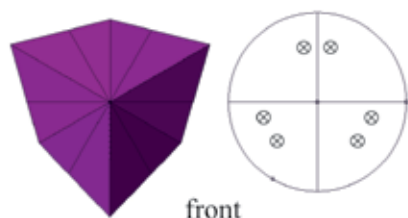
Dipyramid {132}



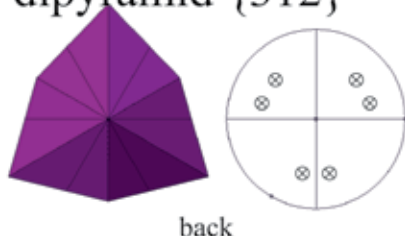
Dipyramid {312}



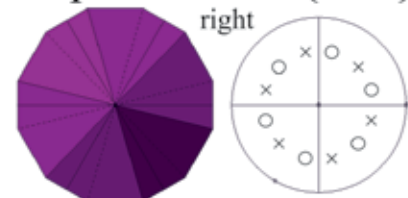
Ditrigonal  
dipyramid {132}



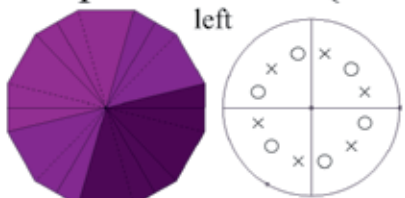
Ditrigonal  
dipyramid {312}



Trapezohedron {132}



Trapezohedron {312}



Trigonal Dipyramid



$1\bar{3}2$ <sup>right negative</sup>



$\{312\}^{\text{left positive}}$



$\{\bar{3}12\}^{\text{left negative}}$



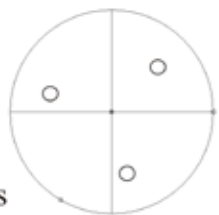
These stereographic projections do not contain any symmetry elements; they are merely reference lines.

# Trigonales Kristallsystem

Pyramide {312}



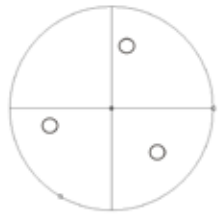
rechts  
oben  
vorn



Pyramide {132}



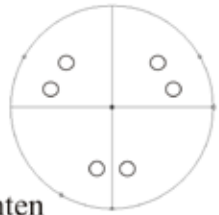
links  
oben  
vorn



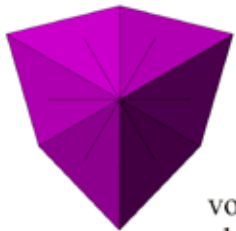
Ditrigonale  
Pyramide {312}



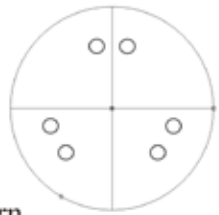
hinten  
oben



Ditrigonale  
Pyramide {132}



vorn  
oben

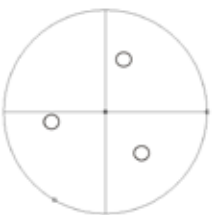


Diese stereographischen Projektionen beinhalten keinerlei Symmetrieelemente, es handelt sich hier lediglich um Bezugslinien

Pyramide {312}



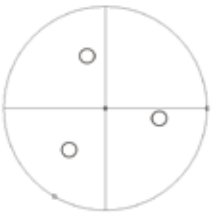
rechts  
oben  
hinten



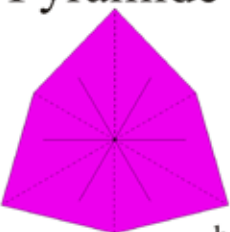
Pyramide {132}



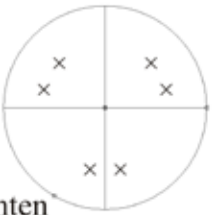
links  
oben  
hinten



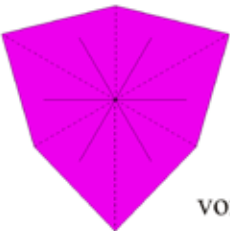
Ditrigonale  
Pyramide {312}



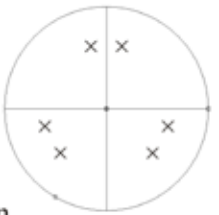
hinten  
unten



Ditrigonale  
Pyramide {132}



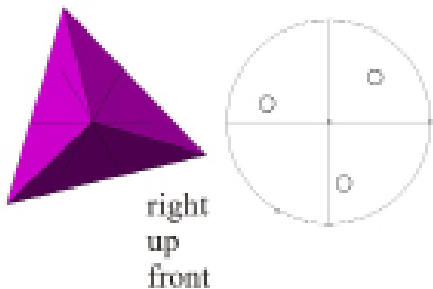
vorn  
unten



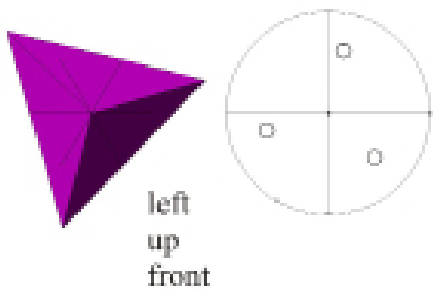
analog  
dazu  
“unten”

# Trigonal crystal system

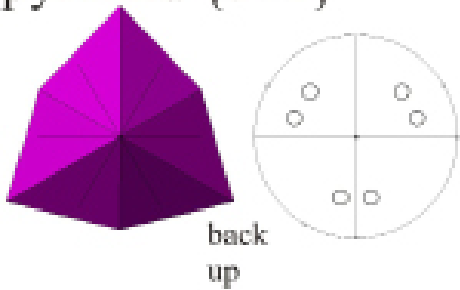
Pyramid {312}



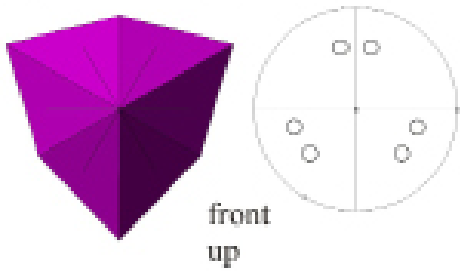
Pyramid {132}



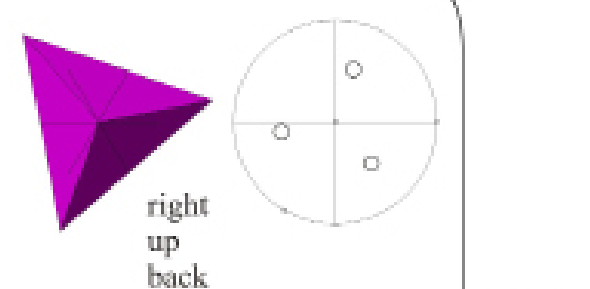
Ditrigonal  
pyramid {312}



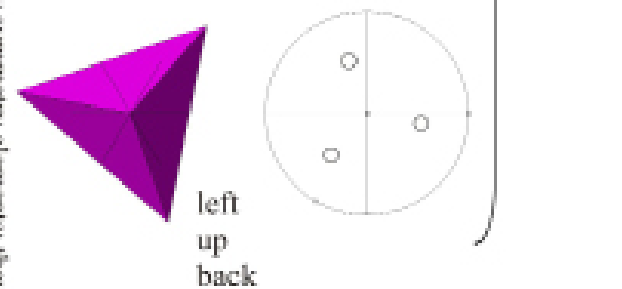
Ditrigonal  
pyramid {132}



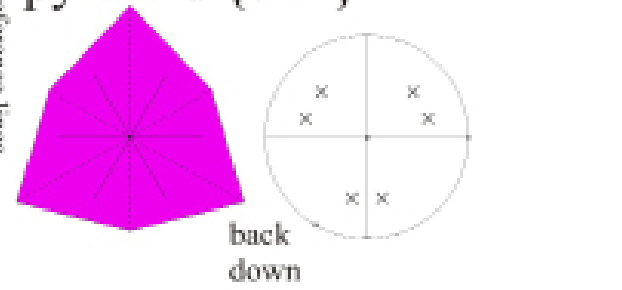
Pyramid { $\bar{3}12$ }



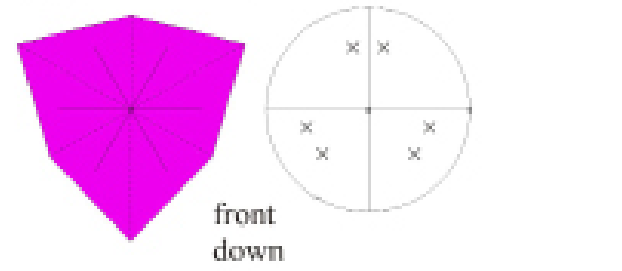
Pyramid { $\bar{1}32$ }



Ditrigonal  
pyramid { $31\bar{2}$ }



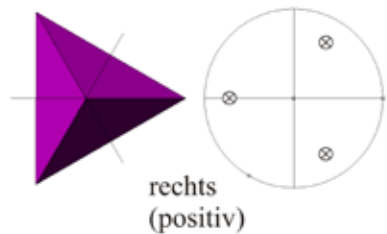
Ditrigonal  
pyramid { $13\bar{2}$ }



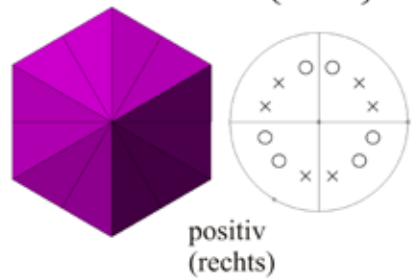
These stereographic projections do not contain any symmetry elements; they are merely reference lines

# Trigonales Kristallsystem

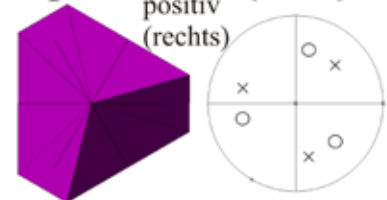
Dipyramide  $\{332\}$



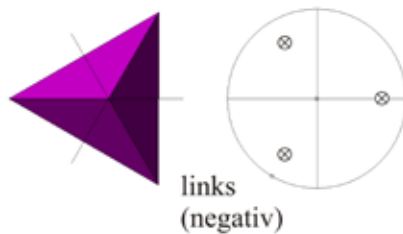
Ditrigonaler Skalenoeder  $\{132\}$



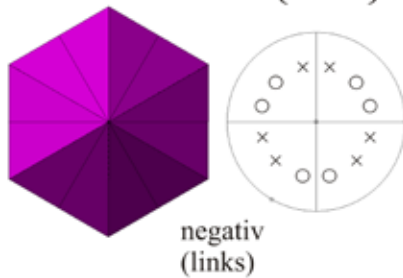
Trapezoeder  $\{132\}$



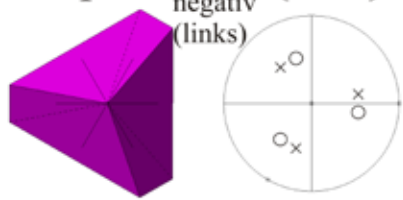
Dipyramide  $\{\bar{3}\bar{3}2\}$



Ditrigonaler Skalenoeder  $\{312\}$

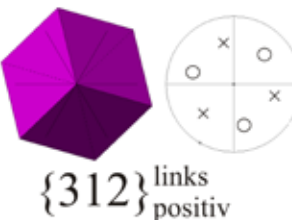
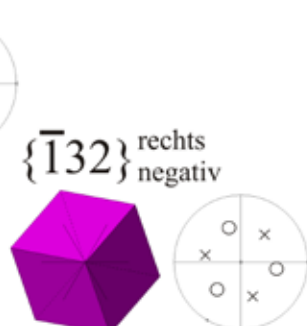
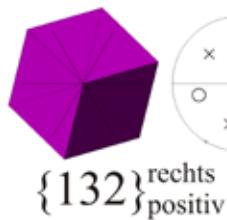


Trapezoeder  $\{\bar{1}32\}$

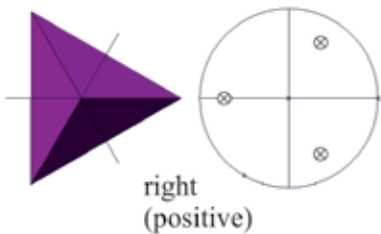
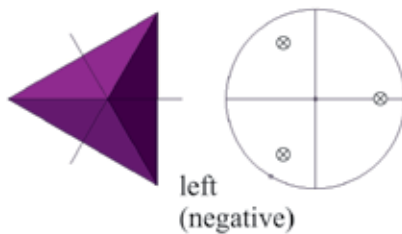
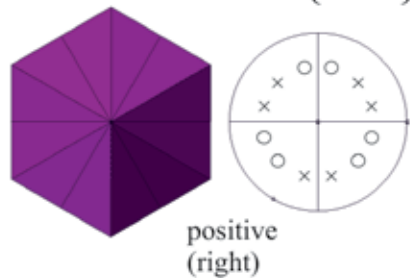
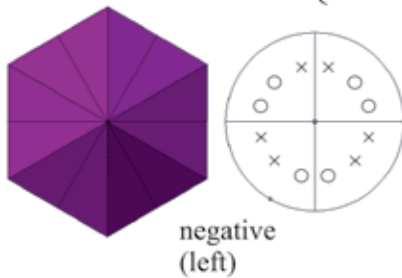


Diese stereographischen Projektionen beinhalten keinerlei Symmetrieelemente, es handelt sich hier lediglich um Bezugslinien

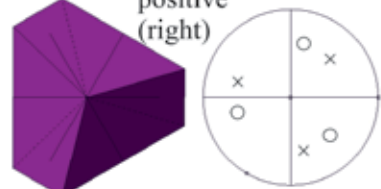
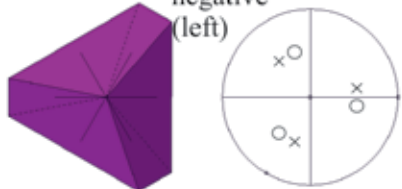
Trigonaler Rhomboeder



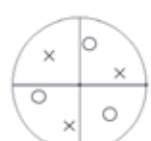
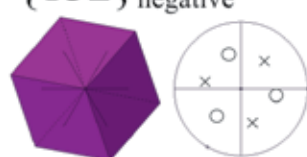
# Trigonal crystal system

Dipyramid  $\{332\}$ Dipyramid  $\{\overline{3}\overline{3}2\}$ Ditrigonal  
scalenohedron  $\{132\}$ Ditrigonal  
scalenohedron  $\{312\}$ 

These stereographic projections do not contain any symmetry elements; they are merely reference lines.

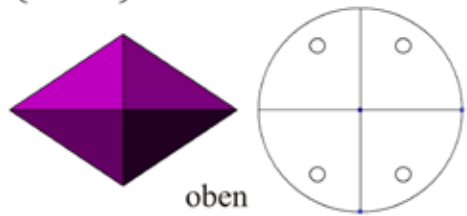
Trapezohedron  $\{132\}$ Trapezohedron  $\{\overline{1}32\}$ 

Trigonal rhombohedron

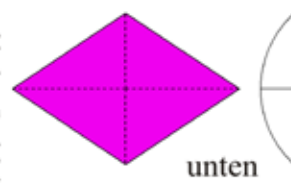
 $\{\overline{1}32\}$  right negative $\{312\}$  left positive $\{\overline{3}12\}$  left negative

# Orthorhombisches Kristallsystem

Rhombische Pyramide {321} Rhombische Pyramide {321}

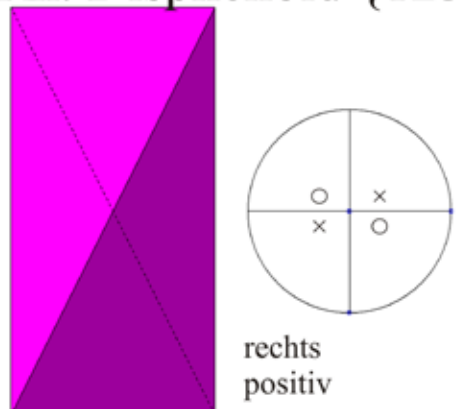


{321}

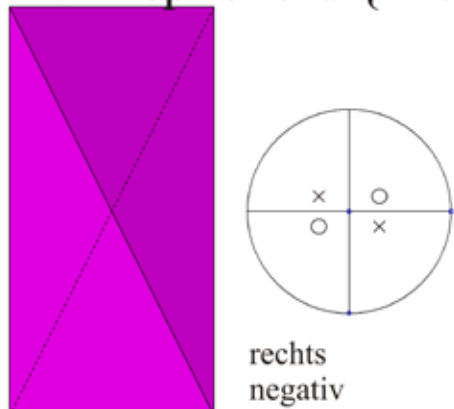


Diese stereographischen Projektionen beinhalten keinerlei Symmetrieelemente, es handelt sich hier lediglich um Bezugslinien

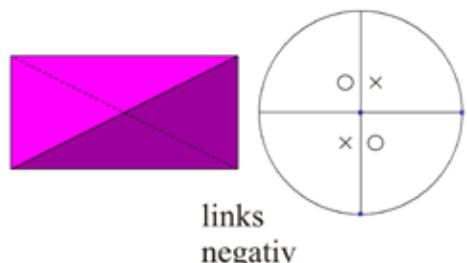
Rh. Disphenoid {123}



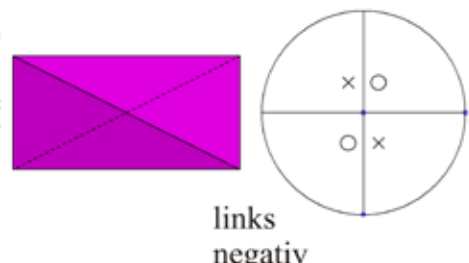
Rh. Disphenoid {1̄23}



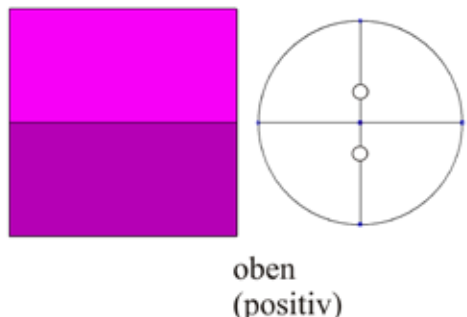
Rh. Disphenoid {213}



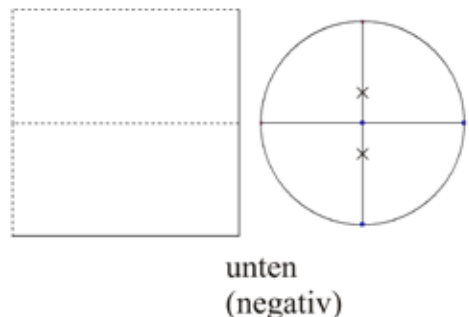
Rh. Disphenoid {2̄13}



Doma II. Stellung  
{203}

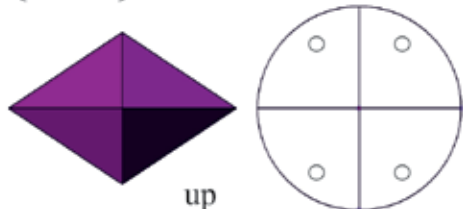


Doma II. Stellung  
{2̄03}

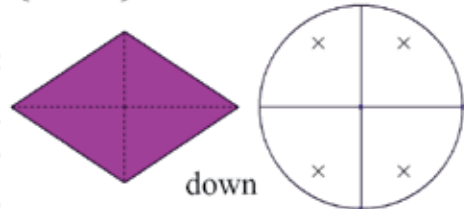


# Orthorhombic crystal system

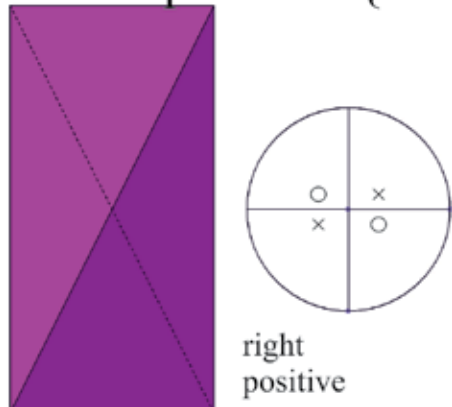
Rhombic pyramid  
 $\{321\}$



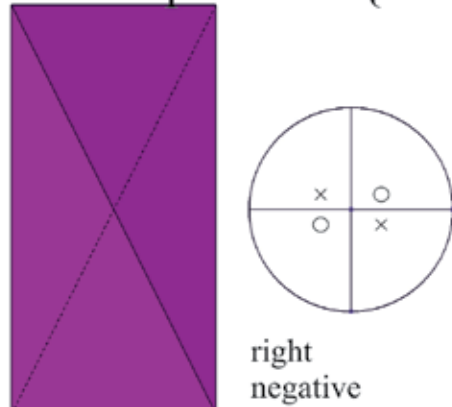
Rhombic Pyramid  
 $\{321\}$



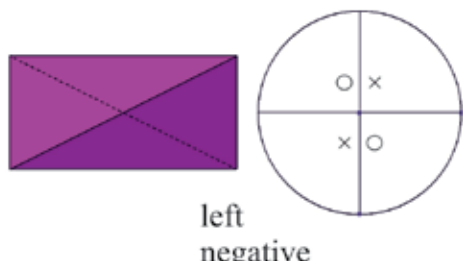
Rh. Disphenoid  $\{123\}$



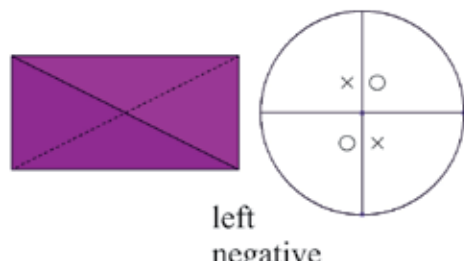
Rh. Disphenoid  $\{\bar{1}23\}$



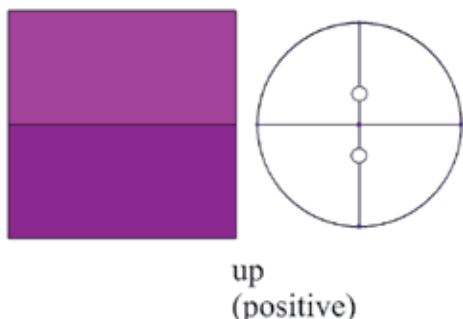
Rh. Disphenoid  $\{213\}$



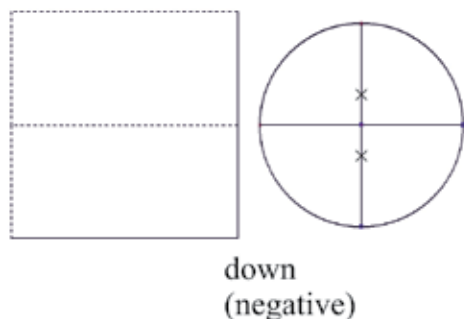
Rh. Disphenoid  $\{\bar{2}13\}$



Doma II.position  
 $\{203\}$



Doma II.position  
 $\{\bar{2}03\}$



These stereographic projections do not contain any symmetry elements; they are merely reference lines

System	Klasse	Symmetrieelement	polare Richtungen im Kristall	nichtpolare Richtungen im Kristall
triklin	1	-	* alle	keine
monoklin	2	$\vec{1\bullet}$	* $\mathbf{b}$	alle $\perp \mathbf{b}$
	m	$1m$ ( $m \equiv \overline{2}$ )	a, c und alle Zonen die in $(010)$ liegen	$\mathbf{b}$
orthorhombisch	mmm2	$1\vec{\bullet} + 1m + 1m$	* $\mathbf{c}$	alle $\perp \mathbf{c}$
tetragonal	4	$1\vec{\diamond}$	* $\mathbf{c}$	alle $\perp \mathbf{c}$
	4mm	$1\vec{\diamond} + 2m + 2m$	* $\mathbf{c}$	alle $\perp \mathbf{c}$
trigonal	3	$\vec{\#}$	* $\mathbf{c}$ und alle Zonen $\perp \mathbf{c}$	keine
	32	$1\# + 3\vec{\bullet}$	a <sub>1</sub> , a <sub>2</sub> , a <sub>3</sub> und alle Zonen $\perp \mathbf{c}$	alle $\perp \mathbf{a}_1, \mathbf{a}_2, \mathbf{a}_3$
	3m	$1\vec{\#} + 3m$	* $\mathbf{c}$	a <sub>1</sub> , a <sub>2</sub> , a <sub>3</sub>
hexagonal	6	$1\vec{\lozenge}$	* $\mathbf{c}$	alle $\perp \mathbf{c}$
	$\overline{6}$	$1\lozenge \equiv \# + m$	* a <sub>1</sub> , a <sub>2</sub> , a <sub>3</sub> und alle Zonen $\perp \mathbf{c}$	$\mathbf{c}$
	6mm	$1\vec{\lozenge} + 3m + 3m$	* $\mathbf{c}$	alle $\perp \mathbf{c}$
	$\overline{6}_{2m}$	$1\lozenge + 3\vec{\bullet} + 3m$	alle $\bullet$	a <sub>1</sub> , a <sub>2</sub> , a <sub>3</sub> und alle Zonen $\perp$ auf $\bullet$ die dazwischenliegen
kubisch	23	$3\bullet + 4\vec{\#}$	a <sub>1</sub> , a <sub>2</sub> , a <sub>3</sub>	alle $\perp \mathbf{a}_1, \mathbf{a}_2, \mathbf{a}_3$
	$\overline{4}_{3m}$	$3\lozenge + 4\vec{\#} + 6m$	a <sub>1</sub> , a <sub>2</sub> , a <sub>3</sub>	alle $\perp \mathbf{a}_1, \mathbf{a}_2, \mathbf{a}_3$

Weitere azentrische Klassen mit polaren Richtungen: 222, 4, 422, 42m, 622, 432

\* = Klassen mit einzigartigen polaren Achsen, zu denen keine äquivalenten Achsen existieren:  
ferroelektrische Stoffe

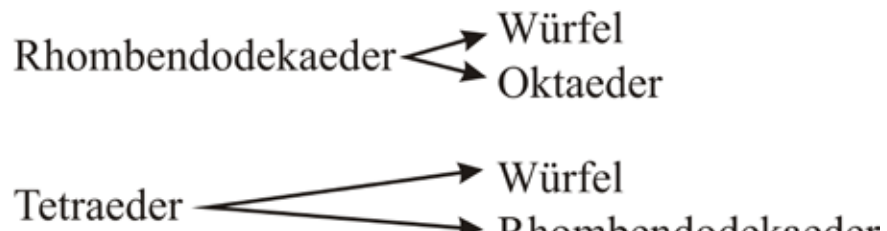
System	Class	Symmetry element	Polar directions in crystal	Not polar direction in crystal
triclinic	1	-	* all	None
monoclinic	2	$\vec{1}\bullet$	* b	all $\perp b$
	m	$1m$ ( $m \equiv \bar{2}$ )	a, c and all Zones lying in (010)	b
orthorhombic	mm2	$1\vec{1} + 1m + 1m$	* c	all $\perp c$
tetragonal	4	$1\vec{\diamond}$	* c	all $\perp c$
	4mm	$1\vec{\diamond} + 2m + 2m$	* c	all $\perp c$
trigonal	3	$\vec{\#}$	* c and all Zones $\perp c$	keine
	32	$1\# + 3\vec{1}$	a <sub>1</sub> , a <sub>2</sub> , a <sub>3</sub> and all Zones $\perp c$	all $\perp a_1, a_2, a_3$
	3m	$1\vec{\#} + 3m$	* c	a <sub>1</sub> , a <sub>2</sub> , a <sub>3</sub>
hexagonal	6	$1\vec{\bullet}$	* c	all $\perp c$
	$\bar{6}$	$1\vec{\bullet} \equiv \# + m$	* a <sub>1</sub> , a <sub>2</sub> , a <sub>3</sub> and all Zones $\perp c$	c
	6mm	$1\vec{\bullet} + 3m + 3m$	* c	all $\perp c$
	$\bar{6}2m$	$1\vec{\bullet} + 3\vec{1} + 3m$	all $\bullet$	a <sub>1</sub> , a <sub>2</sub> , a <sub>3</sub> and all Zones $\perp$ on $\bullet$ in between
cubic	23	$3\bullet + 4\vec{\#}$	a <sub>1</sub> , a <sub>2</sub> , a <sub>3</sub>	all $\perp a_1, a_2, a_3$
	$\bar{4}3m$	$3\vec{\diamond} + 4\vec{\#} + 6m$	a <sub>1</sub> , a <sub>2</sub> , a <sub>3</sub>	all $\perp a_1, a_2, a_3$

Other acentric classes with polar directions: 222, 4, 422, 42m, 622, 432

\* = Classes with unique polar Axes, with no equivalent axes : ferroelectric materials

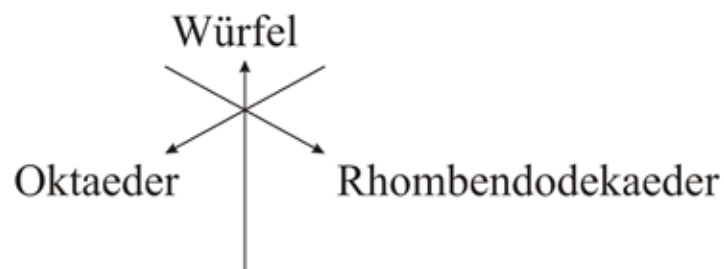
# Die Kombination von Formen

Zwei Formen: Würfel ↔ Oktaeder



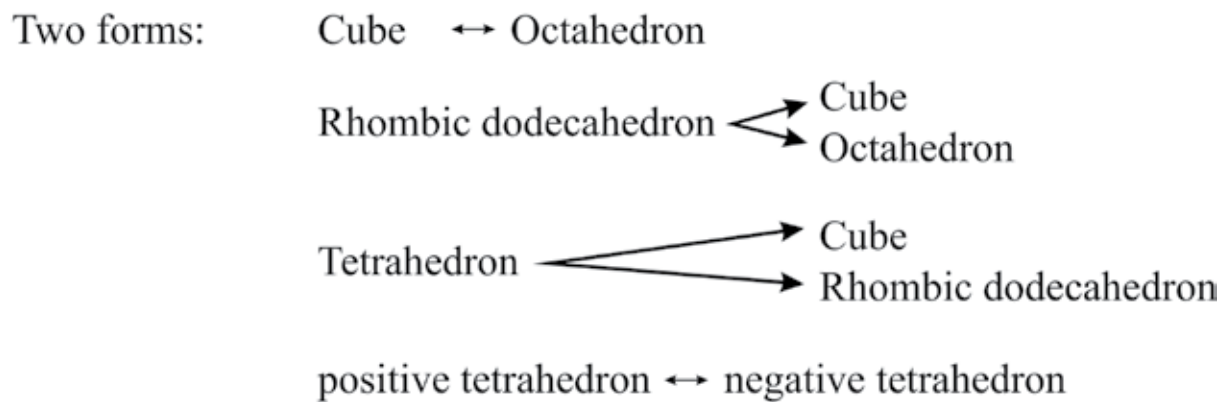
positiver Tetraeder ↔ negativer Tetraeder

Drei Formen:

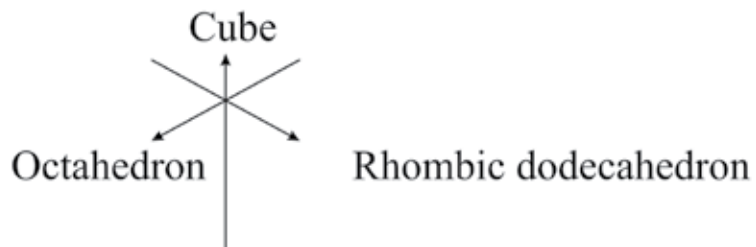


Kombinationen von Flächen und Steilen Rhomboedern

## The combination of forms

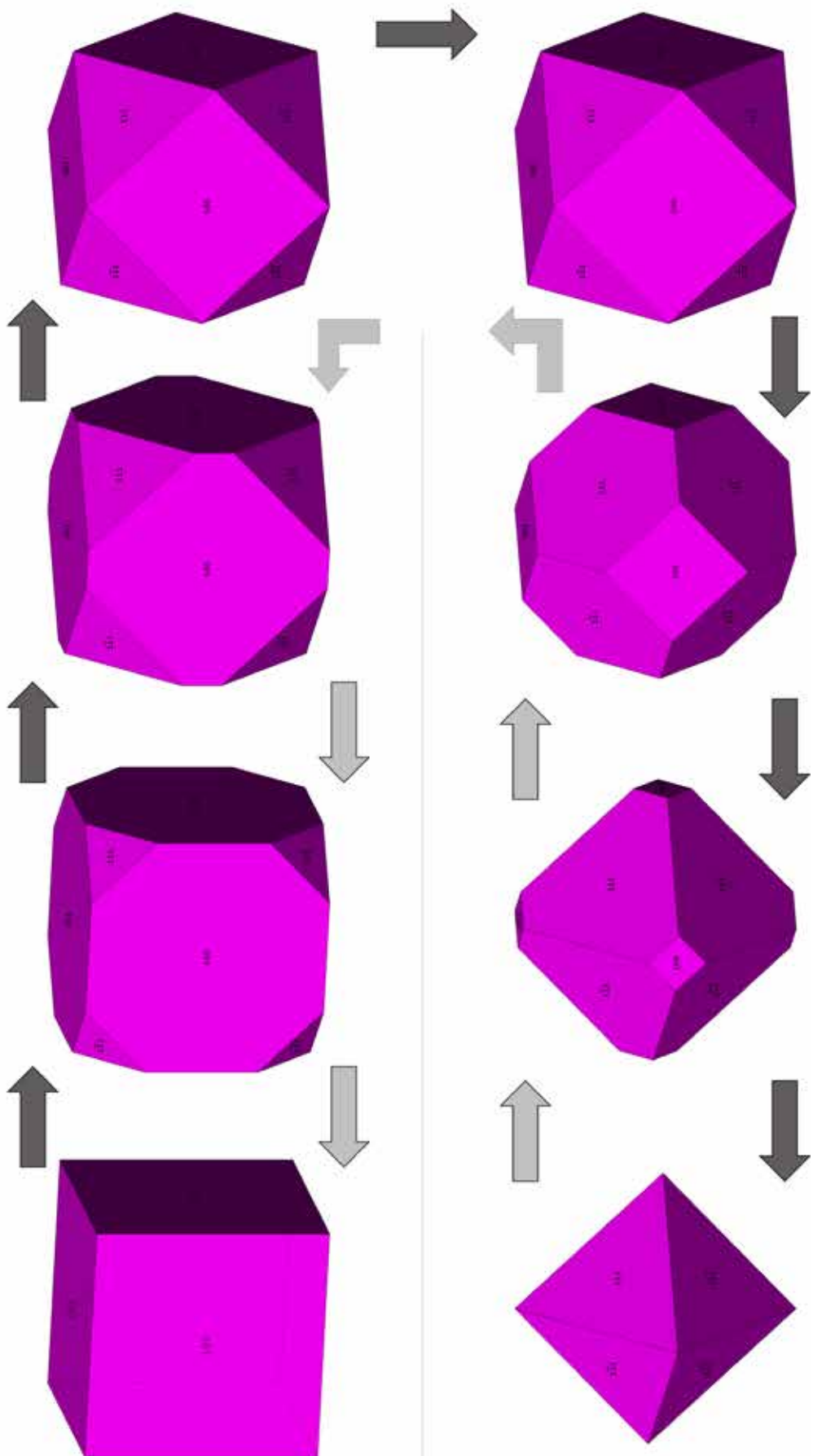


Three forms:

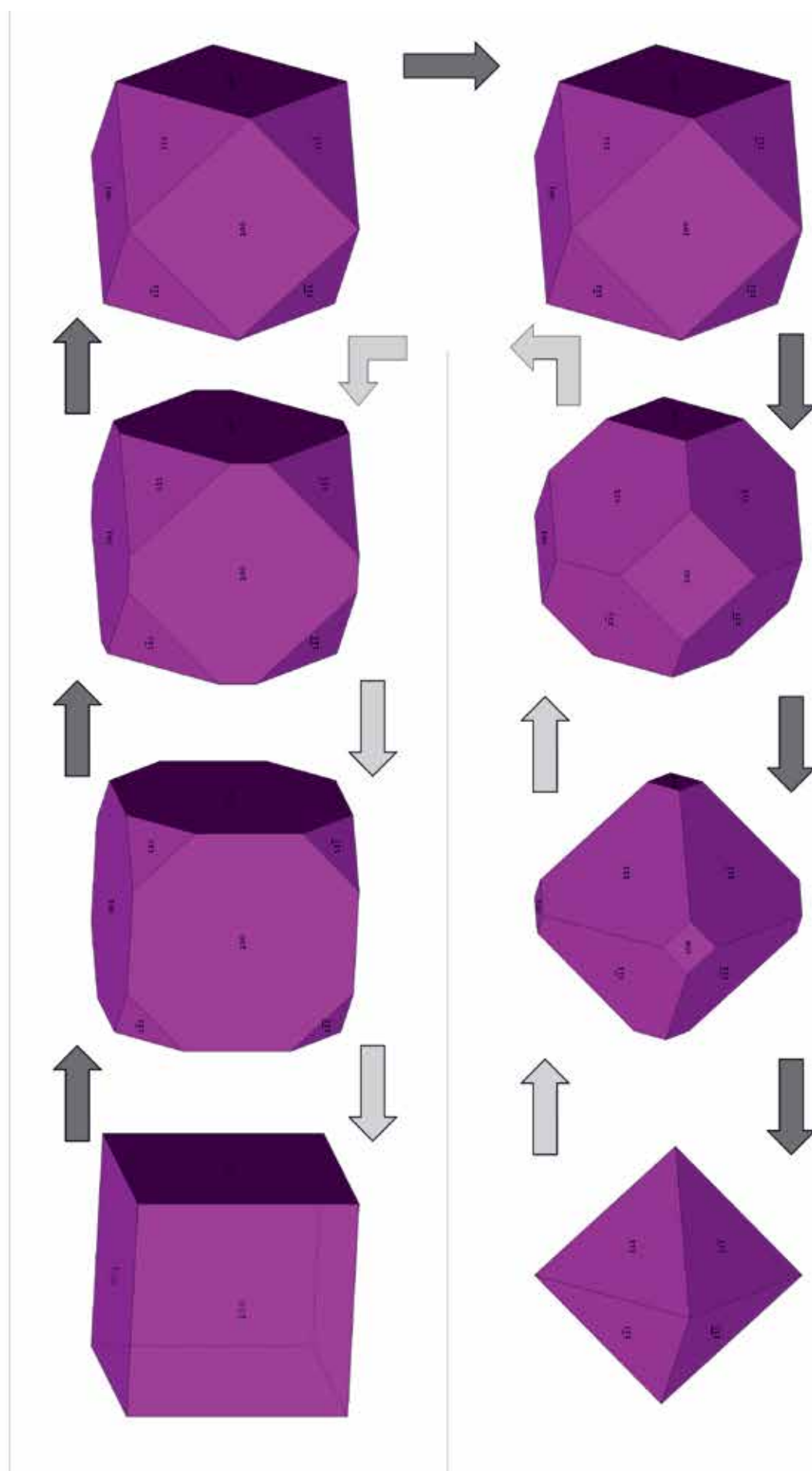


Combinations of flat and steep rhomboids

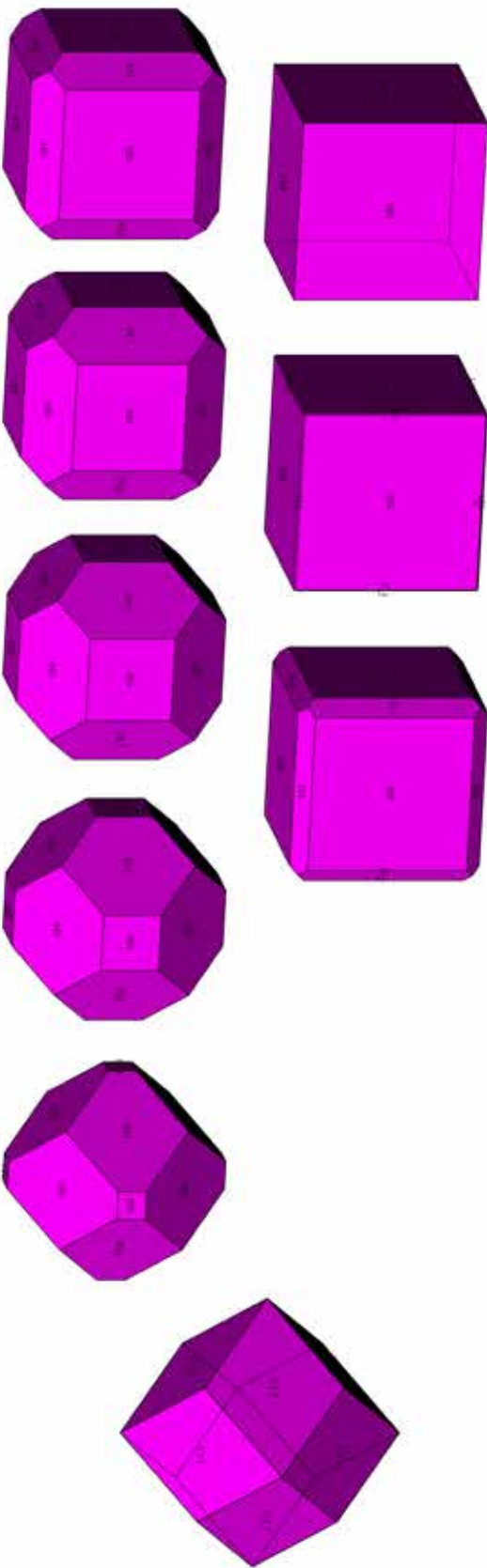
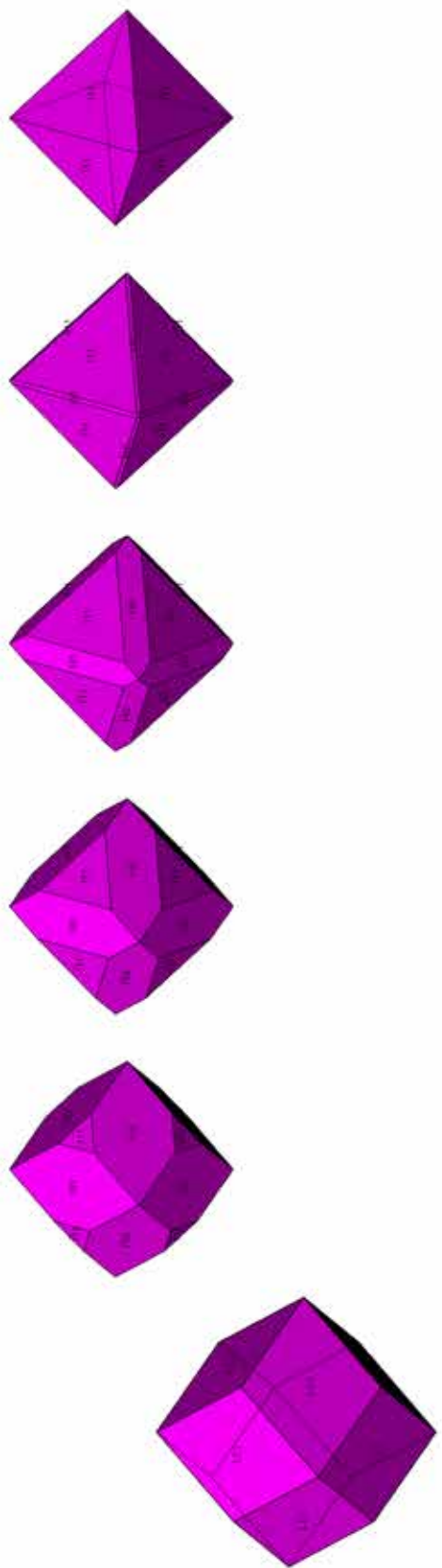
## Vom Würfel zum Oktaeder



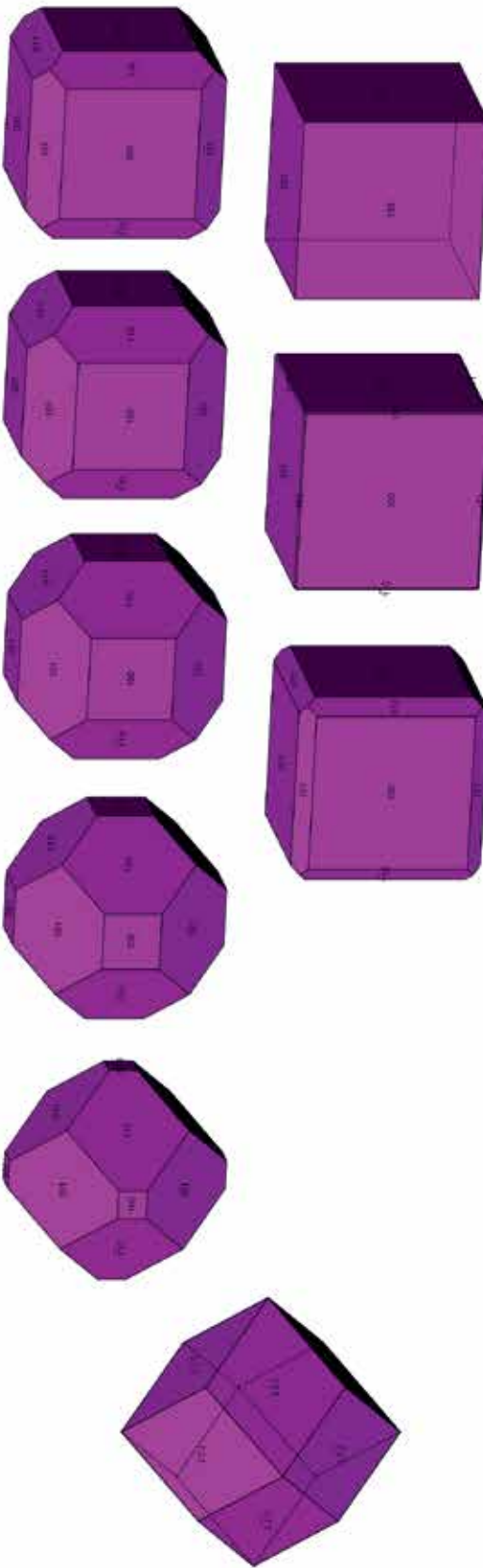
From cube to octahedron



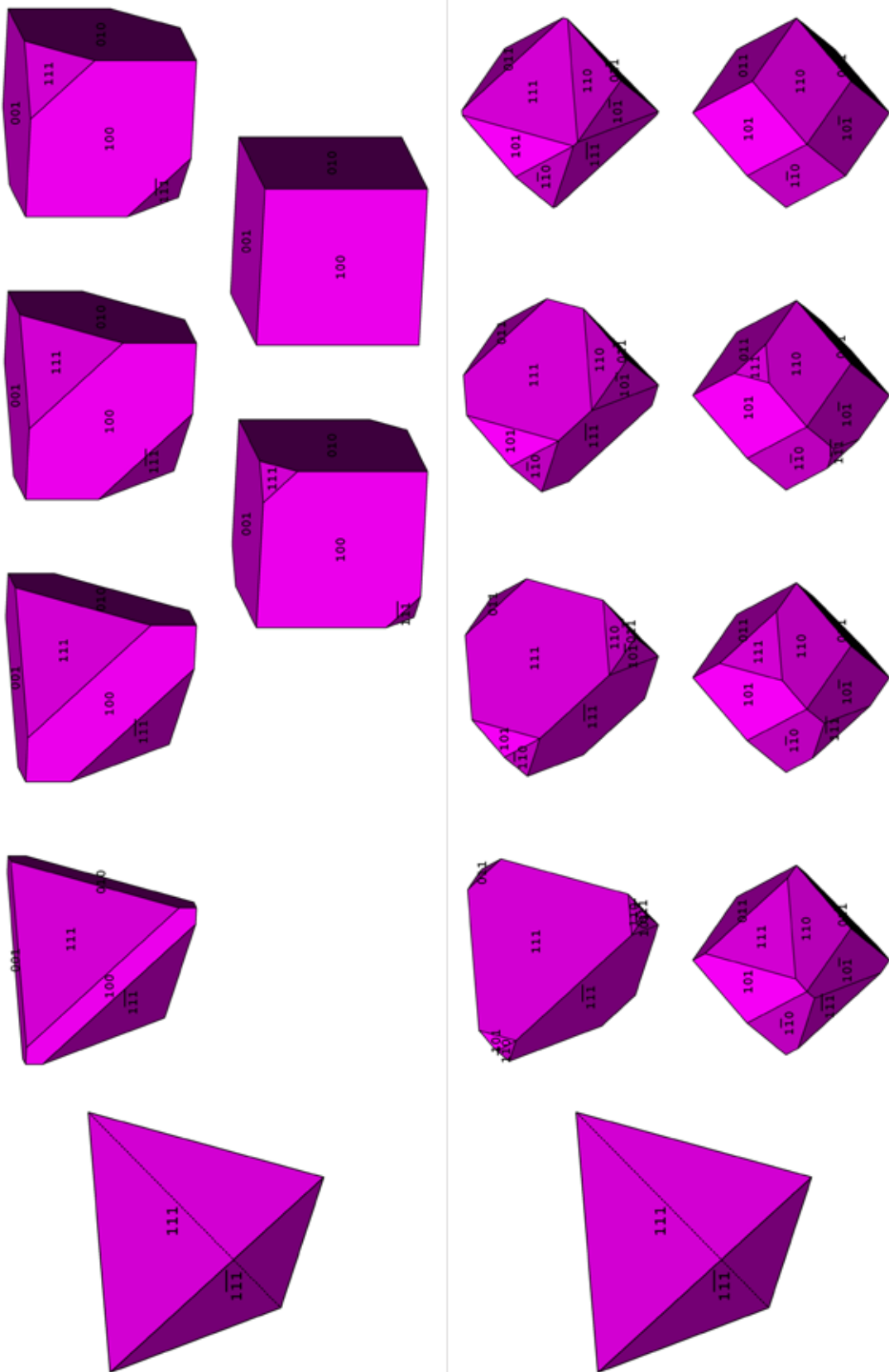
## Kombination des Rhombendodekaeder mit Oktaeder und Würfel



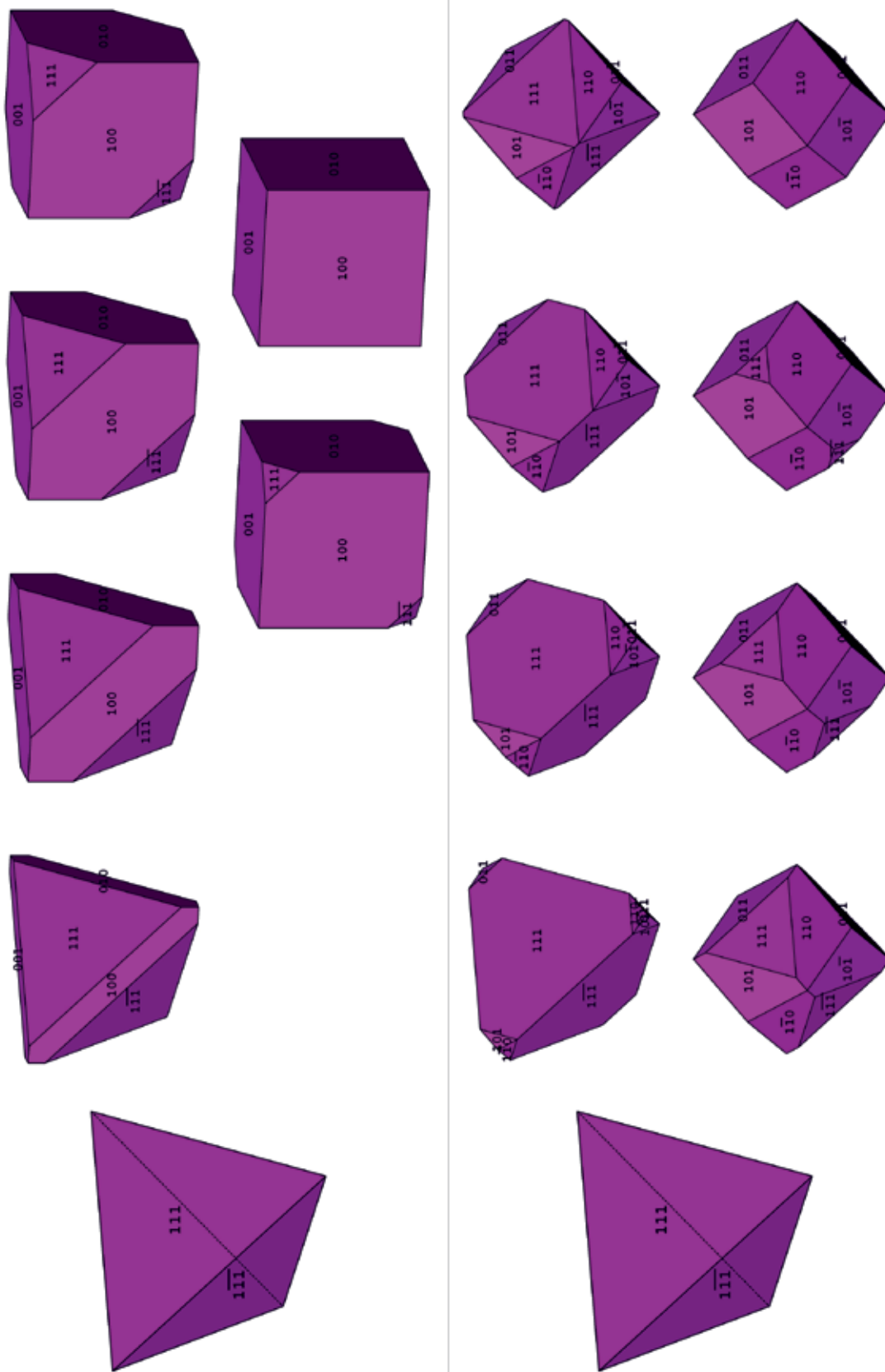
Combination of rhombic dodecahedron with octahedron and cube



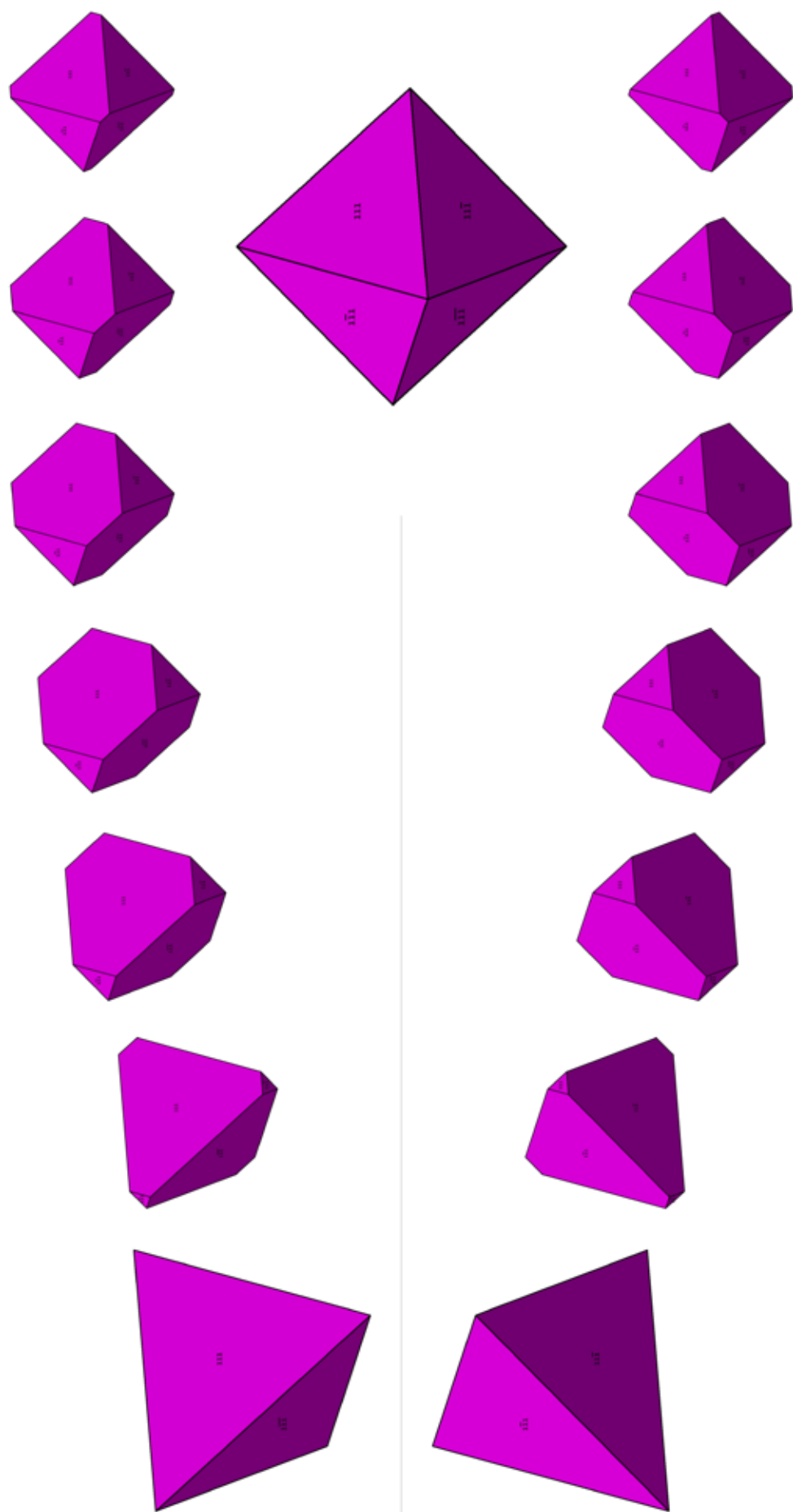
## Kombination des Tetraeder mit Würfel und Rhombendodekaeder



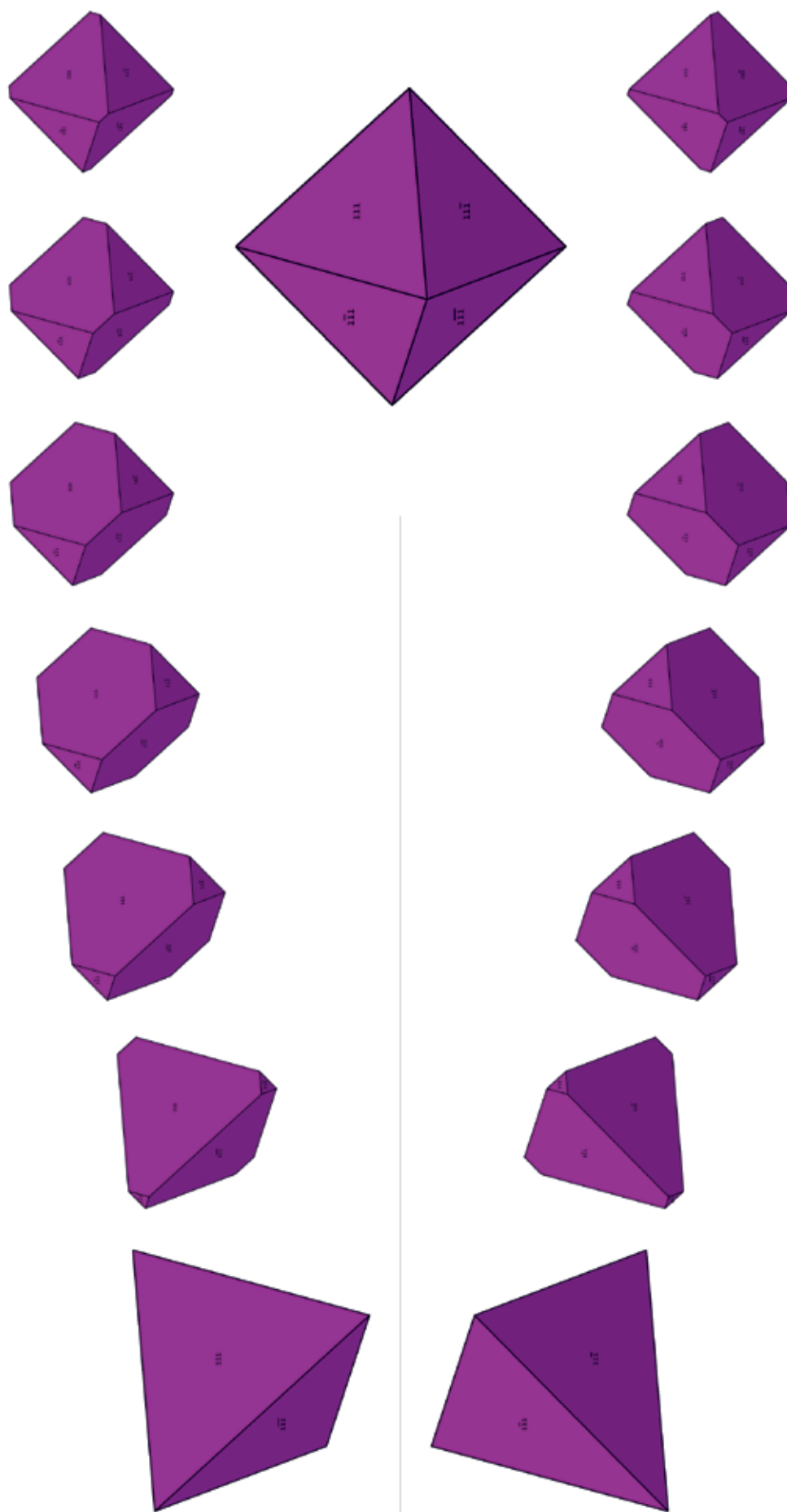
Combination of tetrahedron with cube and rhombic dodecahedron



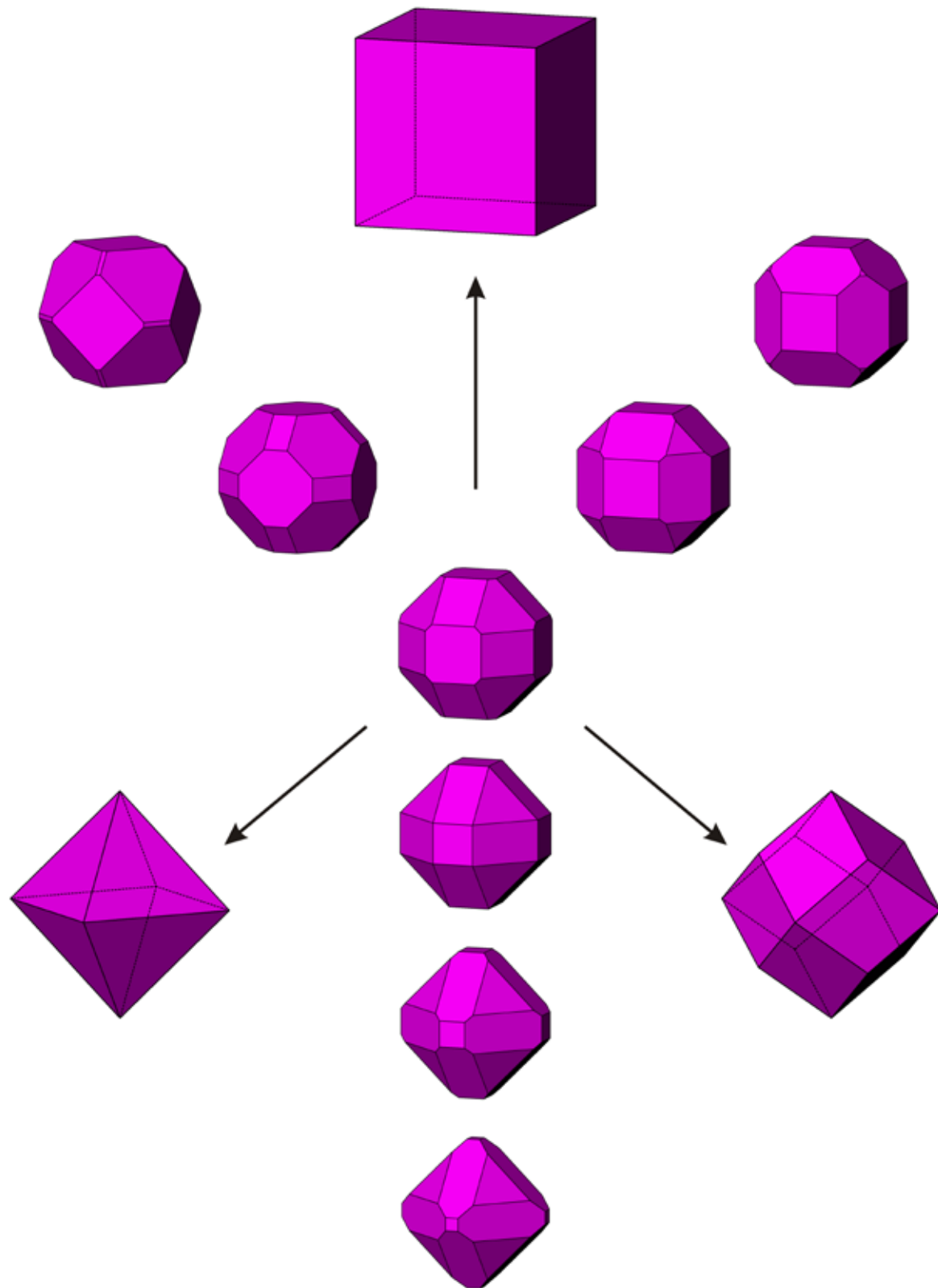
## Kombination von positivem und negativem Tetraeder



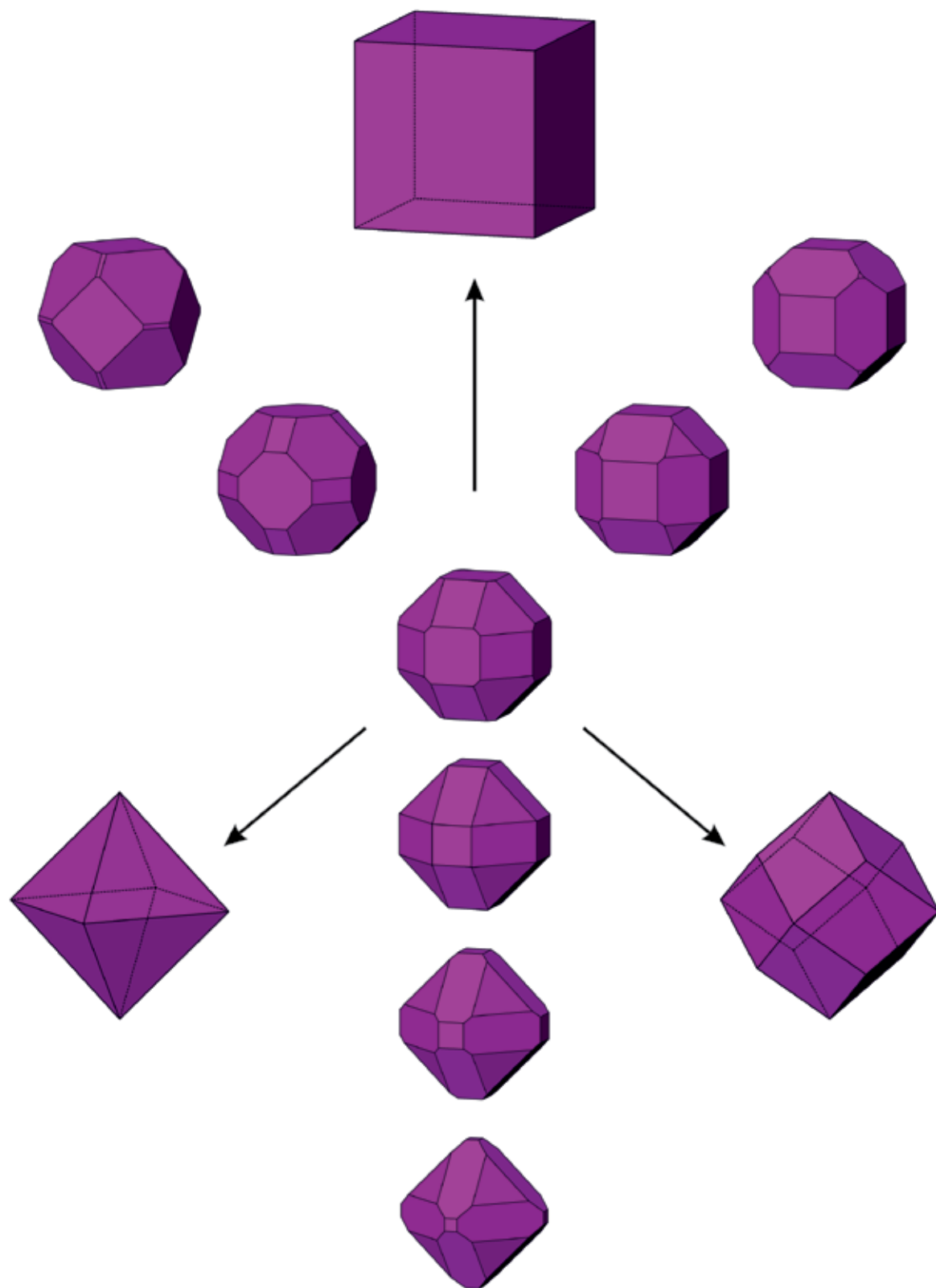
## Combination of positive and negative tetrahedron



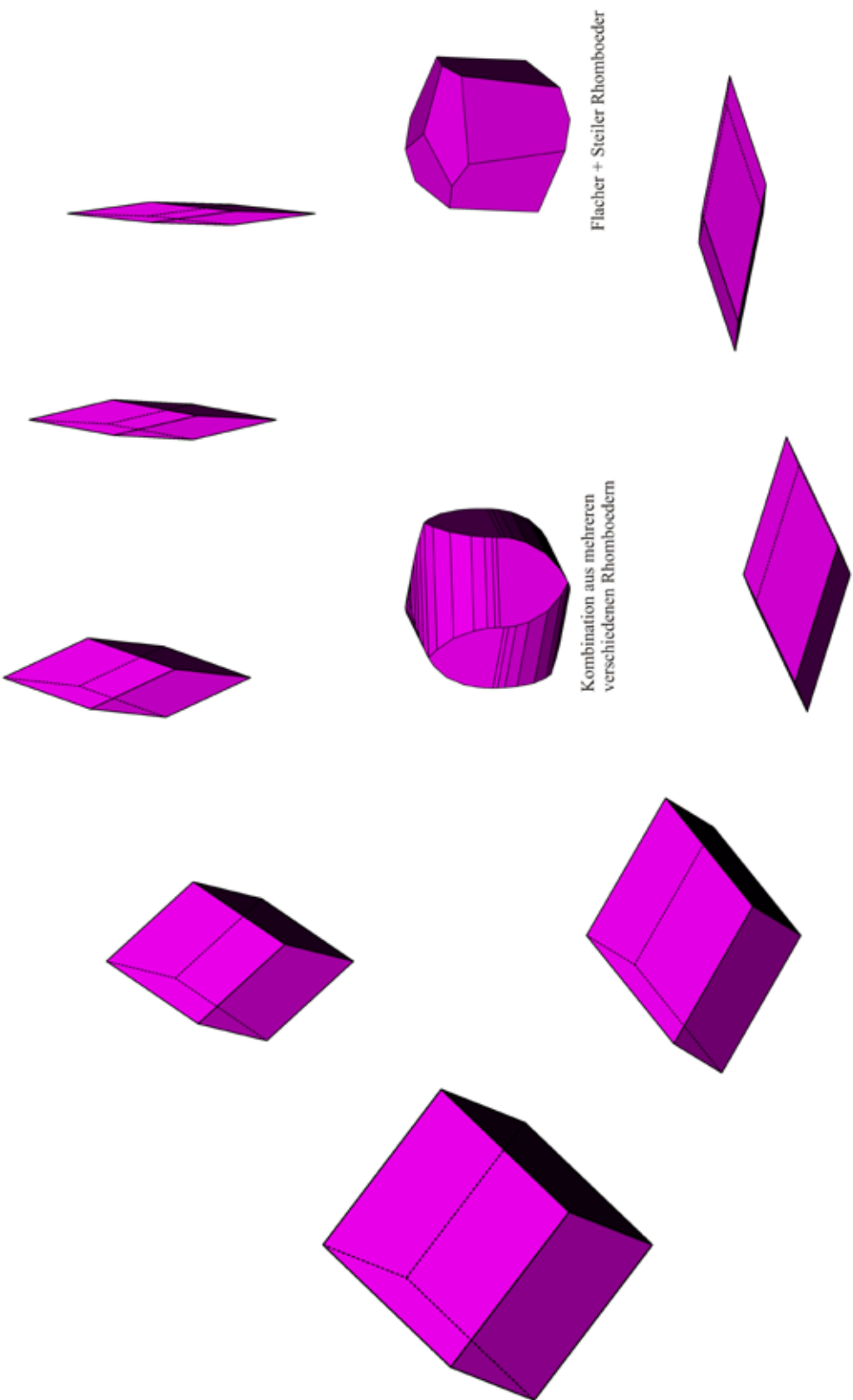
## Kombinationen aus Würfel, Oktaeder und Rhombendodekaeder



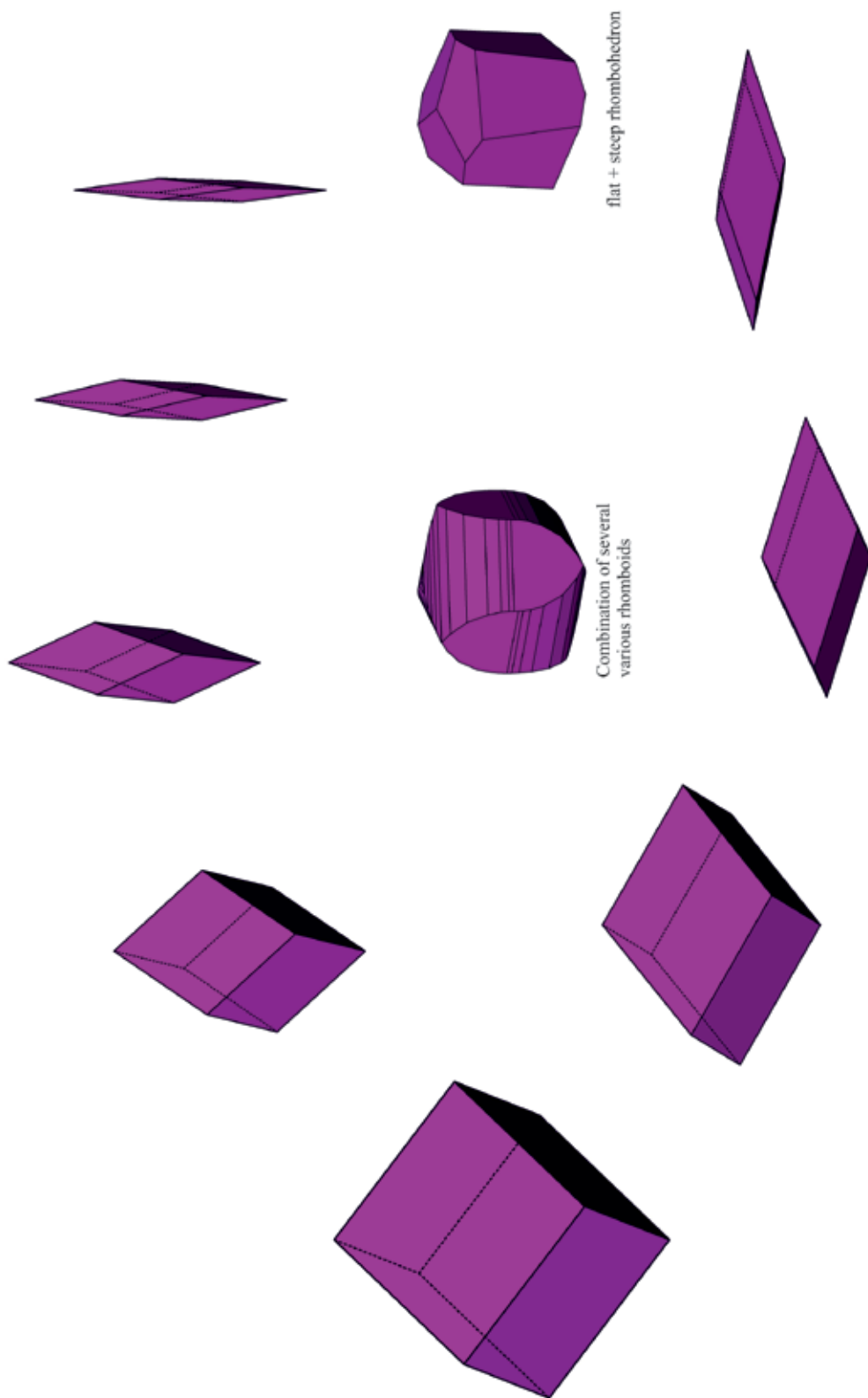
## Combinationen of cube, octahedron and rhombic dodecahedron



## Verschieden steile und flache Rhomboeder

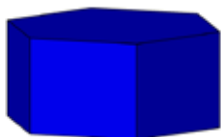


Different steep and flat rhombohedron



**Einige ausgewählte Formen  
und Kombinationen  
nach Mineralbeispielen**

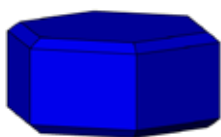
**Some selected crystal forms  
and combinations  
using some mineral examples**

Apatit:

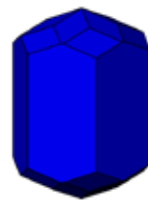
Hexagonales Prisma  
Basispinakoid



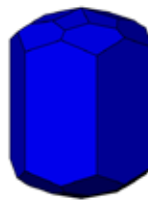
Hexagonales Prisma  
Hex. Dipyramide I. St.  
Hex. Dipyramide II. St.



Hexagonales Prisma  
Basispinakoid  
Hex. Dipyramide I. St.



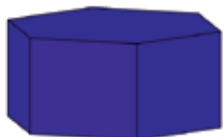
Hexagonales Prisma  
Hex. Dipyramide I. St.  
Hex. Dipyramide II. St.



Hexagonales Prisma  
Hex. Dipyramide I. St.  
Hex. Dipyramide II. St.

Chemische Zusammensetzung  
Kristallsystem  
Elementarzelle  
Raumgruppe  
Ausbildung

:  $\text{Ca}_5[(\text{PO}_4)_3(\text{F},\text{Cl},\text{OH})]$   
: Hexagonal,  $6/m$   
:  $a_0 = 9.38 \text{ \AA}$ ,  $c_0 = 6.89 \text{ \AA}$   
:  $P\bar{6}3/m$   
: Derb, eingewachsen, körnig, kryptokristallin, krustenartig, xx  
säulig, dicktafelig, nadelig

Apatite:

Hexagonal prism  
Basispinacoid



Hexagonal prism  
Hex. dipyr. I. pos.  
Hex. dipyr. II. pos.



Hexagonal prism  
Basispinacoid  
Hex. dipyr. I. pos.



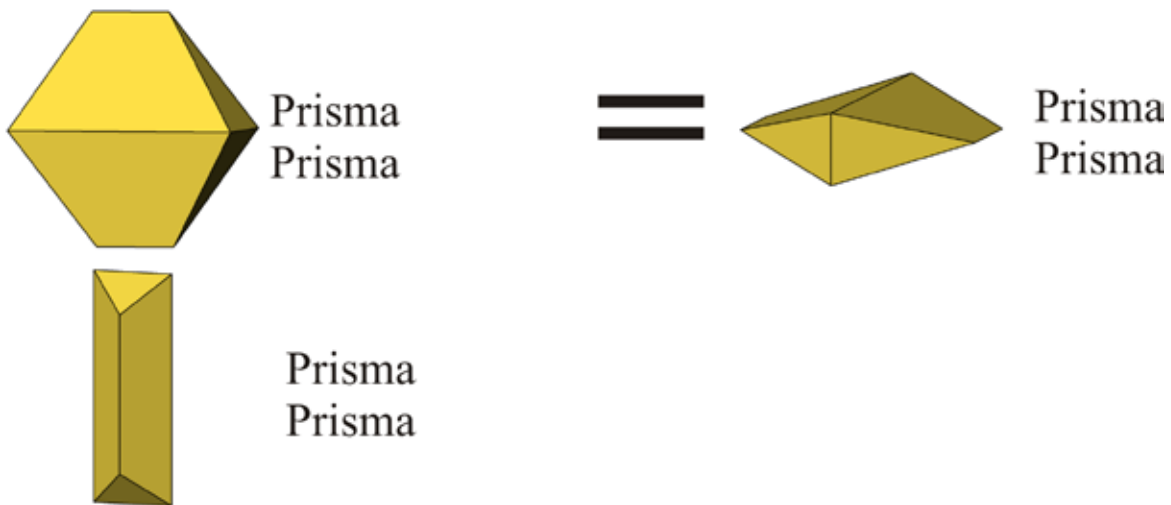
Hexagonal prism  
Hex. dipyr. I. pos.  
Hex. dipyr. II. pos.



Hexagonal prism  
Hex. dipyr. I. pos.  
Hex. dipyr. II. pos.

Chemical composition  
Crystal system  
Elementary cell  
Space group  
Forms

:  $\text{Ca}_5[(\text{PO}_4)_3(\text{F},\text{Cl},\text{OH})]$   
: Hexagonal, 6/m  
:  $a_0 = 9.38 \text{ \AA}$ ,  $c_0 = 6.89 \text{ \AA}$   
: P 63/m  
: Massive, intergrown, granular, cryptocrystalline,  
crusts, xx columnar, tabular, needles

Arsenopyrit:

Chemische Zusammensetzung

: FeAsS

Kristallsystem

: Monoklin, pseudorhomatisch

Elementarzelle

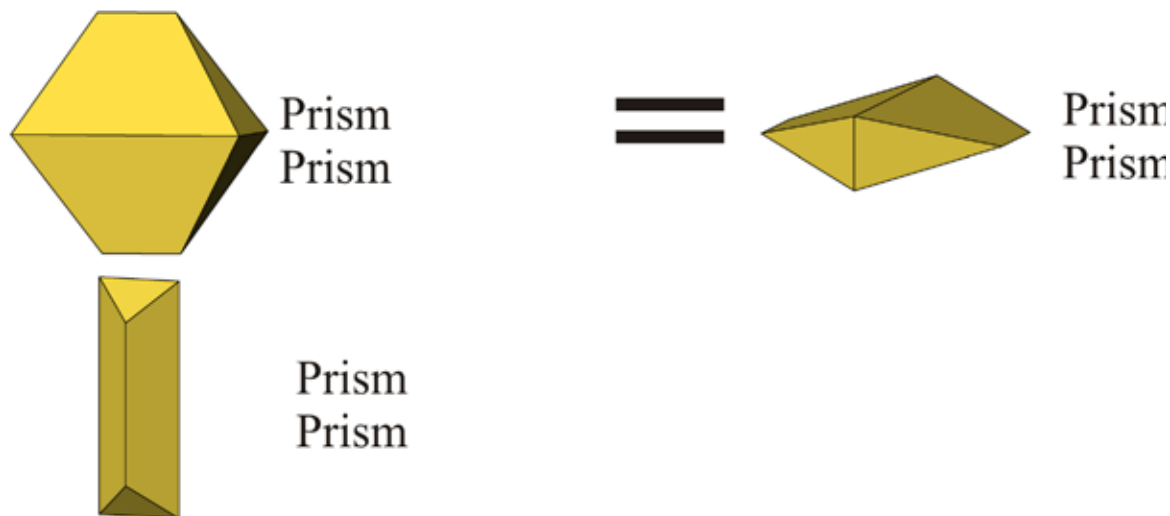
:  $a_0 = 5.74 \text{ \AA}$ ,  $b_0 = 5.68 \text{ \AA}$ ,  $c_0 = 5.79 \text{ \AA}$ ,  $\beta = 112.17^\circ$

Raumgruppe

: P 21/c

Ausbildung

: idiomorphe Kristalle, körnig

*Arsenopyrite:*

Chemical composition

: FeAsS

Crystal system

: Monoclinic, pseudorhombic

Elementary cell

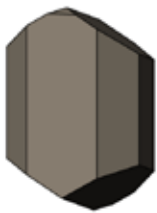
:  $a_0 = 5.74 \text{ \AA}$ ,  $b_0 = 5.68 \text{ \AA}$ ,  $c_0 = 5.79 \text{ \AA}$ ,  $\beta = 112.17^\circ$

Space group

: P 21/c

Forms

: idiomorphic crystals, granular

*Augit:*

Pinakoid  
Prisma  
Pinakoid  
Pinakoid  
Prisma



Pinakoid  
Prisma  
Pinakoid  
Pinakoid  
Prisma

Chemische Zusammensetzung

: (Ca, Mg, Fe, Al, Ti)  $[(Si, Al)_2O_6]$

Kristallsystem

: Monoklin

Elementarzelle

:  $a_o = 9.69 \text{ \AA}$ ,  $b_o = 8.84 \text{ \AA}$ ,  $c_o = 5.28 \text{ \AA}$ ,  $\beta = 106.3^\circ$

Raumgruppe

: C 2/c

Ausbildung

: Kurzprismatische bis tafelige xx, achteckige Querschnitt,  
oft zonar aufgebaut

Augite:

Pinacoid  
Prism  
Pinacoid  
Pinacoid  
Prism



Pinacoid  
Prism  
Pinacoid  
Pinacoid  
Prism

Chemical composition

: (Ca, Mg, Fe, Al, Ti)  $[(Si, Al)_2O_6]$

Crystal system

: monoclinic

Elementary cell

:  $a_o = 9.69 \text{ \AA}$ ,  $b_o = 8.84 \text{ \AA}$ ,  $c_o = 5.28 \text{ \AA}$ ,  $\beta = 106.3^\circ$

Space group

: C 2/c

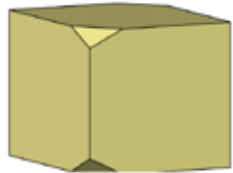
Forms

: short prismatic to tabular xx, 8-cornered cross section, often zonal

## Baryt:

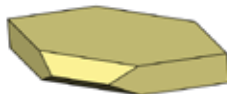


Basispinakoid  
Prisma

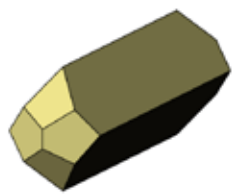


Basispinakoid  
Prisma  
Prisma

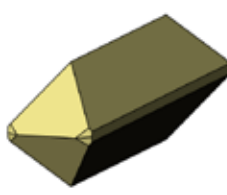
=



Basispinakoid  
Prisma  
Prisma



Prisma  
Prisma  
Prisma



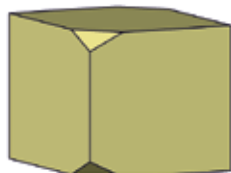
Prisma  
Prisma  
Pinakoid  
Dipyramide

Chemische Zusammensetzung  
Kristallsystem  
Elementarzelle  
Raumgruppe  
Ausbildung

: BaSO<sub>4</sub>  
: Rhombisch, 2/m 2/m 2/m  
:  $a_0 = 8.88\text{\AA}$ ,  $b_0 = 5.45\text{\AA}$ ,  $c_0 = 7.15\text{\AA}$   
: P b n m  
: Dicht, feinkristallin, grobspälig, blättrig, xx meist tafelig oder  
meißelförmig

Baryte:

Basispinacoid  
Prism

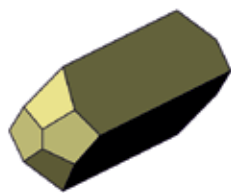


Basispinacoid  
Prism  
Prism

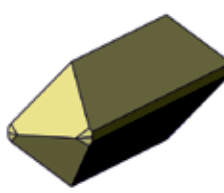
=



Basispinacoid  
Prism  
Prism



Prism  
Prism  
Prism



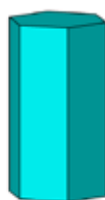
Prism  
Prism  
Pinacoid  
Dipyramid

Chemical composition  
Crystal system  
Elementary cell  
Space group  
Forms

: BaSO<sub>4</sub>  
: Rhombic, 2/m 2/m 2/m  
:  $a_0 = 8.88\text{\AA}$ ,  $b_0 = 5.45\text{\AA}$ ,  $c_0 = 7.15\text{\AA}$   
: P b n m  
: compact, fine crystalline, sparry, laminated, xx mostly  
tabular or chisel form

Beryll:

Hexagonales Prisma  
Basispinakoid



Hexagonales Prisma  
Basispinakoid



Hexagonales Prisma  
Basispinakoid  
Hex. Dipyramide II. St.



Hexagonales Prisma  
Basispinakoid  
Hex. Dipyramide I. St.  
Hex. Dipyramide II. St.

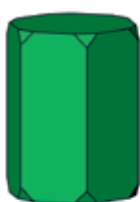
Chemische Zusammensetzung :  $\text{Be}_3\text{Al}_2[\text{Si}_6\text{O}_{18}]$   
 Kristallsystem : hexagonal  
 Elementarzelle :  $a_0 = 9.22\text{\AA}$ ,  $c_0 = 9.19\text{\AA}$   
 Raumgruppe : P 6/m m c  
 Ausbildung : säulig, stengelig, dominierend Prisma (1 0 - 1 0) und Pinakoid (0 0 0 1)

Beryl:

Hexagonal prism  
Basispinacoid



Hexagonal prism  
Basispinacoid



Hexagonal prism  
Basispinacoid  
Hex. dipyramid II. pos.



Hexagonal prisma  
Basispinacoid  
Hex. dipyramid I. pos.  
Hex. dipyramid II. pos.

Chemical composition

:  $\text{Be}_3\text{Al}_2[\text{Si}_6\text{O}_{18}]$

Crystal system

: hexagonal

Elementary cell

:  $a_0 = 9.22\text{\AA}$ ,  $c_0 = 9.19\text{\AA}$

Space group

:  $P\bar{6}/m\ m\ c$

Forms

: columnar, columnar, dominating Prism (1 0 -1 0) and  
Pinakoid (0 0 0 1)

## Biotit:



Basispinakoid  
Prisma  
Pinakoid



Basispinakoid  
Prisma  
Pinakoid



Basispinakoid  
Prisma  
Pinakoid  
Prisma

Chemische Zusammensetzung

:  $K(Mg, Fe)_3[(OH)_2 / AlSi_3O_{10}]$

Kristallsystem

: Monoklin, trioktaedrisches Dreischichtsilikat

Elementarzelle

:  $a_0 = 5.35 \text{ \AA}$ ,  $b_0 = 9.26 \text{ \AA}$ ,  $c_0 = 10.23 \text{ \AA}$ ,  $\beta = 100.3^\circ$

Raumgruppe

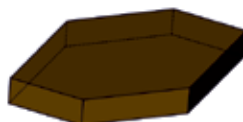
: C 2/m

Ausbildung

: Tafelig, plattig, schuppig

Biotite:

Basispinacoid  
Prism  
Pinacoid



Basispinacoid  
Prism  
Pinacoid



Basispinacoid  
Prism  
Pinacoid  
Prism

Chemical composition

: K<sub>2</sub>(Mg, Fe)<sub>3</sub>[(OH)<sub>2</sub> / AlSi<sub>3</sub>O<sub>10</sub>]

Crystal system

: monoclinic, trioktaedric 3-layered silicate

Elementary cell

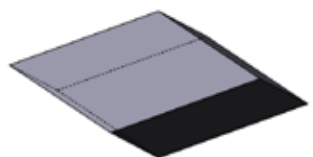
:  $a_0 = 5.35 \text{ \AA}$ ,  $b_0 = 9.26 \text{ \AA}$ ,  $c_0 = 10.23 \text{ \AA}$ ,  $\beta = 100.3^\circ$

Space group

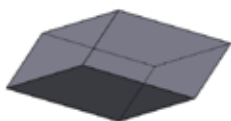
: C 2/m

Forms

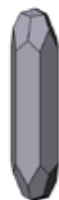
: tabular, bladed, flaky

Calcit:

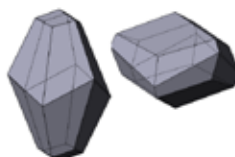
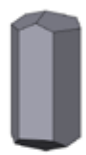
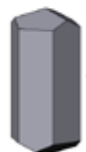
positiver Rhomboeder

negativer  
Rhomboeder

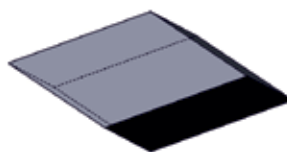
negativer Rhomboeder

pos. Rhomboeder  
Prisma  
Skalenoeder

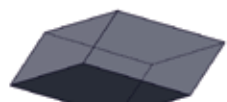
Skalenoeder

Skalenoeder  
(+)-RhomboederPrisma  
(-)-RhomboederPrisma  
(+)-Rhomboeder

Chemische Zusammensetzung	: $\text{CaCO}_3$
Kristallsystem	: Trigonal, -3m
Elementarzelle	: $a_0 = 4.99$ , $c_0 = 17.06$
Raumgruppe	: R-3c
Ausbildung	: Gesteinsbildend, dicht, oolithisch, derb grobspätig, sehr verschieden (formenreiches Mineral!), z.B. Rhomboeder und Skalenoeder, säulige xx u.a

Calcite:

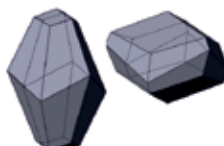
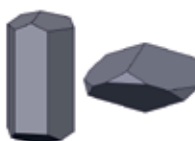
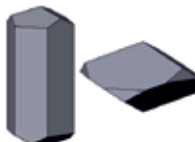
positive Rhombohedron

negative  
Rhombohedron

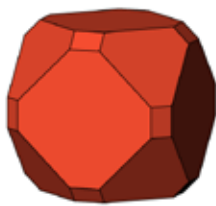
negative Rhombohedron

pos. Rhombohedron  
Prism  
Scalenohedron

Scalenohedron

Skalenoeder  
(+)-RhombohedronPrism  
(-)-RhombohedronPrism  
(+)-Rhombohedron

Chemical composition	: CaCO <sub>3</sub>
Crystal system	: trigonal, -3m
Elementary cell	: a <sub>0</sub> = 4.99, c <sub>0</sub> = 17.06
Space group	: R-3c
Forms	: Rock forming mineral, compact, oolithic, massive sparry, xx very different xx (different shapes of this Mineral!), example Rhombohedra and Scalenohedra, columnar xx a.o.

Cuprit:

Hexaeder  
Oktaeder  
Rhombendodekaeder

=



Hexaeder  
Oktaeder  
Rhombendodekaeder



Hexaeder  
Oktaeder  
Pentagonikositetraeder

Chemische Zusammensetzung

: Cu<sub>2</sub>O

Kristallsystem

: Kubisch

Elementarzelle

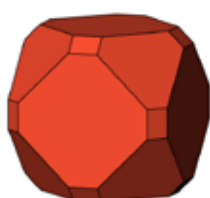
:  $a_0 = 4.27 \text{ \AA}$

Raumgruppe

: Pn3m

Ausbildung

: Derb. eingesprengt. Würfel. Oktaeder. nadelige

Cuprite:

Hexahedron  
Octahedron  
Rhombic dodecahedron



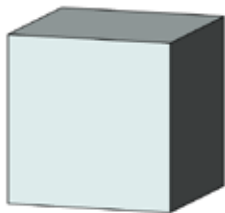
Hexahedron  
Octahedron  
Rhombic dodecahedron



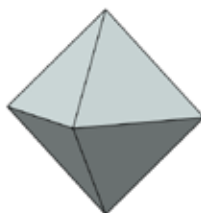
Hexahedron  
Octahedron  
Pentagonal icositetrahedron

Chemical composition	: Cu <sub>2</sub> O
Crystal system	: cubic
Elementary cell	: $a_0=4.27 \text{ \AA}$
Space group	: Pn3m
Forms	: passive, disseminated, cubes, octahedra, needle x

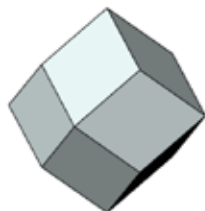
## Diamant:



Hexaeder



Oktaeder



Rhombendodekaeder



Tetrakishexaeder



Hexakisoktaeder

Oktaeder  
Hexakisoktaeder

Chemische Zusammensetzung

: C

Kristallsystem

: Kubisch

Elementarzelle

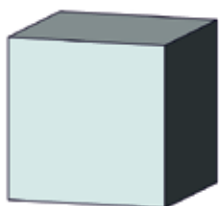
:  $a_0 = 3.559 \text{ \AA}$

Raumgruppe

: F d3m

Ausbildung

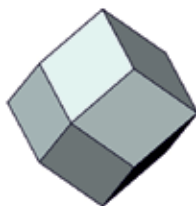
: Oktaeder, Rhombendodekaeder, Würfel,  
meist abgerundet

Diamond:

Hexahedron



Octahedron



Rhombic dodecahedron



Tetrakis hexahedron



Hexakis octahedron

Octahedron  
Hexakis octahedron

Chemical composition

: C

Crystal system

: cubic

Elementary cell

:  $a_0 = 3.559 \text{ \AA}$ 

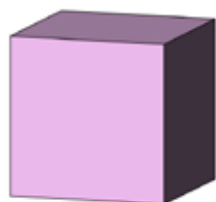
Space group

: F d3m

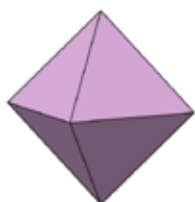
Forms

: octahedra, rhombic dodecahedron, cubes, xx  
mostly rounded

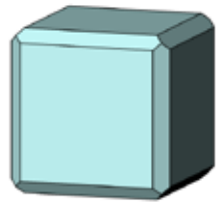
## Fluorit:



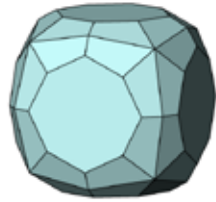
Hexaeder



Oktaeder

Hexaeder  
OktaederOktaeder  
RhombendodekaederHexaeder  
Rhombendodekaeder

Tetrakishexaeder

Hexaeder  
Hexakisoktaeder

Chemische Zusammensetzung

:  $\text{CaF}_2$ 

Kristallsystem

: Kubisch

Elementarzelle

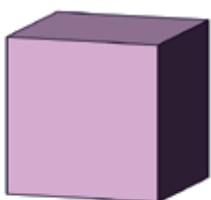
:  $a_0 = 5.46 \text{ \AA}$ 

Raumgruppe

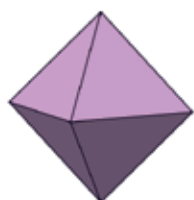
: F m3m

Ausbildung

: Derb, grobspälig. Würfel, Oktaeder,  
Rhombendodekaeder, oft grobkristallin

Fluorite:

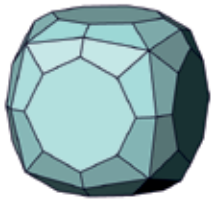
Hexahedron



Octahedron

Hexahedron  
OctahedronOctahedron  
Rhombic dodecahedronHexahedron  
Rhombic dodecahedron

Tetrakis hexahedron

Hexahedron  
Hexakis octahedron

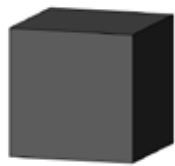
Chemical composition  
Crystal system  
Elementary cell  
Space group  
Forms

:  $\text{CaF}_2$   
: cubic  
:  $a_0 = 5.46 \text{ \AA}$   
:  $F\bar{m}3m$   
: massive, grobspätig, cubes, octahedra,  
Rhombic dodecahedron, often crystalline.

## Galenit:



Oktaeder

div.  
Kub-Oktaeder

Würfel

Würfel  
Oktaeder  
Rhombendodekaeder

Chemische Zusammensetzung

: PbS

Kristallsystem

: Kubisch, NaCl-Gitter

Elementarzelle

:  $a_0 = 5.94 \text{ \AA}$ 

Raumgruppe

: Fm 3 m

Ausbildung

: Derb, eingesprengt, Würfel, Oktaeder,  
Rhombendodekaeder, oft Kombinationen

Galenite:

Octahedron

various  
Cube-Octahedron

Cube

Cube  
Octahedron  
Rhombic dodecahedron

Chemical composition

: PbS

Crystal system

: cubic, NaCl-lattice

Elementary cell

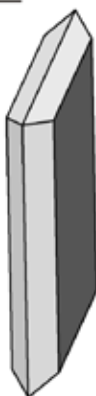
:  $a_0 = 5.94 \text{ \AA}$ 

Space group

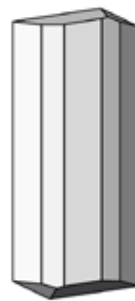
: F m 3 m

Forms

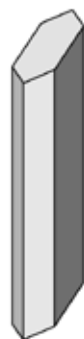
: massive, disseminated, cubes, octahedra,  
rhombic dodecahedron, often combinations

Gips:

Prisma  
Prisma  
Pinakoid



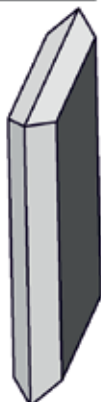
Prisma  
Prisma  
Prisma  
Prisma  
Pinakoid



Prisma  
Basispinakoid  
Pinakoid

Chemische Zusammensetzung  
Kristallsystem  
Elementarzelle  
Raumgruppe  
Ausbildung

:  $\text{CaSO}_4 \cdot 2\text{H}_2\text{O}$   
: Monoklin, 2/m  
:  $a_0 = 5.68\text{\AA}$ ,  $b_0 = 15.18\text{\AA}$ ,  $c_0 = 6.89\text{\AA}$ ,  $\beta = 113.83^\circ$   
: A 2/a  
: Dicht, feinkörnig, faserig, xx nadelig, primatisch,  
tafelig, oft Schwalbenschwanzzwillinge

Gypsum:

Prism  
Prism  
Pinacoid



Prism  
Prism  
Prism  
Prism  
Pinacoid



Prism  
Basispinacoid  
Pinacoid

Chemical composition  
Crystal system  
Elementary cell  
Space group  
Forms

:  $\text{CaSO}_4 \cdot 2\text{H}_2\text{O}$   
: monoclinic,  $2/m$   
:  $a_0 = 5.68\text{\AA}$ ,  $b_0 = 15.18\text{\AA}$ ,  $c_0 = 6.89\text{\AA}$ ,  $\beta = 113.83$   
: A 2/a  
: compact, finely granular, fibrous, xx needles,  
prismatic, tabular, often dove tail twins

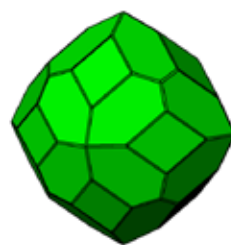
## Granat:



Rhombendodekaeder



Deltoidikositetraeder

Rhombendodekaeder  
DeltoidikositetraederRhombendodekaeder  
Deltoidikositetraeder  
Tetrakis hexaeder  
Hexakisoktaeder  
Trisoktaeder

Chemische Zusammensetzung

:  $X_3Y_2[SiO_4]_3$   
 X: Mg, Fe<sup>2+</sup>, Mn<sup>2+</sup>, Ca (8er Koordinat.)  
 Y: Al, Fe<sup>3+</sup>, Cr<sup>3+</sup>, V<sup>3+</sup> (6er Koordinat)  
 Für (SiO<sub>4</sub>) auch (AlO<sub>4</sub>) oder (OH)

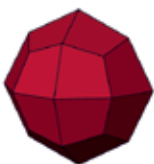
Kristallsystem  
Ausbildung

: Kubisch  
 : Rhombendodekaeder (110), Deltoidikositetraeder (211)

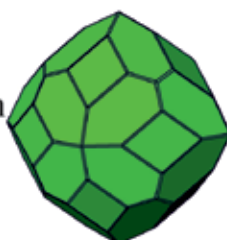
**„Pyralspite“**Pyrop:  $Mg_3Al_2[SiO_4]_3$ Almandin:  $Fe_3Al_2[SiO_4]_3$ Spressartin:  $Mn_3Al_2[SiO_4]_3$ **“Ugrandite”**Uwarowit:  $Ca_3Cr_2[SiO_4]_3$ Grossular:  $Ca_3Al_2[SiO_4]_3$ Andradit:  $Ca_3Fe_2[SiO_4]_3$

Garnet:

Rhombic dodecahedron



Deltoidal icositetrahedron

Rhombic dodecahedron  
Deltoidal  
icositetrahedronRhombic dodecahedron  
Deltoidal icositetrahedron  
Tetrakis hexahedron  
Hexakis octahedron  
Trisoctahedron

Chemical composition

 $X_3Y_2[SiO_4]_3$   
 X: Mg, Fe<sup>2+</sup>, Mn<sup>2+</sup>, Ca (8 coord.)  
 Y: Al, Fe<sup>3+</sup>, Cr<sup>3+</sup>, V<sup>3+</sup> (6 coord.)  
 $(SiO_4)$  replaced by  $(AlO_4)$  or  $(OH)$ 

Crystal system

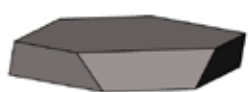
: cubic

Forms

: Rhombic dodecahedron (110), Deltoidikositetrahedron (211)

**„Pyralspite“**Pyrop:  $Mg_3Al_2[SiO_4]_3$ Almandin:  $Fe_3Al_2[SiO_4]_3$ Spessartine:  $Mn_3Al_2[SiO_4]_3$ **“Ugrandite”**Uwarowite:  $Ca_3Cr_2[SiO_4]_3$ Grossular:  $Ca_3Al_2[SiO_4]_3$ Andradite:  $Ca_3Fe_2[SiO_4]_3$

## Hämatit:



Rhomboeder  
Basispinakoid



Rhomboeder  
Basispinakoid



Dipyramide  
Basispinakoid



Rhomboeder  
Dipyramide



Rhomboeder  
Dipyramide  
Rhomboeder

Chemische Zusammensetzung

:  $\text{Fe}_2\text{O}_3$

Kristallsystem

: Trigonal

Elementarzelle

:  $a_0 = 5.03\text{\AA}$ ,  $c_0 = 13.74\text{\AA}$

Raumgruppe

: R -3c

Ausbildung

: Erdig, schuppig, radialstrahlig, knollig, nierig, xx  
tafelig, plattig

Hematite:

Rhombohedron  
Basispinacoid



Rhombohedron  
Basispinacoid



Dipyramid  
Basispinacoid



Rhombohedron  
Dipyramid



Rhombohedron  
Dipyramid  
Rhombohedron

Chemical composition

:  $\text{Fe}_2\text{O}_3$

Crystal system

: trigonal

Elementary cell

:  $a_0 = 5.03\text{\AA}$ ,  $c_0 = 13.74\text{\AA}$

Space group

: R -3c

Forms

: earthy, flaky, radial, nodular, nieri, xx  
tabular, platy

## Korund:



Prisma  
Basispinakoid



Prisma  
Basispinakoid  
Dipyramide



Prisma  
Basispinakoid  
Dipyramide  
Dipyramide  
Rhomboeder

Chemische Zusammensetzung

:  $\text{Al}_2\text{O}_3$

Kristallsystem

: Trigonal

Elementarzelle

:  $a_0=4.75 \text{ \AA}$ ,  $c_0=12.98 \text{ \AA}$

Raumgruppe

: R-3c

Ausbildung

: Eingesprengt, säulige bis tonnenförmig, meist mit Flächenstreifung

## Corundum:



Prism  
Basispinacoid

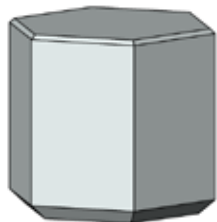


Prism  
Basispinacoid  
Dipyramid

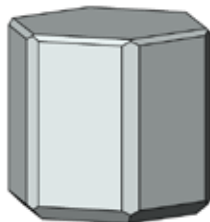


Prism  
Basispinacoid  
Dipyramid  
Dipyramid  
Rhombohedron

Chemical composition	: $\text{Al}_2\text{O}_3$
Crystal system	: Trigonal
Elementary cell	: $a_0=4.75 \text{ \AA}$ , $c_0=12.98 \text{ \AA}$
Space group	: R-3c
Forms	: disseminated, columnar to barrel like forms xx, mostly with streaking

Nephelin:

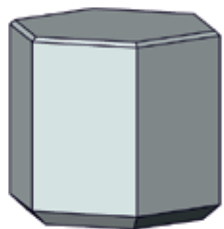
Prisma  
Basispedion  
Basispedion  
Pyramide  
Pyramide



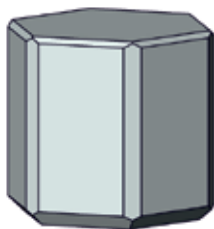
Prisma  
Basispedion  
Basispedion  
Pyramide  
Pyramide  
Prisma

Chemische Zusammensetzung	: $KNa_3[AlSiO_4]$
Kristallsystem	: Hexagonal
Elementarzelle	: $a_0 = 9.99 \text{ \AA}$ , $c_0 = 8.37 \text{ \AA}$
Raumgruppe	: $P\bar{6}_3$
Ausbildung	: Derb. selten säulig

## Nepheline:



Prism  
[Basispedia](#)  
[Basispedia](#)  
Pyramid  
Pyramid

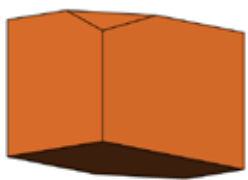


Prism  
[Basispedia](#)  
[Basispedia](#)  
Pyramid  
Pyramid  
Prism

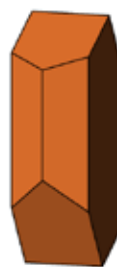
Chemical composition  
Crystal system  
Elementary cell  
Space group  
Forms

:  $\text{KNa}_3[\text{Al SiO}_4]_4$   
: hexagonal  
:  $a_0 = 9.99 \text{ \AA}$ ,  $c_0 = 8.37 \text{ \AA}$   
:  $P\ 6_3$   
: massive, rare column crystals xx

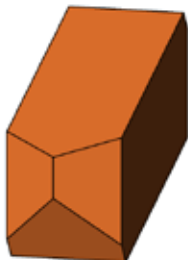
## Orthoklas:



Prisma  
Pinakoid  
Pinakoid



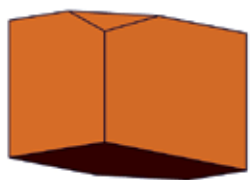
Prisma  
Basispinakoid  
Pinakoid  
Pinakoid



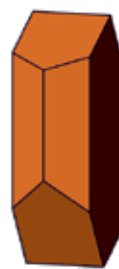
Prisma  
Pinakoid  
Basispinakoid  
Pinakoid

Chemische Zusammensetzung	: $K[AlSi_3O_8]$ „Kalifeldspat“
Kristallsystem	: Monoklin
Elementarzelle	: $a_0 = 8.62 \text{ \AA}$ , $b_0 = 12.99 \text{ \AA}$ , $c_0 = 7.19 \text{ \AA}$ , $\beta = 116.02^\circ$
Raumgruppe	: $C\bar{2}/m$
Ausbildung	: Gesteinsbildend, tafelig, prismatisch, häufig Zwillinge (Karlsbader, Manebacher, Bavenoer Gesetz)

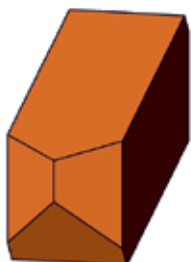
## Orthoclase:



Prism  
Pinacoid  
Pinacoid



Prism  
Basispinacoid  
Pinacoid  
Pinacoid

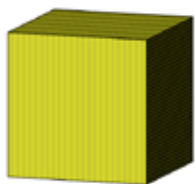


Prism  
Pinacoid  
Basispinacoid  
Pinacoid

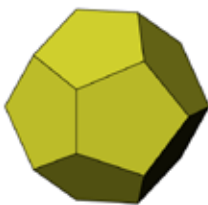
Chemical composition  
Crystal system  
Elementary cell  
Space group  
Forms

: K[Al Si<sub>3</sub>O<sub>8</sub>] „Kalifeldspat“  
: monoclinic  
:  $a_0 = 8.62 \text{ \AA}$ ,  $b_0 = 12.99 \text{ \AA}$ ,  $c_0 = 7.19 \text{ \AA}$ ,  $\beta = 116.02^\circ$   
: C 2/m  
: rockforming mineral, xx tabular, prismatic, common twins (Karlsbader, Manebacher, Bavenoer twin law)

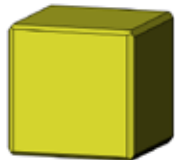
## Pyrit:



Würfel (Hexaeder) mit  
Flächenstreifung



Pentagondodekaeder



Pentagondodekaeder  
Würfel (Hexaeder)



Pentagondodekaeder  
Würfel (Hexaeder)



Pentagondodekaeder  
Oktaeder  
= "Pseudo-Ikosaeder"



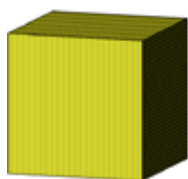
Pentagondodekaeder  
Oktaeder

Chemische Zusammensetzung  
Kristallsystem

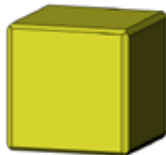
: FeS<sub>2</sub>  
: Kubisch: Struktur: ähnlich NaCl, S<sub>2</sub>-Hanteln liegen  
parallel (1 1 1)

Elementarzelle  
Raumgruppe  
Ausbildung

:  $a_0 = 5.42 \text{ \AA}$   
: P a 3  
: Derb, eingesprengt, Würfel (oft mit Flächenstreifung),  
Oktaeder, Pentagondodekaeder

*Pyrite:*Cube (hexahedron) with  
surface stripping

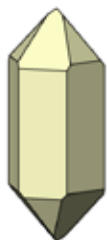
Pentagonal dodecahedron

Pentagonal dodecahedron  
Cube (hexahedron)Pentagonal dodecahedron  
Cube (hexahedron)Pentagonal dodecahedron  
Octahedron  
= "Pseudo-icosahedron"Pentagonal dodecahedron  
Octahedron

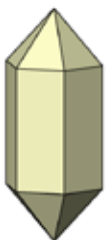
Chemical composition  
Crystal system  
Elementary cell  
Space group  
Forms

: FeS<sub>2</sub>  
: cubic Structure; similar to NaCl, S<sub>2</sub>-barbells parallel (1 1 1 )  
:  $a_0 = 5.42 \text{ \AA}$   
: P a 3  
: massive, disseminated, cubes, (often with plane striations),  
octahedron, pentagonal dodecahedron

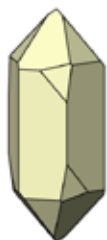
## Quarz:



Hexagonales Prisma  
pos. Rhomboeder  
neg. Rhomboeder



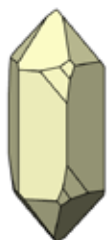
Hexagonales Prisma  
Hex. Dipyramide  
**Hochquarz!**  
(andere Symmetrie)



Hexagonales Prisma  
pos. Rhomboeder  
neg. Rhomboeder  
rechter Trapezoeder



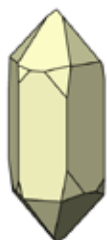
Hexagonales Prisma  
pos. Rhomboeder  
neg. Rhomboeder  
linker Trapezoeder



Hexagonales Prisma  
pos. Rhomboeder  
neg. Rhomboeder  
rechter Trapezoeder  
rechte Dipyramide

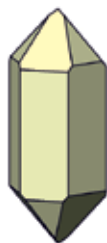


Hexagonales Prisma  
pos. Rhomboeder  
neg. Rhomboeder  
linker Trapezoeder  
linke Dipyramide

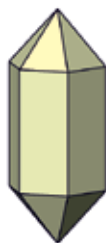


Hexagonales Prisma  
pos. Rhomboeder  
neg. Rhomboeder  
“linker”  
“rechter” Trapezoeder

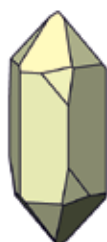
Chemische Zusammensetzung	: SiO <sub>2</sub>
Kristallsystem	: Trigonal
Elementarzelle	: $a_0 = 4.91 \text{ \AA}$ , $c_0 = 5.40 \text{ \AA}$
Raumgruppe	: P 3 <sub>1</sub> 2 1, P 3 <sub>2</sub> 2 1
Ausbildung	: derb, schöne Kristalle, z.T. wasserklar

Quartz:

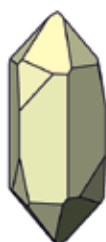
Hexagonal prism  
pos. rhombohedron  
neg. rhombohedron



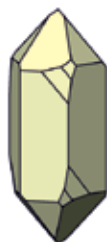
Hexagonal prism  
Hex. dipyramid  
**high quartz!**  
(other symmetry)



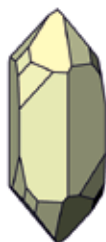
Hexagonal prism  
pos. rhombohedron  
neg. rhombohedron  
right trapezohedron



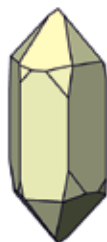
Hexagonal prism  
pos. rhombohedron  
neg. rhombohedron  
left trapezohedron



Hexagonal prism  
pos. rhombohedron  
neg. rhombohedron  
right trapezohedron  
right dipyramid



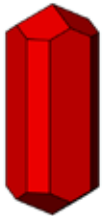
Hexagonal prism  
pos. rhombohedron  
neg. rhombohedron  
left trapezohedron  
left dipyramid



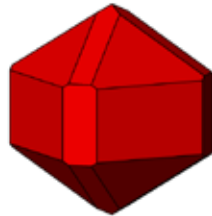
Hexagonal prism  
pos. rhombohedron  
neg. rhombohedron  
“left”  
“right” Trapezohedron

Chemical composition	: SiO <sub>2</sub>
Crystal system	: trigonal
Elementary cell	: $a_0 = 4.91 \text{ \AA}$ , $c_0 = 5.40 \text{ \AA}$
Space group	: P 3 <sub>1</sub> 2 1, P 3 <sub>2</sub> 2 1
Forms	: massive, nice crystals, partially clear transparent

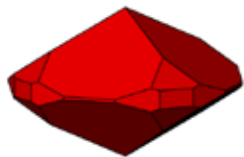
## Rutil:



Prisma  
Prisma  
Dipyramide



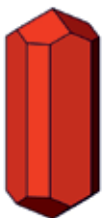
Prisma  
Prisma  
Dipyramide  
Dipyramide



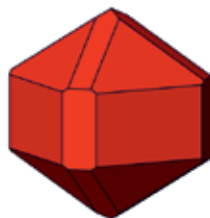
Prisma  
Prisma  
Dipyramide  
Dipyramide  
ditetragonales Prisma

Chemische Zusammensetzung	: $\text{TiO}_2$
Kristallsystem	: Tetragonal
Elementarzelle	: $a_o = 4.594\text{\AA}$ , $c_o = 2.958\text{\AA}$
Raumgruppe	: $P\bar{4}/mnm$
Ausbildung	: Derb, nadelige, stengelig, häufig Verzwilligung (Winkel 120°)

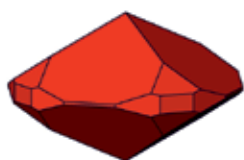
## Rutile:



Prism  
Prism  
Dipyramid



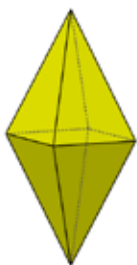
Prism  
Prism  
Dipyramid  
Dipyramid



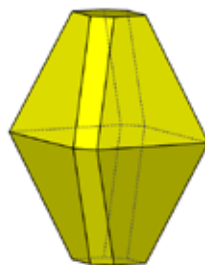
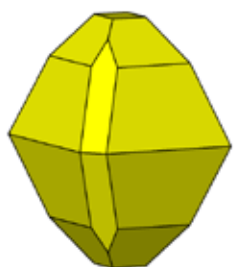
Prism  
Prism  
Dipyramid  
Dipyramid  
Ditetragonal prism

Chemical composition	: $\text{TiO}_2$
Crystal system	: tetragonal
Elementary cell	: $a_0=4.594\text{\AA}$ , $c_0=2.958\text{\AA}$
Space group	: $P\bar{4}/m\bar{n}m$
Forms	: massive, nadelige, columnar, common twins (angle $120^\circ$ ), gratlike aggregates

## Schwefel:



Dipyramide

Dipyramide  
Basispinakoid  
PrismaDipyramide  
Dipyramide  
Basispinakoid  
Prisma

=

**Kopfbild**  
Dipyramide  
Dipyramide  
Basispinakoid  
Prisma

Chemische Zusammensetzung

: S

Kristallsystem

: orthorhombisch

Elementarzelle

:  $a_0 = 10.45 \text{ \AA}$ ,  $b_0 = 12.85 \text{ \AA}$ ,  $c_0 = 24.46 \text{ \AA}$ 

Raumgruppe

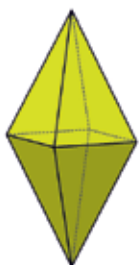
: F ddd

Besonderheiten

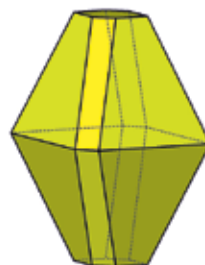
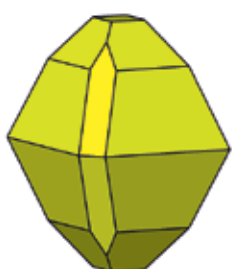
: bis  $95^\circ$  orthorhombisch, ab  $95^\circ$  monoklin,  
Schmelzpunkt  $119,2^\circ\text{C}$ Ringförmige  $\text{S}_8$ -Moleküle, zwischen den Molekülen  
nur Van-der-Waalsche Bindung

Ausbildung

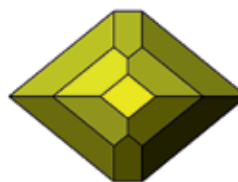
: Derbe, dichte, erdige Aggregate, pyramidale und  
sphenoidische xx

Sulfur:

Dipyramid

Dipyramid  
Basispinacoid  
PrismDipyramid  
Dipyramid  
Basispinacoid  
Prism

=

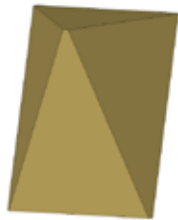
**Headshot**  
Dipyramid  
Dipyramid  
Basispinacoid  
Prism

Chemical composition	: S
Crystal system	: orthorhombic
Elementary cell	: $a_0 = 10.45 \text{ \AA}$ , $b_0 = 12.85 \text{ \AA}$ , $c_0 = 24.46 \text{ \AA}$
Space group	: F ddd
Specials	: up to $95^\circ$ orthorhombic, ab $95^\circ$ monoclinic, Melting point $119.2^\circ\text{C}$ Ringlike $\text{S}_8$ -Molecules, between molecules only Van-der-Waalsche Bonding
Forms	: massive, compact, earthy aggregates, pyramidal and sphenoidal xx

## Siderit:



Rhomboeder

Rhomboeder  
SkalenoederRhomboeder  
BasispinakoidRhomboeder  
Skalenoeder  
Skalenoeder  
RhomboederRhomboeder  
Basispinakoid  
Rhomboeder  
Skalenoeder

Chemische Zusammensetzung

:  $\text{FeCO}_3$ 

Kristallsystem

: Trigonal, -3m

Elementarzelle

:  $a_0 = 4.72$ ,  $c_0 = 15.46$ 

Raumgruppe

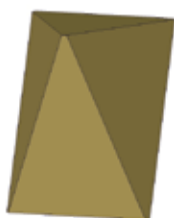
: R -3c

Ausbildung

: Feinkörnig bis grobspätig, rhomboedrische xx

Siderite:

Rhombohedron

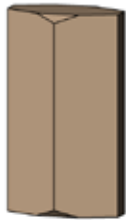
Rhombohedron  
ScalenohedronRhombohedron  
Scalenohedron  
Scalenohedron  
RhombohedronRhombohedron  
BasispinacoidRhombohedron  
Basispinacoid  
Rhombohedron  
Scalenohedron

Chemical composition : FeCO<sub>3</sub>  
Crystal system : trigonal, -3m  
Elementary cell :  $a_0 = 4.72$ ,  $c_0 = 15.46$   
Space group : R -3c  
Forms : Fine granular, sparry, rhomboedric xx

## Staurolith:



Prisma  
Basispinakoid  
Pinakoid  
Prisma



Prisma  
Basispinakoid  
Pinakoid  
Prisma

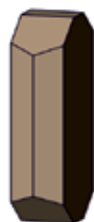


Prisma  
Basispinakoid  
Pinakoid  
Prisma

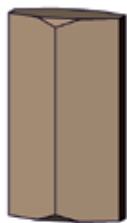
Chemische Zusammensetzung  
Kristallsystem  
Elementarzelle  
Raumgruppe  
Ausbildung

:  $(\text{Fe}, \text{Mg})_2\text{Al}_9(\text{Si}, \text{Al})_4\text{O}_{20}(\text{O}, \text{OH})_2$   
: Monoklin  
:  $a_0 = 7.863 \text{ \AA}$ ,  $b_0 = 16.61 \text{ \AA}$ ,  $c_0 = 5.65 \text{ \AA}$ ,  $\beta = 90-93^\circ$   
: C 2/m  
: Gesteinsbildend, tafelig, prismatisch, häufig

## Staurolite:



Prism  
Basispinacoid  
Pinacoid  
Prism



Prism  
Basispinacoid  
Pinacoid  
Prism



Prism  
Basispinacoid  
Pinacoid  
Prism

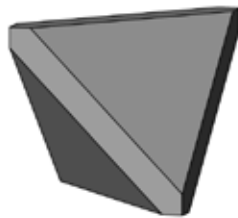
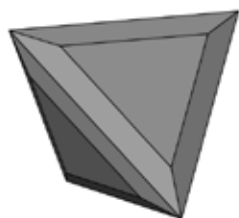
Chemical composition  
Crystal system  
Elementary cell  
Space group  
Forms

: Staurolite  $(\text{Fe}, \text{Mg})_2\text{Al}_9(\text{Si}, \text{Al})_4\text{O}_{20}(\text{O}, \text{OH})_2$   
: monoclinic  
:  $a_0 = 7.863 \text{ \AA}$ ,  $b_0 = 16.61 \text{ \AA}$ ,  $c_0 = 5.65 \text{ \AA}$ ,  $\beta = 90-93^\circ$   
: C 2/m  
: Rock forming mineral, xx tabular, prismatic, common

## Tetraedrit:



Tetraeder

Tetraeder  
HexaederTetraeder  
TristetraederTetraeder  
Tristetraeder  
Rhomboeder

Chemische Zusammensetzung

: Cu<sub>12</sub>Sb<sub>4</sub>S<sub>13</sub>, z. T. mit Ag-, Hg-, Zn-Gehalten

Kristallsystem

: kubisch

Elementarzelle

:  $a_0 = 10.36 \text{ \AA}$

Raumgruppe

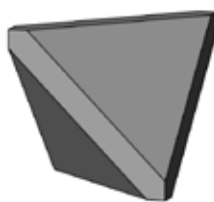
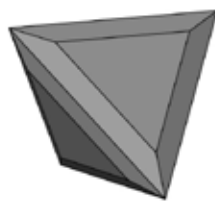
: I-4 3 m

Ausbildung

: derb, tetraedr. Ausbildung, mit Calcit, Quarz  
verwachsen

Tetraedrite:

Tetrahedron

Tetrahedron  
HexahedronTetrahedron  
TristetrahedronTetrahedron  
Tristetrahedron  
Rhombohedron

Chemical composition

: Cu<sub>12</sub>Sb<sub>4</sub>S<sub>13</sub>, z. T. with Ag-, Hg, Zn-Content

Crystal system

: cubic

Elementary cell

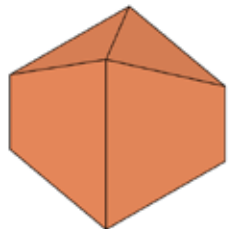
:  $a_0=10.36 \text{ \AA}$ 

Space group

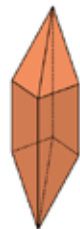
: I -4 3 m

Forms

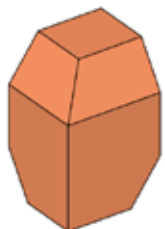
: massive, tetraedr. Forms, with calcite, quartz , intergrown

Titanit:

Prisma  
Prisma



Prisma  
Prisma



Prisma  
Basispinakoid  
Prisma

Chemische Zusammensetzung

: CaTi [O / SiO<sub>4</sub> ]

Kristallsystem

: Monoklin

Elementarzelle

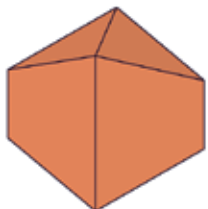
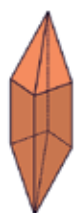
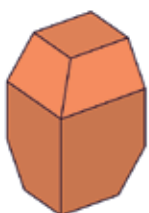
:  $a_0=7.06\text{ \AA}$ ,  $b_0=8.71\text{ \AA}$ ,  $c_0=6.56\text{ \AA}$ ,  $\beta=113.8^\circ$

Raumgruppe

: P2<sub>1</sub>/a

Ausbildung

: Eingesprengter, oft Briefkuvertförmig, stengelig,  
tafelig

Titanite:Prism  
PrismPrism  
PrismPrism  
Basispinacoid  
Prism

Chemical composition

: CaTi [O / SiO<sub>4</sub> ]

Crystal system

: monoclinic

Elementary cell

:  $a_0=7.06\text{ \AA}$ ,  $b_0=8.71\text{ \AA}$ ,  $c_0=6.56\text{ \AA}$ ,  $\beta=113.8^\circ$ 

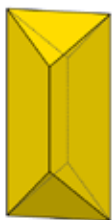
Space group

: P2<sub>1</sub>/a

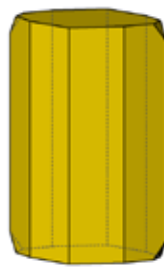
Forms

: disseminated, xx often envelope shape, columnar,  
tabular

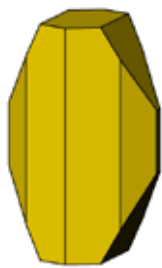
## Topas:



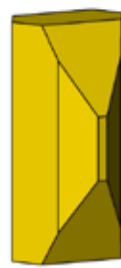
Prisma  
Basispinakoid



Prisma  
Prisma  
Basispinakoid  
Prisma



Prisma  
Prisma  
Basispinakoid  
Prisma  
Pinakoid

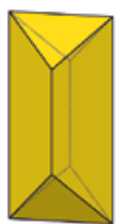


Prisma  
Prisma  
Basispinakoid  
Prisma  
Pinakoid

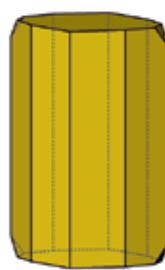
Chemische Zusammensetzung  
Kristallsystem  
Elementarzelle  
Raumgruppe  
Ausbildung

:  $\text{Al}_2[\text{F}_2 / \text{SiO}_4]$   
: Orthorhombisch  
:  $a_0 = 4.65\text{\AA}$ ,  $b_0 = 8.8\text{\AA}$ ,  $c_0 = 8.4\text{\AA}$   
: P b n m  
: Körnig, stengelig, prismatisch, meißelförmig

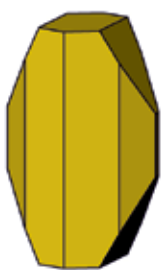
## Topaz:



Prism  
Basispinacoid



Prism  
Prism  
Basispinacoid  
Prism



Prism  
Prism  
Basispinacoid  
Prism  
Pinacoid



Prism  
Prism  
Basispinacoid  
Prism  
Pinacoid

Chemical composition  
Crystal system  
Elementary cell  
Space group  
Forms

:  $\text{Al}_2[\text{F}_2 / \text{SiO}_4]$   
: orthorhombic  
:  $a_0 = 4.65\text{\AA}$ ,  $b_0 = 8.8\text{\AA}$ ,  $c_0 = 8.4\text{\AA}$   
: P b n m  
: grains, xx columnar, prismatic, chisel forms

## Turmalin:

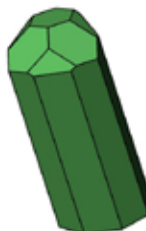
versch. Köpfe:



Basispedion  
Trigonales Prisma  
Hexagonales Prisma



Pyramide  
Pyramide  
Trigonales Prisma  
Hexagonales Prisma



Pyramide  
Pyramide  
Trigonales Prisma  
Hexagonales Prisma



Pyramide  
Trigonales Prisma  
Pyramide  
Pyramide



Pyramide  
Pyramide  
Trigonales Prisma  
Pyramide  
Pyramide



Pyramide  
Trigonales Prisma  
Hexagonales Prisma  
Pyramide  
Basispedion

Chemische Zusammensetzung

: XY<sub>3</sub>Z<sub>6</sub> [(OH, F)<sub>4</sub> / (BO<sub>3</sub>)<sub>3</sub> / Si<sub>6</sub>O<sub>18</sub> ]

X: Na, Ca;

Y: Mg, Li, Fe, Mn, Al;

Z: Al, Fe, Cr

Kristallsystem

: Trigonal, polare c-Achse

Elementarzelle

: a<sub>0</sub>= 15.92 Å, c<sub>0</sub>= 7.19 Å

Raumgruppe

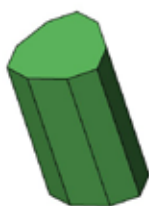
: R 3 m

Ausbildung

: Säulige, Stängelige, nadelige xx, radialstrahlig  
deutl. erkennbare Längsstreifung

Tourmaline:

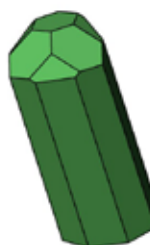
various heads:



Basispedia  
Trigonal prism  
Hexagonal prism



Pyramid  
Pyramid  
Trigonal prism  
Hexagonal prism



Pyramid  
Pyramid  
Trigonal prism  
Hexagonal prism



Pyramid  
Trigonal prism  
Pyramid  
Pyramid



Pyramid  
Pyramid  
Trigonal prism  
Pyramid  
Pyramid



Pyramid  
Trigonal prism  
Hexagonal prism  
Pyramid  
Basispedia

Chemical composition

: XY<sub>3</sub>Z<sub>6</sub> [(OH, F)<sub>4</sub> / (BO<sub>3</sub>)<sub>3</sub> / Si<sub>6</sub>O<sub>18</sub> ]

X: Na, Ca;

Y: Mg, Li, Fe, Mn, Al;

Z: Al, Fe, Cr

Crystal system

: Trigonal, polare c-Achse

Elementary cell

: a<sub>0</sub>= 15.92 Å, c<sub>0</sub>= 7.19 Å

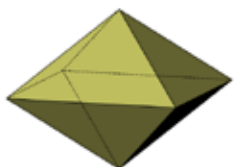
Space group

: R 3 m

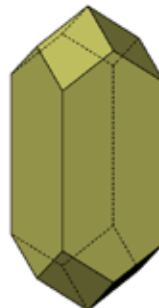
Forms

: columnar, needles, radial, perfect columnar, needles, radial

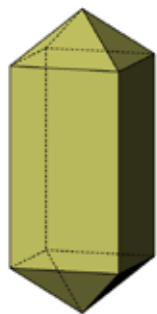
## Zirkon:



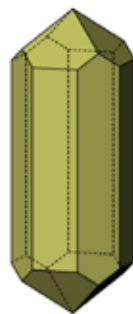
Dipyramide



Dipyramide  
und Prisma  
I. Stellung



Dipyramide  
und Prisma  
II. Stellung



Dipyramide  
Prisma I. St.  
Prisma II. St.

Chemische Zusammensetzung

:  $\text{ZrSiO}_4$ , enthält diadoch Hf, SEE

Kristallsystem

: Tetragonal

Elementarzelle

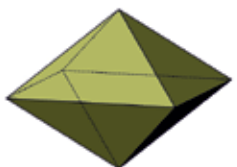
:  $a_0 = 6.60 \text{ \AA}$ ,  $c_0 = 5.98 \text{ \AA}$

Raumgruppe

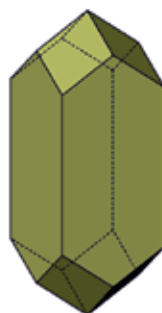
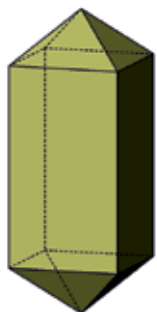
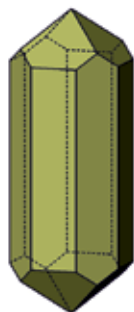
:  $I\ 4_1/a\ m\ d$

Ausbildung

: Körner, häufig idiomorph, kurzsäulig, prismatisch

Zircon:

Dipyramid

Dipyramid  
and prism  
I. positionDipyramid  
and prism  
II. positionDipyramid  
Prism I. pos.  
Prism II. pos.

Chemical composition

: Zr[SiO<sub>4</sub>], contains diadochic Hf, REE

Crystal system

: tetragonal

Elementary cell

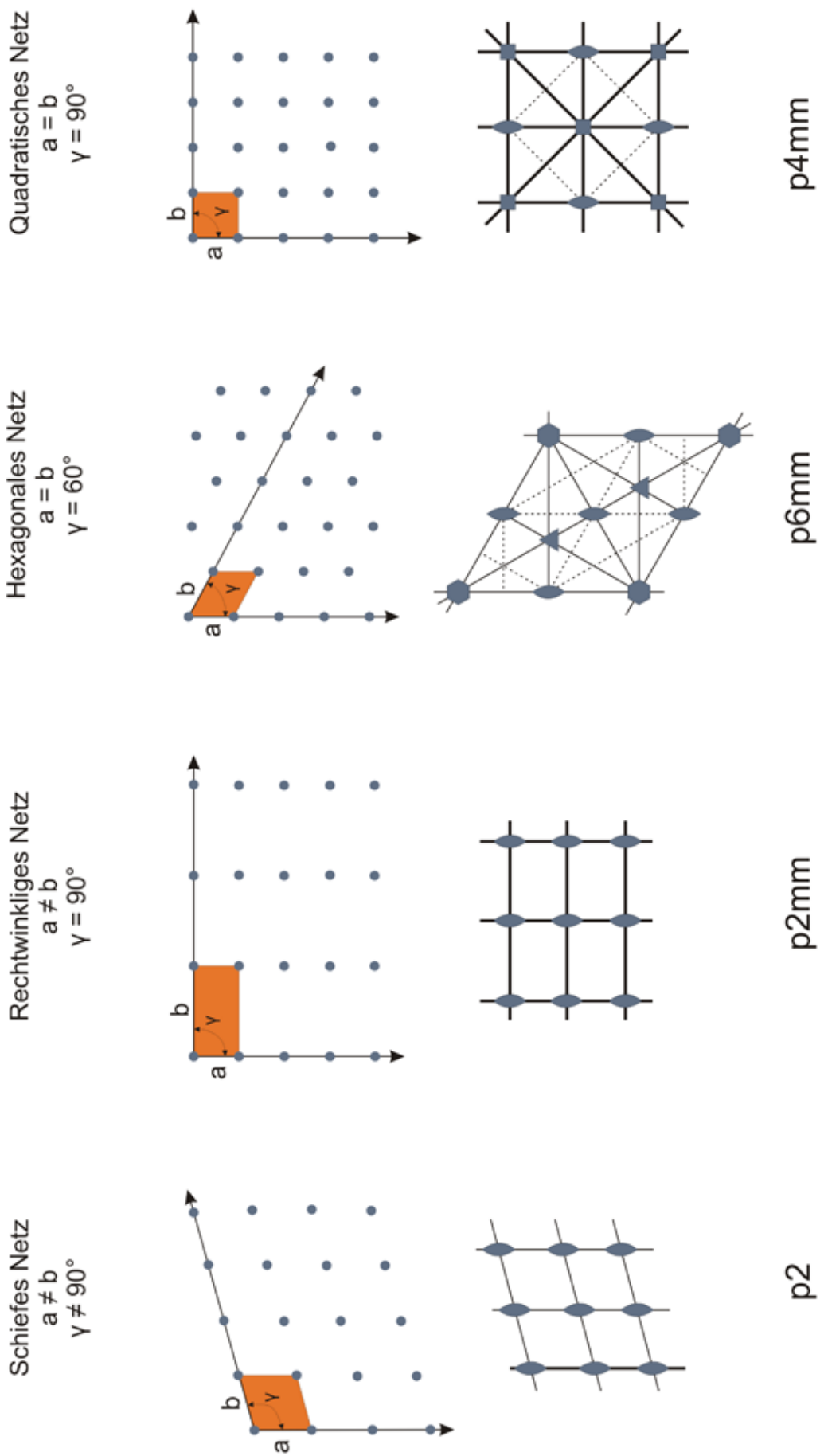
:  $a_0 = 6.60 \text{ \AA}$ ,  $c_0 = 5.98 \text{ \AA}$

Space group

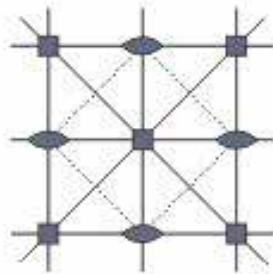
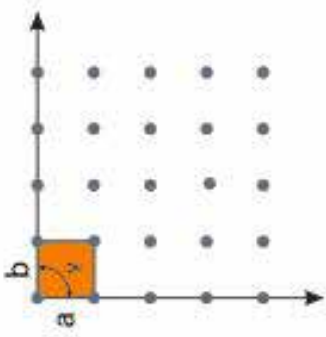
:  $I\ 4_1/a\ m\ d$

Forms

: grains, common idiomorphic xx, short columnar,  
prismatic

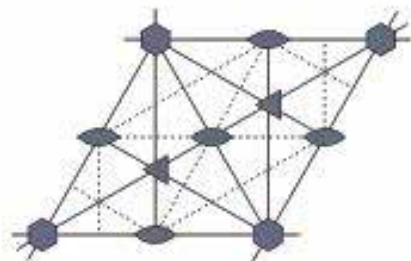
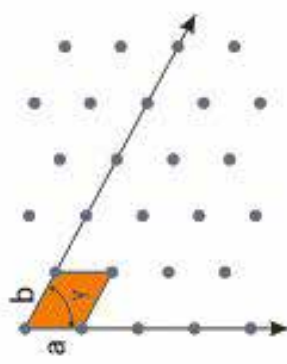


quadratic grid  
 $a = b$   
 $\gamma = 90^\circ$



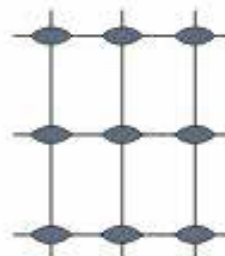
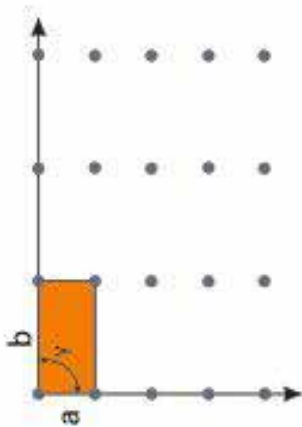
p4mm

hexagonal grid  
 $a = b$   
 $\gamma = 60^\circ$



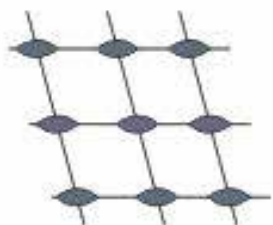
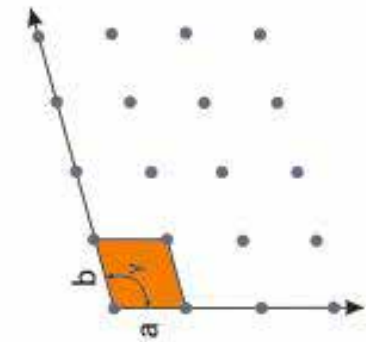
p6mm

rectangular grid  
 $a \neq b$   
 $\gamma = 90^\circ$



p2mm

skewed grid  
 $a \neq b$   
 $\gamma \neq 90^\circ$



p2

## Symbolik der Symmetrieebenen

Symmetrieoperation	Symbol	senkrecht zur Zeichenebene	Symbol	parallel	Bemerkung
Spiegelung	m				falls die Spiegelebene über der Zeichenebene liegt, wird die Höhe in Bruchteilen der Gitterkonstante angegeben $\frac{1}{4}$ = Spiegelebene liegt um $\frac{1}{4}$ über der Zeichenebene in der Elementarzelle
Gleit-spiegelung, achsigal	a, b				Gleitspiegelung um $\bar{a}/2 \parallel a\text{-Achse}$ $\bar{b}/2 \parallel b\text{-Achse}$ $\bar{c}/2 \parallel c\text{-Achse}$ falls die Spiegelebene über d. Zeichenebene liegt, wird die Höhe in Bruchteilen der Gitterkonstante angegeben
	c			keines	
Gleit-spiegelung, diagonal	n				$\bar{t}(\bar{a}+\bar{b})/2 \parallel (001)$ $\bar{t}(\bar{a}+\bar{c})/2 \parallel (010)$ $\bar{t}(b+c)/2 \parallel (100)$ im tetragonalen und kubischen Fall $\bar{t}(\bar{a}+\bar{b}+\bar{c})/2 \parallel (111)$
Diamant- gleit- spiegelung	d				$\bar{t}(\bar{a}-\bar{b})/4$ $\bar{t}(\bar{a}-\bar{c})/4$ $\bar{t}(b-c)/4$ im tetragonalen und kubischen Fall $\bar{t}(\bar{a}-\bar{b}+\bar{c})/4$



Wirkung einer Spiegelebene  $\perp$  zur Projektionsebene:  
Original- und Bildpunkt werden durch ein Komma voneinander unterschieden. Die Lage der Projektionsebene wird durch + (oberhalb) oder - (unterhalb) beschrieben.

## Symbolism of symmetry planes

Symmetry-operation	Symbol	vertical to drawing plane	parallel	remarks
mirror plane	m			when mirror plane is above drawing plane, the height is given in fractions of the lattice parameter $\frac{1}{4}$ = mirror plane lies in $\frac{1}{4}$ above the drawing plane in elementary cell
Glide plane, axial	a, b			Glide plane in $\bar{a}/2 \parallel a\text{-axis}$ $\bar{b}/2 \parallel b\text{-axis}$ $\bar{c}/2 \parallel c\text{-axis}$ when glide plane is above drawing plane the height is given in fractions of the lattice parameters
	c		keines	
Glide plane, diagonal	n			$\bar{t}(\bar{a}+\bar{b})/2 \parallel (001)$ $\bar{t}(\bar{a}+\bar{c})/2 \parallel (010)$ $\bar{t}(\bar{b}+\bar{c})/2 \parallel (100)$ in tetragonal and cubic case $\bar{t}(\bar{a}+\bar{b}+\bar{c})/2 \parallel (111)$
Diamond- glide- plane	d			$\bar{t}(\bar{a}+\bar{b})/4$ $\bar{t}(\bar{a}+\bar{c})/4$ $\bar{t}(\bar{b}+\bar{c})/4$ in tetragonal and cubic case $\bar{t}(\bar{a}+\bar{b}+\bar{c})/4$



Effect of mirrorplane  $\perp$  to the projection plane:  
Original- and image point are separated by commata. The position of the projection plane is given by + (above) or - (below).

## Symbolik der Symmetriearchsen

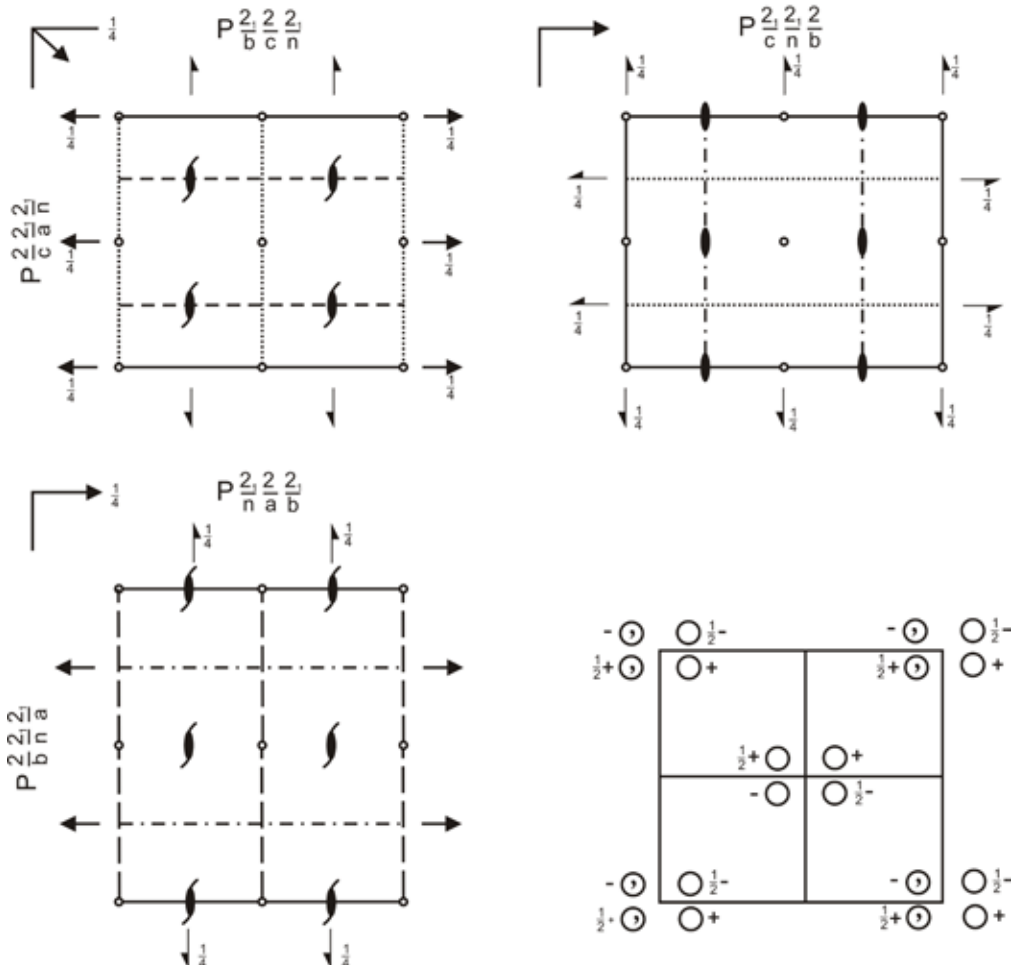
Symmetriearchse	Symbol	graphisches Symbol	Translation II Symmetriearchse bei rechtshändiger Symmetrieoperation
Symmetriearchse	1		keine
Inversionszentrum	$\bar{1}$	○	keine
2-zählige Drehung	2	●	keine
2-zählige Schraubung	$2_1$	◐	1/2
3-zählige Drehung	3	▲	keine
3-zählige Schraubung	$3_1$	▶	1/3
	$3_2$	◀	2/3
3-zählige Inversionsdrehachse	$\bar{3}$	△	keine
4-zählige Drehung	4	◆	keine
4-zählige Schraubung	$4_1$	◀◆	1/4
	$4_2$	◆◀	1/2
	$4_3$	◀◆	3/4
4-zählige Inversionsdrehachse	$\bar{4}$	◇	keine
6-zählige Drehung	6	○	keine
6-zählige Schraubung	$6_1$	◀○	1/6
	$6_2$	○◀	2/6
	$6_3$	○○	3/6
	$6_4$	○◀○	4/6
	$6_5$	◀○○	5/6
6-zählige Inversionsdrehachse	$\bar{6}$	○○	keine

## Symbolism of the symmetry axes

Symmetry axes	Symbol	graphic symbol	Translation parallel to symmetry axis of right-handed symmetry operation
Symmetry axis	1		none
Inversion center	$\bar{1}$	○	none
2-fold rotation	2	●	none
2-fold screw	$2_1$	●	$1/2$
3-fold rotation	3	▲	none
3-fold screw	$3_1$	▲	$1/3$
	$3_2$	▲	$2/3$
3-fold inversion axis	$\bar{3}$	▲	none
4-fold rotation	4	◆	none
4-fold screw	$4_1$	◆	$1/4$
	$4_2$	◆	$1/2$
	$4_3$	◆	$3/4$
4-fold inversion axis	$\bar{4}$	◆	none
6-fold rotation	6	●●	none
6-fold screw	$6_1$	●●	$1/6$
	$6_2$	●●	$2/6$
	$6_3$	●●	$3/6$
	$6_4$	●●	$4/6$
	$6_5$	●●	$5/6$
6-fold inversion axis	$\bar{6}$	●●	none

## Beispiel einer Raumgruppe **Pbcn**

Pbcn    $D_{2h}^{14}$    mmm   Orthorhombisches Kristallsystem  
 P 2<sub>1</sub>/b 2/c 2<sub>1</sub>/n   Patterson-Symmetrie Pmmm



**Ursprung bei  $\bar{1}$  in  $1\ c\ 1$**

**Asymmetrische Einheit**  $0 \leq x \leq \frac{1}{2}, 0 \leq y \leq \frac{1}{2}, 0 \leq z \leq \frac{1}{2}$

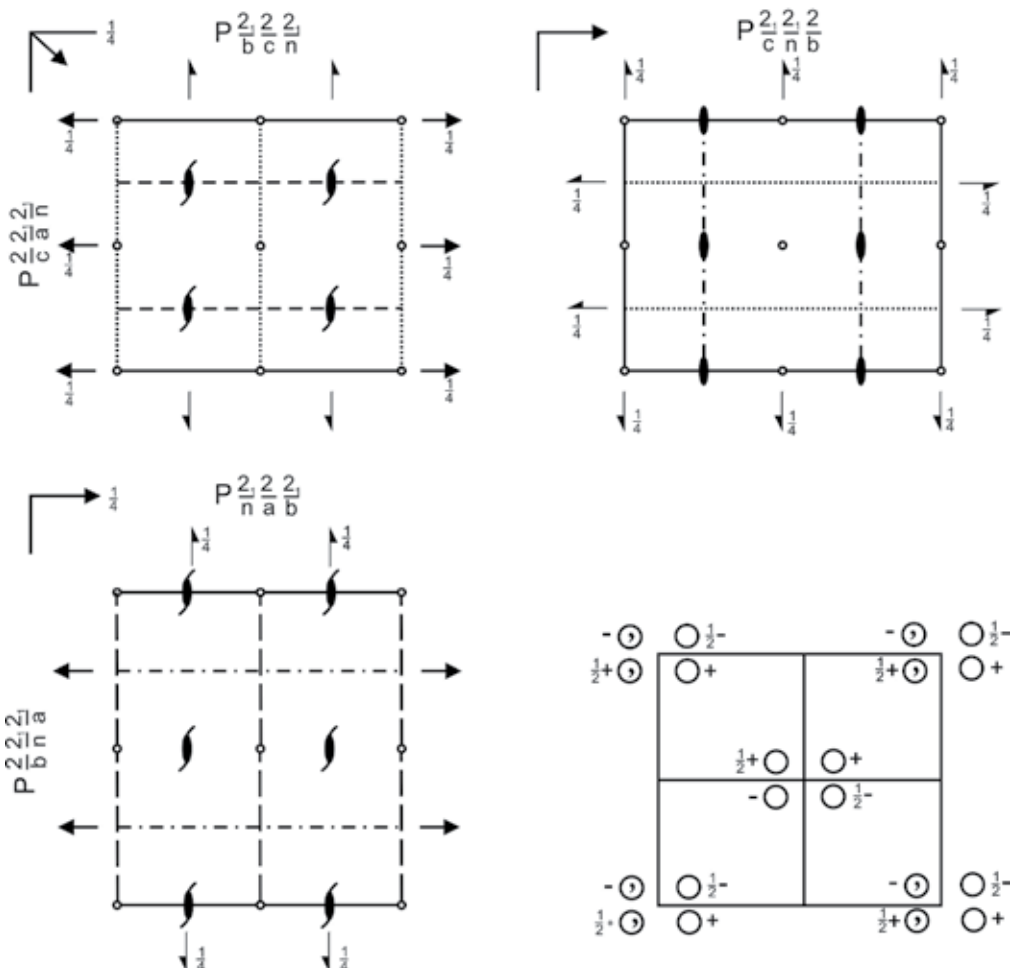
**Symmetriee Operationen**

- |                |                |                     |                  |
|----------------|----------------|---------------------|------------------|
| (1) 1          | (2) 2(0,0,1/2) | 1/4,1/4,z           | (3) 2 0,y,1/4    |
| (4) 2(1/2,0,0) | x,1/4,0        | (5) $\bar{1}$ 0,0,0 | (6) n(1/2,1/2,0) |
| (7) c x,0,z    |                | (8) b 1/4,y,z       | x,y,1/4          |

## Example of a space group **Pbcn**

**Pbcn**    $D_{2h}^{14}$    mmm  
**P** 2<sub>1</sub>/b 2/c 2<sub>1</sub>/n

Orthorhombic crystal system  
 Patterson symmetry Pmmm



**Origin at  $\bar{1}$  in 1 c 1**

**Asymmetric unit**  $0 \leq x \leq \frac{1}{2}$   $0 \leq y \leq \frac{1}{2}$   $0 \leq z \leq \frac{1}{2}$

**Symmetry operations**

- |                               |   |                                 |
|-------------------------------|---|---------------------------------|
| <b>(1)</b> 1                  | <b>(2)</b> 2(0,0,1/2) $\frac{1}{4}, \frac{1}{4}, z$ | <b>(3)</b> 2 0,y,1/4            |
| <b>(4)</b> 2(1/2,0,0) x,1/4,0 | <b>(5)</b> $\bar{1}$ 0,0,0                          | <b>(6)</b> n(1/2,1/2,0) x,y,1/4 |
| <b>(7)</b> c x,0,z            | <b>(8)</b> b $\frac{1}{4}, y, z$                    |                                 |

## Die 230 Raumgruppen

Kristallsystem	Punktgruppe	Raumgruppen			
Triklin	1 -1	P1 Pl			
Monoklin	2 M 2/m	P2 Pm P2/m P2/c	P2 <sub>1</sub> Pc P2 <sub>1</sub> /m C2/c	C2 Cm C2/m	Cc P2/c
Orthorhombisch	222  mm2  mmm	P222 C222 <sub>1</sub> I2 <sub>1</sub> 2 <sub>1</sub> 2 <sub>1</sub> Pmm2 Pca2 <sub>1</sub> Pna2 <sub>1</sub> Ccc2 Aba2 Iba2 Pmmm Pmma Pbam Pmmn Cmcn Cmma Immm	P222 <sub>1</sub> C222 F222 Pmc2 <sub>1</sub> Pnc2 Pnn2 Amm2 Abm2 Fmm2 Ima2 Pnnn Pnna Pccn Pben Cmca Ccca Ibam	P2 <sub>1</sub> 2 <sub>1</sub> 2 F222 Pcc2 Pmn2 <sub>1</sub> Cmm2 Abm2 Fdd2 Pccm Pmna Pbcm Pbca Cmmm Fmmm Ibca	P2 <sub>1</sub> 2 <sub>1</sub> 2 <sub>1</sub> I222 Pma2 Pba2 Cmc2 <sub>1</sub> Ama2 Imm2 Pban Pcca Pnnm Pnma Ccem Fd <sub>dd</sub> Imma
Tetragonal	4 -4 4/m 422 4mm -42m 4/mmm	P4 I4 P-4 P4/m I4/m P422 P4 <sub>2</sub> 22 I422 P4mm P4cc I4mm P-42m P-4m2 I-4m2 P4/mmm P4/mbm P4 <sub>2</sub> /mmc P4 <sub>2</sub> /mbc I4/mmm	P4 <sub>1</sub> I4 <sub>1</sub> I-4 P4 <sub>2</sub> m I4 <sub>1</sub> a P4 <sub>2</sub> 2 P4 <sub>2</sub> 2 <sub>1</sub> I4 <sub>1</sub> 22 P4bm P4nc I4cm P-42c P-4c2 I-4c2 P4/mcc P4/mnc P4 <sub>2</sub> /mcm P4 <sub>2</sub> /mmn I4/mcm	P4 <sub>2</sub> P4/n P4 <sub>1</sub> 22 P4 <sub>3</sub> 22 P4 <sub>2</sub> cm P4 <sub>2</sub> mc I4 <sub>1</sub> md P-42 <sub>1</sub> m P-4b2 I-42m P4/nbm P4/nmm P4 <sub>2</sub> /nbc P4 <sub>2</sub> /nmc I4 <sub>1</sub> amd	P4 <sub>3</sub> P4 <sub>2</sub> /n P4 <sub>1</sub> 2 <sub>2</sub> P4 <sub>3</sub> 2 <sub>1</sub> 2 P4 <sub>2</sub> nm P4 <sub>2</sub> bc I4 <sub>1</sub> cd P-42 <sub>1</sub> c P-4n2 I-42d P4/ncc P4 <sub>2</sub> /nmm P4 <sub>2</sub> /nbc P4 <sub>2</sub> /nmc I4 <sub>1</sub> acd
Trigonal	3 -3 32 3m -3m	P3 P-3 P312 P3 <sub>2</sub> 12 P3m1 R3m P-31m R-3m	P3 <sub>1</sub> R-3 P321 P3 <sub>2</sub> 21 P31m R3c P-31c R-3c	P3 <sub>2</sub> P3 <sub>1</sub> 12 R32 P3c1 P31c P-3m1	R3 P3 <sub>1</sub> 21 P31c P31c P-3c1
Hexagonal	6 -6 6/m 622 6mm -6m2 6/mmm	P6 P6 <sub>4</sub> P-6 P6/m P622 P6422 P6mm P-6m2 P6/mmm	P6 <sub>1</sub> P6 <sub>3</sub> P6 <sub>5</sub> P6 <sub>3</sub> /m P6 <sub>1</sub> 22 P6 <sub>2</sub> 22 P6cc P-6c2 P6/mcc	P6 <sub>5</sub> P6 <sub>2</sub> P6 <sub>5</sub> 22 P6 <sub>2</sub> 22 P6 <sub>3</sub> cm P-62m P6 <sub>3</sub> /mm	P6 <sub>2</sub> P6 <sub>2</sub> 22 P6 <sub>3</sub> mc P-62c P6 <sub>3</sub> /mmc
Kubisch	23 m-3 432 -43m m-3m	P23 I2 <sub>1</sub> 3 Pm-3 Im-3 P432 I432 P-43m F-43c Pm-3m Fm-3m Im-3m	F23 I23 Pn-3 Pa-3 P432 P432 P43m I-43d Pn-3n Fm-3c Ia-3d	I23 Fm-3 Ia-3 F432 P4 <sub>1</sub> 32 I-43m P-43n Pm-3n Fd-3m	P2 <sub>1</sub> 3 Fd-3 F4 <sub>1</sub> 32 I4 <sub>1</sub> 32 P-43n Pn-3m Fd-3c

## The 230 space groups

Crystal system	Point group	Space group			
triclinic	1 -1	P1 P1			
monoclinic	2 M 2/m	P2 Pm P2/m P2 <sub>1</sub> /c	P2 <sub>1</sub> Pc P2 <sub>1</sub> /m C2/c	C2 Cm C2/m	Cc P2/c
orthorhombic	222	P222 C222 <sub>1</sub> I2 <sub>1</sub> 2 <sub>1</sub> 2 <sub>1</sub> Pmm2 Pca2 <sub>1</sub> Pna2 <sub>1</sub> Ccc2 Aba2 Iba2	P222 <sub>1</sub> C222 F222 Pmc2 <sub>1</sub> Pnc2 Pnn2 Amm2 Abm2 Fmm2 Ima2	P2 <sub>1</sub> 2 <sub>1</sub> 2 F222 Pcc2 Pmn2 <sub>1</sub> Cmm2 Abm2 Fdd2 Pccm	P2 <sub>1</sub> 2 <sub>1</sub> 2 <sub>1</sub> I222 Pma2 Pba2 Cmc2 <sub>1</sub> Ama2 Imm2 Pban
	mm2	Pmnn Pmma Pbam Pmmm Cmem Cmma Immm	Pnna Pvnn Pbcm Pbcn Cmca Ccca Ibam	Pmna Pbcm Pbca Cmmm Fmmm	Pcca Pnnm Pnma Ccem Fd <sub>dd</sub> Imma
tetragonal	4	P4 I4 P-4 -4 4/m	P4 <sub>1</sub> I4 <sub>1</sub> P4 <sub>2</sub> m I4 <sub>1</sub> /a P422 P4 <sub>2</sub> 22	P4/n P4 <sub>2</sub> 22 P4 <sub>3</sub> 22	P4 <sub>3</sub> P4 <sub>2</sub> /n P4 <sub>2</sub> <sub>1</sub> 2 P4 <sub>3</sub> <sub>2</sub> 2
	422	I4 <sub>2</sub> 22	I4 <sub>2</sub> 22		
	4mm	P4mm P4cc I4mm P-42m -42m	P4bm P4nc I4cm P-42c P-4c2	P4 <sub>2</sub> cm P4 <sub>2</sub> mc I4 <sub>1</sub> md P-42 <sub>1</sub> m P-4b2	P4 <sub>2</sub> nm P4 <sub>2</sub> bc I4 <sub>1</sub> cd P-42 <sub>1</sub> c P-4n2
	-42m	I-4m2 I-42m P4/mmm P4/mbm P4 <sub>2</sub> /mmc P4 <sub>2</sub> /mbc I4/mmm	I-4c2 I-42m P4/mcc P4/mnc P4 <sub>2</sub> /mcmm P4 <sub>2</sub> /mmn I4/mcm	I-42m P4/nbm P4/nmm P4 <sub>2</sub> /nbc P4 <sub>2</sub> /nmc I4 <sub>1</sub> amd	I-42d P4/ncc P4/ncc P4 <sub>2</sub> /nmm P4 <sub>2</sub> /ncm I4 <sub>1</sub> acd
	4/mmm	R3m -3m	R3c P-31m R-3m	P3 <sub>1</sub> R-3 P312 P3 <sub>2</sub> 12 P3m1 P31m P3c1	P3 <sub>2</sub> R-3 P3 <sub>1</sub> 21 R32 P31c
trigonal	3 -3 32	P3 <sub>1</sub> P-3 P312 P3 <sub>2</sub> 12 P3m1 R3m -3m	P3 <sub>2</sub> R-3 P3 <sub>1</sub> 21 R32 P31c	R3	
	3m	P31c R-3c	P-31c R-3c	P-3m1	P-3c1
hexagonal	6 -6 6/m 622	P6 P6 <sub>4</sub> P-6 P6/m P622 P6 <sub>4</sub> 22	P6 <sub>1</sub> P6 <sub>3</sub> P6 <sub>3</sub> /m P6 <sub>1</sub> 22 P6 <sub>3</sub> 22	P6 <sub>5</sub> P6 <sub>2</sub>	
	6mm -6m2 6/mmm	P6mm P-6m2 P6/mmm	P6cc P-6c2 P6/mcc	P6 <sub>3</sub> cm P-62m P6 <sub>3</sub> /mm	P6 <sub>3</sub> mc P-62c P6 <sub>3</sub> /mmc
Cubic	23 m-3 432 -43m m-3m	P23 I2 <sub>1</sub> 3 Pm-3 Im-3 P432 I432 P-43m F-43c Pm-3m Fm-3m Im-3m	F23 Pn-3 Pa-3 P4 <sub>2</sub> 32 P4 <sub>3</sub> 32 F-43m I-43d Pn-3n Fm-3c Ia-3d	I23 Fm-3 Ia-3 F432 P4 <sub>1</sub> 32 I-43m Pm-3n Fd-3m Ia-3d	P2 <sub>1</sub> 3 Fd-3 F4 <sub>1</sub> 32 I4 <sub>1</sub> 32 P-43n Pn-3m Fd-3c

## Literatur/Literature

- Aroyo, M. I. & Hahn T. (2013): International Tables for Crystallography: Space-Group Symmetry. Brief Teaching Edition of Volume A, Wiley-Blackwell.
- Aslanov, L.A, Fetisov, G.V. & Howard, J.A. K. (1998): Crystallographic Instrumentation. OUP/ International Union of Crystallography.
- Backhaus, K.-O. (1972): Wörterbuch Kristallografie. Englisch-Deutsch-Französisch-Russisch. Verlag Technik, Berlin.
- Bernstein, J. (2008): Polymorphism in Molecular Crystals. Oxford University Press, Oxford.
- Berger, M. & Ehrenberg, L. (1981): Theorie und Anwendung der Symmetriegruppen. BSB B.G. Teubner Verlagsgesellsch., Leipzig.
- Berry, L.G. & Mason, B. (1959): Mineralogy. W.H. Freeman.
- Bloss, F.D. (1971): Crystallography and Crystal Chemistry. Holt Rinehart & Winston, New York.
- Boldyreva, E. (2010): High-Pressure Crystallography: From Fundamental Phenomena to Technological Applications. NATO Science for Peace and Security Series - B: Physics and Biophysics, Springer Verlag.
- Borchardt-Ott, W. (1995): Kristallographie. Springer Verlag.
- Borges, F.S. (1980): Elementos de cristalografia. Fundação Calouste Gulbenkian, Lisboa.
- Bruhns, W. & Ramdohr, P. (1965): Kristallographie. 6. Aufl., Walter de Gruyter, Berlin.
- Brown, I.D. (2006): The Chemical Bond in Inorganic Chemistry: The Bond Valence Model. OUP Oxford.
- Bunn, C.W. (1961): Chemical Crystallography. 2. Aufl., Clarendon Press, Oxford.
- Burkhardt, J.J. (1947): Die Bewegungsgruppen der Kristallographie. Birkhäuser Verlag, Basel.
- Burkhardt, J.J. (1988): Die Symmetrie der Kristalle. Birkhäuser Verlag, Basel.
- Burns, G. & Glasser, A.M. (1978): Space Groups for Solid State Scientists. Academic Press, New York.
- Burzlaff, H. & Zimmermann, H. (1986): Kristallsymmetrie, Kristallstruktur. R. Merkel Verlag, Erlangen.
- Chatterjee, S.K. (2008): Crystallography and the Worls of Symmetry. Berlin, Springer.
- Clegg, W., Blake, A.J., Gould, R.O. & Main, P. (2009): Crystal Structure Analysis, Principles and Practice. Oxford Science, IUCR.
- Deer, W.A., Howie, R.A. & Zussman,J. (1992): An introduction to the rock-forming minerals. Essex, Longman Scientific & Technical.
- Dent Glasser, L.S. (1977): Crystallography and ist Applications. New York, Van Nostrand.
- De Graef, M. & McHenry, M. E. (2012): Structure of Materials: An Introduction to Crystallography, Diffraction and Symmetry. Cambridge University Press.
- Donaldsen, J.D. & Ross, S.D. (1972): Symmetrie und Stereochemistry. London.
- Dorain, P.B. (1972): Symmetrie und anorganische Strukturchemie. Berlin Akademie-Verlag.
- Dyar, M.D. & Gunter, M.E. (2008): Mineralogy and optical mineralogy. Mineralogical Society of America, CD-ROM.

- Eckert, E. & Lindner, J.H. (1976): Strukturen der Materie und ihre Symmetrie. Bildstudio, Nieder-Ramstadt.
- Fabian, E. (1986): Die Entdeckung der Kristalle. Deutscher Verlag für Grundstoffindustrie, Leipzig.
- Ferraris, G., Makovicky, E. & Merlino S. (2008): Crystallography of Modular Materials. IUCR 15.
- Gay, P. (1972): The Crystalline State. Oliver and Boyd, Edinburgh.
- Giacovazzo, C. (2011, Ed.): Fundamentals of Crystallography. Oxford University Press, Oxford.
- Girolami, S. G. (2013): X-Ray Crystallography. University Science Books U.S.
- Glusker, J. P. & Trueblood, K. N. (2010): Crystal Structure Analysis. Oxford University Press, Oxford.
- Gottstein, G. (2007): Physikalische Grundlagen der Materialkunde. Springer Verlag, Berlin.
- Groth, P.H. von (2007): Tabellarische Übersicht der Mineralien nach ihren krystallographisch-chemischen Beziehungen. VDM Verlag Dr. Müller, Saarbrücken.
- Groth, P.H. von (1966): Entwicklungsgeschichte der mineralogischen Wissenschaften (Nachdruck d. Ausgabe von 1926). Springer Verlag, Berlin.
- Hahn, T. (2005): Complete Printed Set of International Tables for Crystallography: International Tables for Crystallography, Volume A: Space Group Symmetry.
- Hammond, C. (2009): The basics of crystallography and diffraction. 3. edition. International Union of Crystallography, Oxford Science Publications, Oxford University Press, Oxford.
- Hochleitner, R., Philipsborn, H. & Weiner, K.L. (1996): Minerale. Bestimmen nach äußeren Kennzeichen. Schweizerbart, Stuttgart.
- Jaffe, H.H. & Orchin, M. (1973): Symmetrie in der Chemie. 2. Aufl., Hüthig-Verlag, Heidelberg.
- Janssen, T., Chapuis, G. & de Boissieu, M. (2007): Aperiodic Crystals From Modulated Phases to Quasicrystals. IUCR 20.
- Julian, M.M. (2008): Foundations of Crystallography with Computer Applications. Crc Pr Inc.
- Kelly, A.A. & Knowles, K.M. (2012): Crystallography and Crystal Defects. John Wiley & Sons, New York.
- Kleber, W., Bautsch, H.-J. & Bohm, J. (1998): Einführung in die Kristallographie. 18. Auflage. Verlag Technik, Berlin.
- Klein, C. & Dutrow, B. (2007): Manual of Mineral Science. 23rd Edition. John Wiley & Sons, New York.
- Klein, C. (1989): Minerals and rocks exercises in crystallography, mineralogy and hand specimen petrology. Revised edition, John Wiley & Sons, New York.
- Klemm, M. (1982): Symmetrien von Ornamenten und Kristallen. Springer Verlag, Berlin.
- Knox, R.S. & Gold, A. (1964): Symmetry in the Solid State. W.A. Benjamin, New York Amsterdam.
- Krivovichev, S.V. (2009): Krivovichev Structural Crystallography of Inorganic Oxysalts. IUCR 22.
- Loeb, A.L. (1971): Color and Symmetry. John Wiley & Sons, New York.

- Ludwig, W. & Falter, C. (1988): Symmetries in Physics. Group Theory Applied to Physical Problems. Springer-Verlag, Berlin.
- McKie, S. & McKie, Chr. (1974): Crystalline Solids. Thomas Nelson, London.
- Muller, O. & Roy, R. (1974): Crystal chemistry of non-metallic materials. Springer Verlag, Berlin.
- Nicolle, J. (1954): Die Symmetrie und ihre Anwendung. Deutscher Verlag der Wissenschaften, Berlin.
- Niimura, N. & Podjarny, N. (2011): Neutron Protein Crystallography Hydrogen, Protons, and Hydration in Bio-macromolecules. Oxford University Press, Oxford.
- Oppermann, E. (2004): Kristalle und ihre Formen. Band 1, Kristallografik Verlag, Achberg.
- Oppermann, E. (2004): Kristalle und ihre Formen. Band 2, KristalloGrafik Verlag, Achberg.
- Oppermann, E. (2009): Kristalle und ihre Formen. Band 3, KristalloGrafik Verlag, Achberg.
- Pecharsky, V.K. & Zavalij, P. (2009): Fundamentals of Powder Diffraction and Structural Characterization of Materials. 2. Auflage, Springer Verlag, New York.
- Phillips, F.C. (1971): An Introduction to Crystallography. 4. Aufl., Oliver and Boyd, Edinburgh.
- Pöllmann, H., DaCosta, M.: Symmetrien,symetria, die 32 Punktgruppen, os 32 grupos de pontos, Minerale und ihre Formen, minerais e suas formas, Hallisches Jahrbuch für Geowissenschaften, Beiheft 30, (2013)
- Prince, E. (1982): Mathematical Techniques in Crystallography and Materials Science. Springer-Verlag, Berlin.
- Putnis, A. (1993): Introduction to mineral sciences. Cambridge University Press, New York.
- Quenstedt, F.A. (2007): Methode der Kristallographie. VDM Verlag Dr. Müller, Saarbrücken.
- Rath, R. (1965): Kristallographie. Philips, Eindhoven.
- Rohdes, G. (2006): Crystallography Made Crystal Clear. A Guide for Users of Macromolecular Models. Academic Press.
- Rosenfeld, B.A. & Sergejewa, N.D. (1978): Stereographic Projection. Izd. Mir ,Moskva.
- Rösler, H.-J. (1985): Lehrbuch der Mineralogie. 3. Aufl., Deutscher Verlag für Grundstoffindustrie, Leipzig.
- Rösler, H.-J. (1991): Lehrbuch der Mineralogie. 5. Aufl., Spectrum Akademischer Verlag, Berlin.
- Rupp B. (2009): Biomolecular Crystallography: Principles, Practice, and Application to Structural Biology. Taylor & Francis Ltd.
- Sands, D.E. (1994): Introduction to Crystallography. New York: W. A. Benjamin 1969. Reprint: Dover Pub. Inc.
- Scholz, E. (1990): Symmetrie, Gruppe, Dualität. Birkhäuser Verlag, Basel.
- Schroeder, R. (1950): Krystallometrisches Praktikum. Springer-Verlag, Berlin.
- Schumann, H. (1980): Kristallgeometrie. Deutscher Verlag für Grundstoffindustrie, Leipzig.
- Schwarzenbach, D. (1997): Crystallography. John Wiley & Sons.
- Schwarzenberger, R.L.E. (1980): N-dimensional Crystallography. Pitman, San Francisco.

- Shmueli, U. & Weiss G.H. (1995): Introduction to Crystallographic Statistics. OUP/International Union of Crystallography.
- Sommerfeldt, E. (1906): Geometrische Kristallographie. Wilhelm Engelmann, Leipzig.
- Steadman, R. (1982): Crystallography. Van Nostrand, New York.
- Strunz, H. & Nickel, E.H. (2001): Mineralogical Tables. Chemical-Structural Mineral Classification System. 9. Edition, Schweizerbart, Stuttgart.
- Tertsch, H. (1954): Die stereographische Projektion in der Kristallkunde. Verlag für Angew. Wissensch., Wiesbaden.
- Turowski, S. & Borchardt, R. (1999): Symmetrielehre der Kristallographie. Oldenbourg-Verlag, München.
- Vainshtein, B.K. (1983, Ed.): Modern Crystallography. Vol. 2: Structure of Crystals. Springer-Verlag, Berlin.
- Verma, A.R. & Krishna, P. (1966): Polymorphism and Polytypism in Crystals. John Wiley & Sons, New York.
- Van Smaalen, S. (2007): Incommensurate Crystallography. IUCR 21.
- Li W., Zhou G. & Mak T. (2008): Advanced Structural Inorganic Chemistry. Oxford Univ. Press, Oxford.
- Weiss, A. & Witte, U. (1983): Kristallstruktur und chemische Bindung. Verlag Chemie, Weinheim/Bergstr.
- Weyl, H. (1952): Symmetrie. University Press, Princeton.
- Wondratschek, H. & Müller, U. (2010): International Tables for Crystallography: Volume A1: Symmetry Relations between Space Groups. John Wiley & Sons, New York.
- Wyckoff, R.W.G. (1962-1968): Crystal Structures. Vol. 1-6, 2. Aufl., Interscience Publishers, New York.
- Zolotoyabko, E. (2011): Basic Concepts of Crystallography. Wiley-VCH Verlag, Weinheim.





